

10/537197

FIG. 1A.

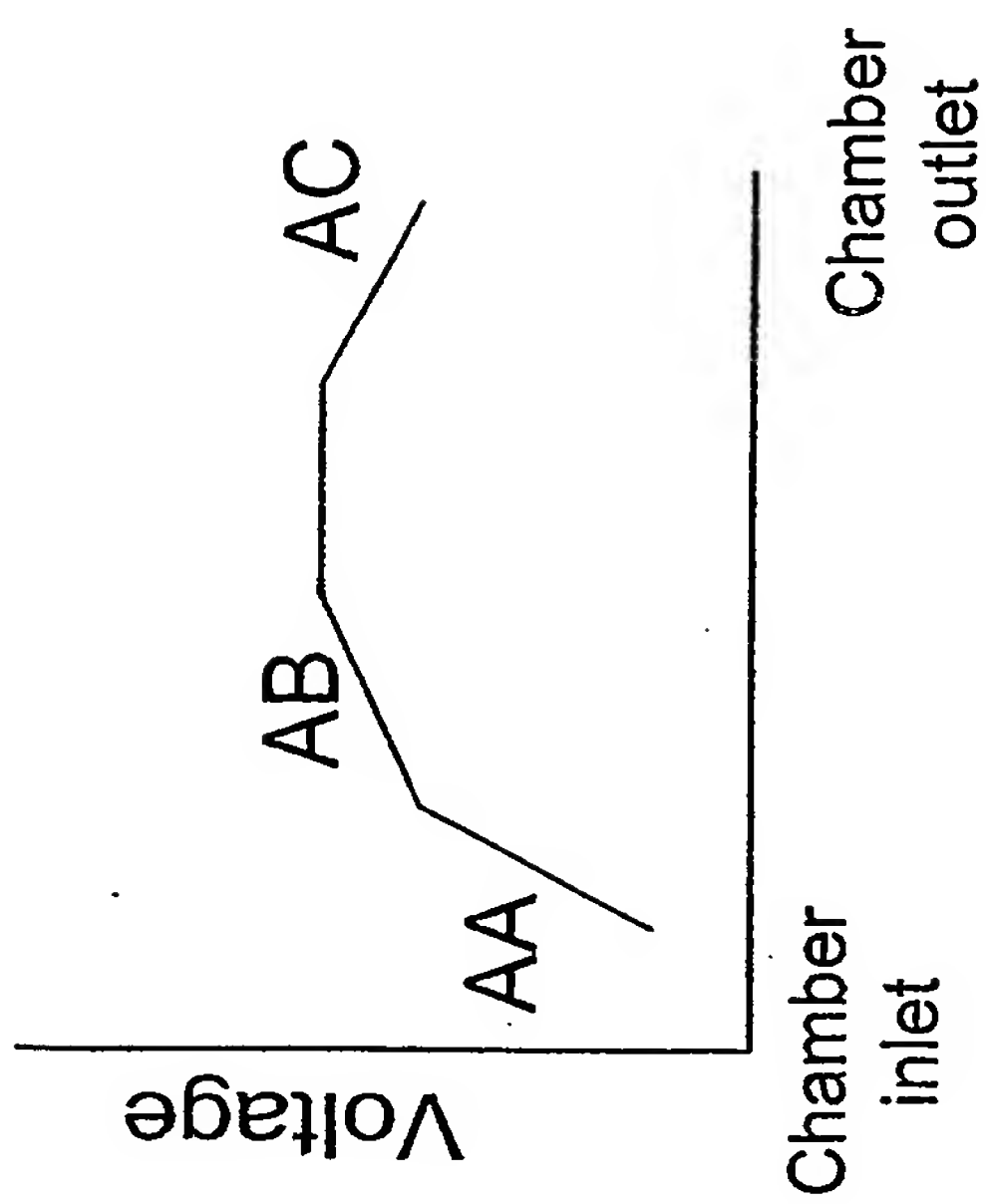
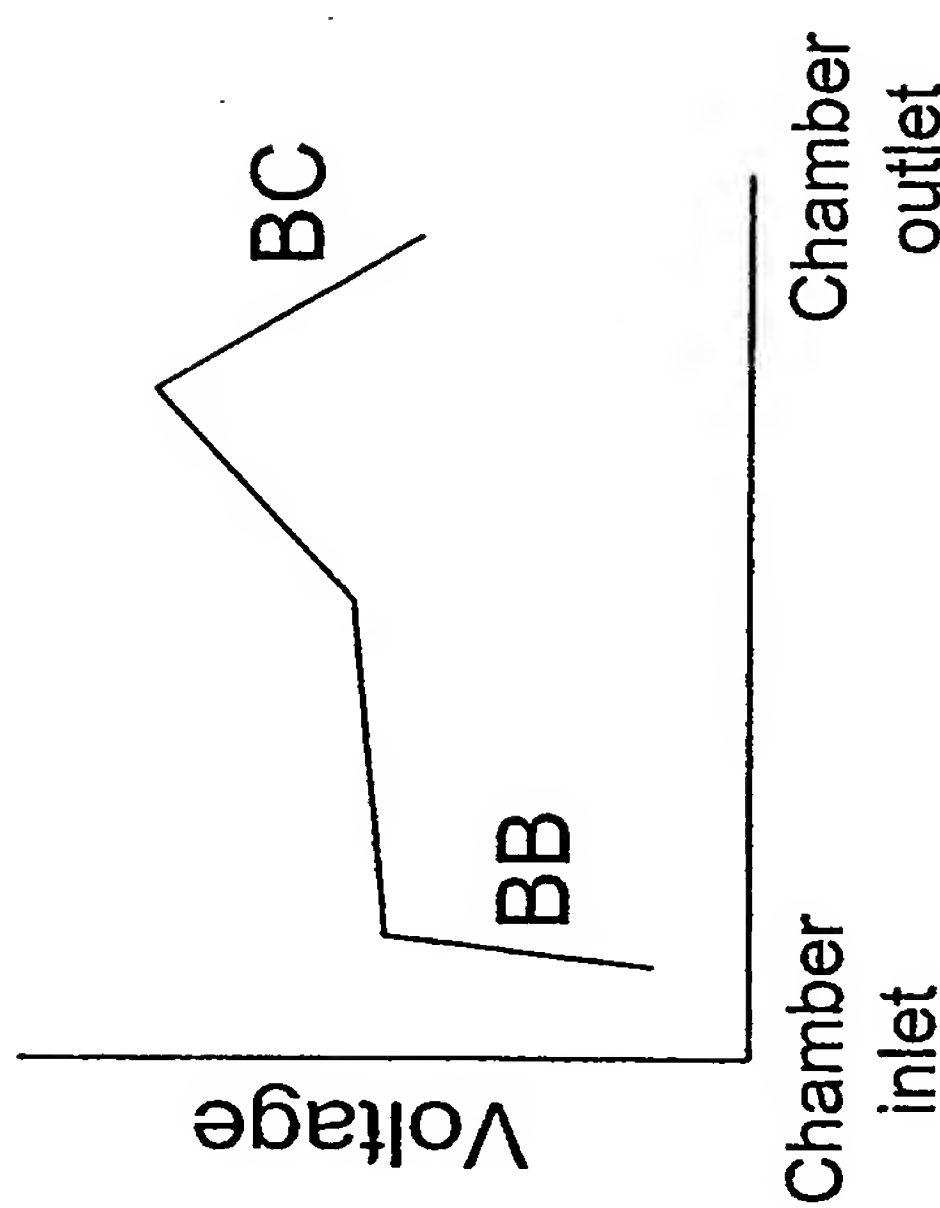


FIG. 1B



10/537197

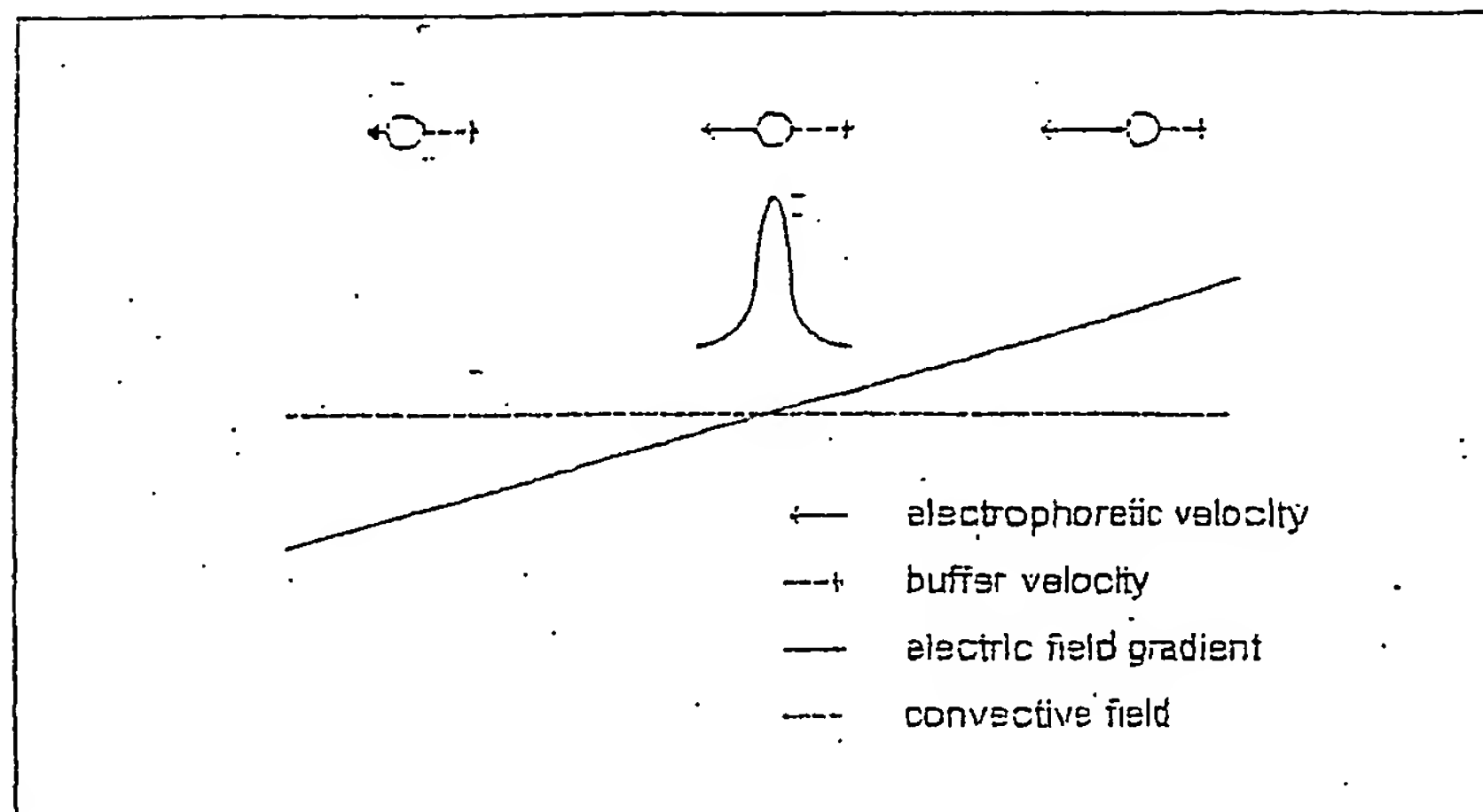


FIG. 2A.

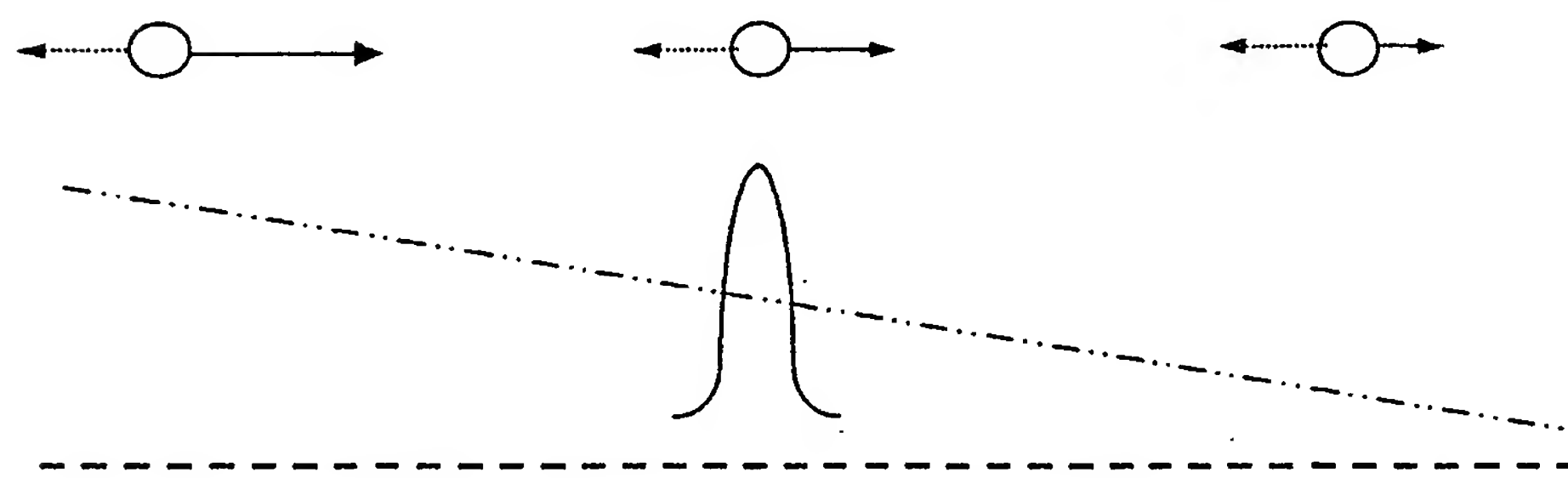


FIG. 2B

10/537197

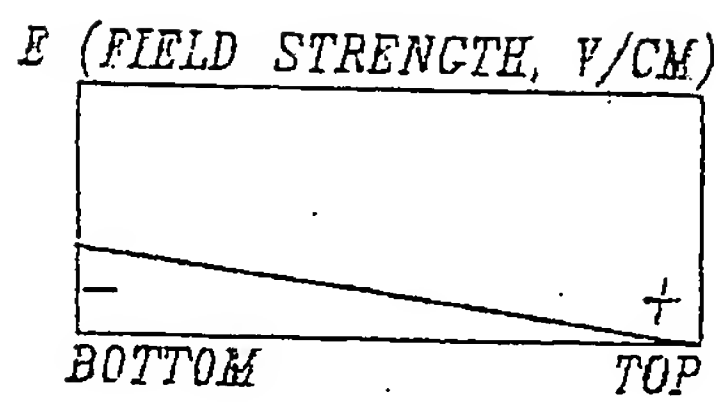


FIG. 3A

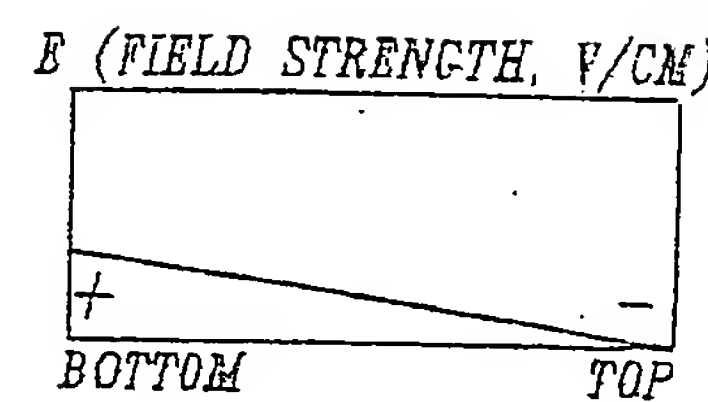


FIG. 3B

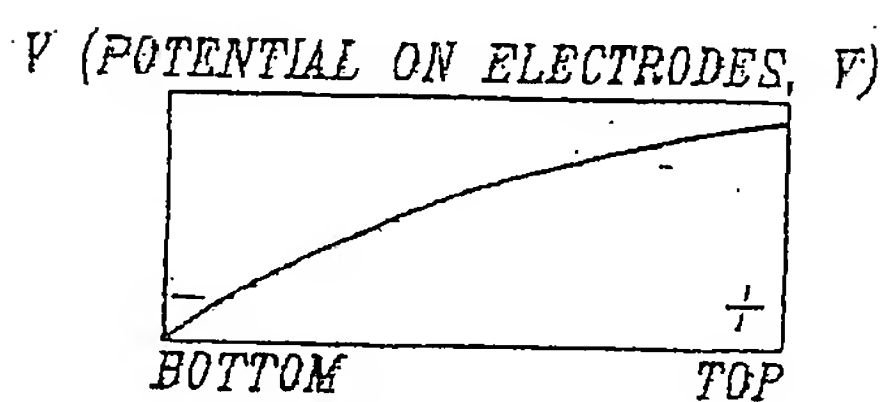


FIG. 3C

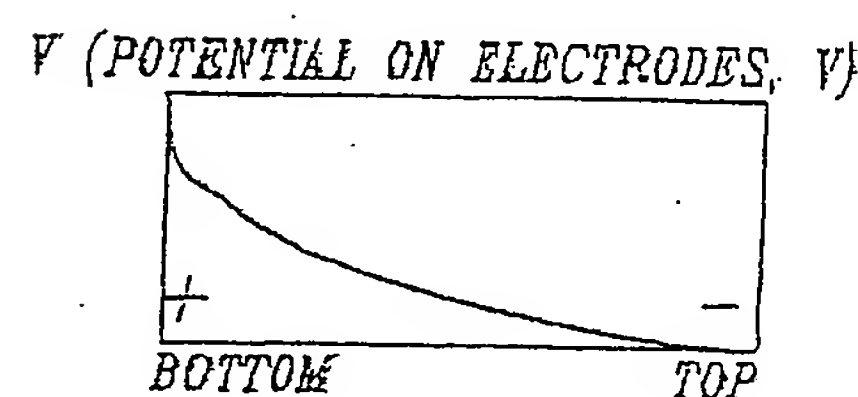


FIG. 3D

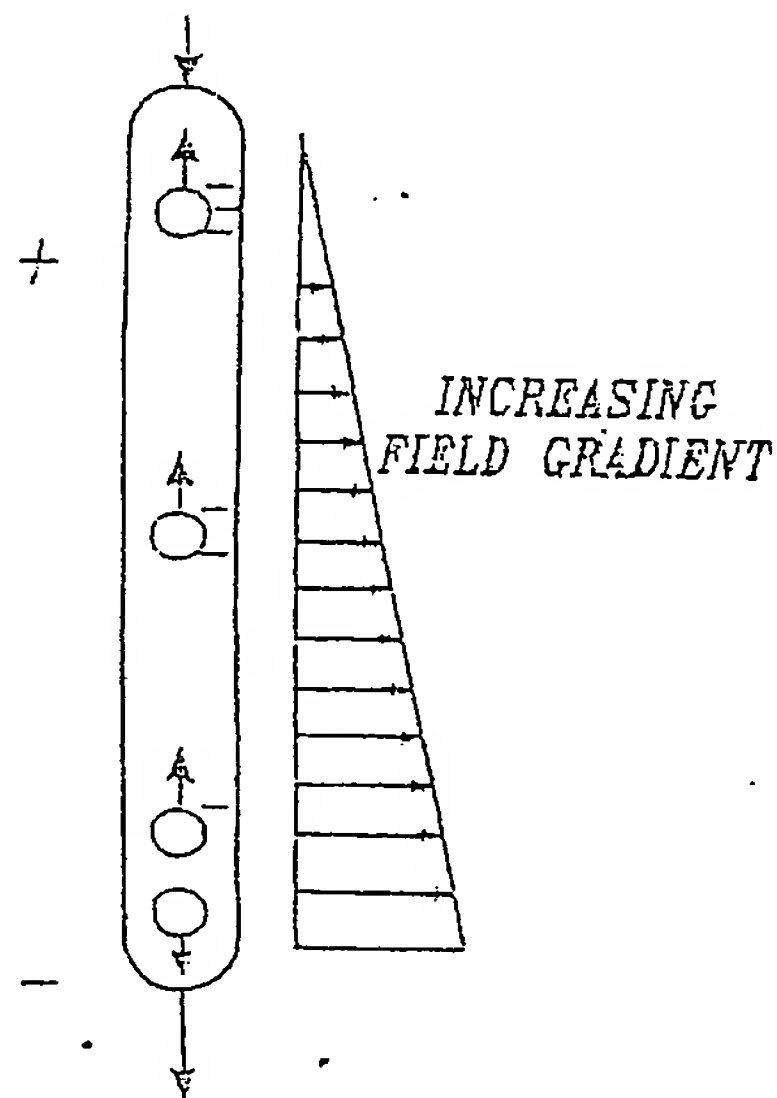


FIG. 3E

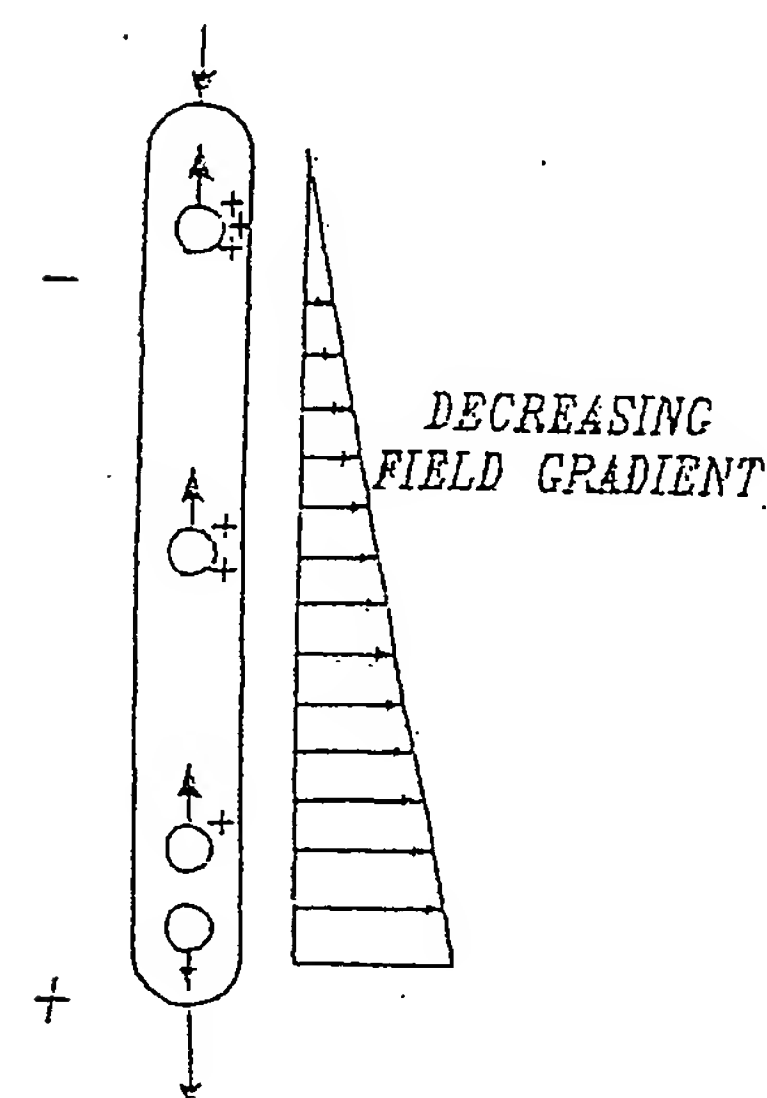


FIG. 3F

10/537197

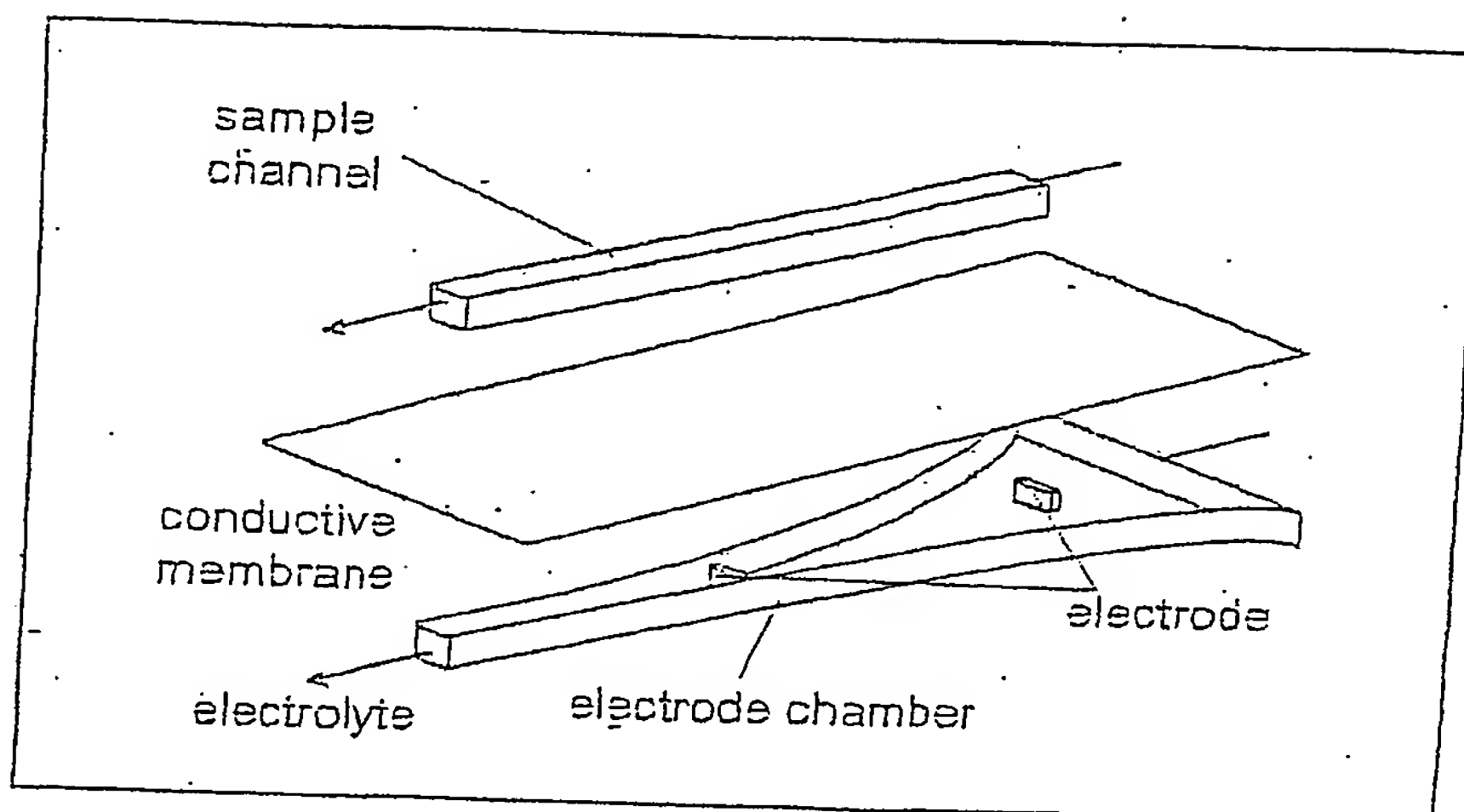


FIG. 4

10/537197

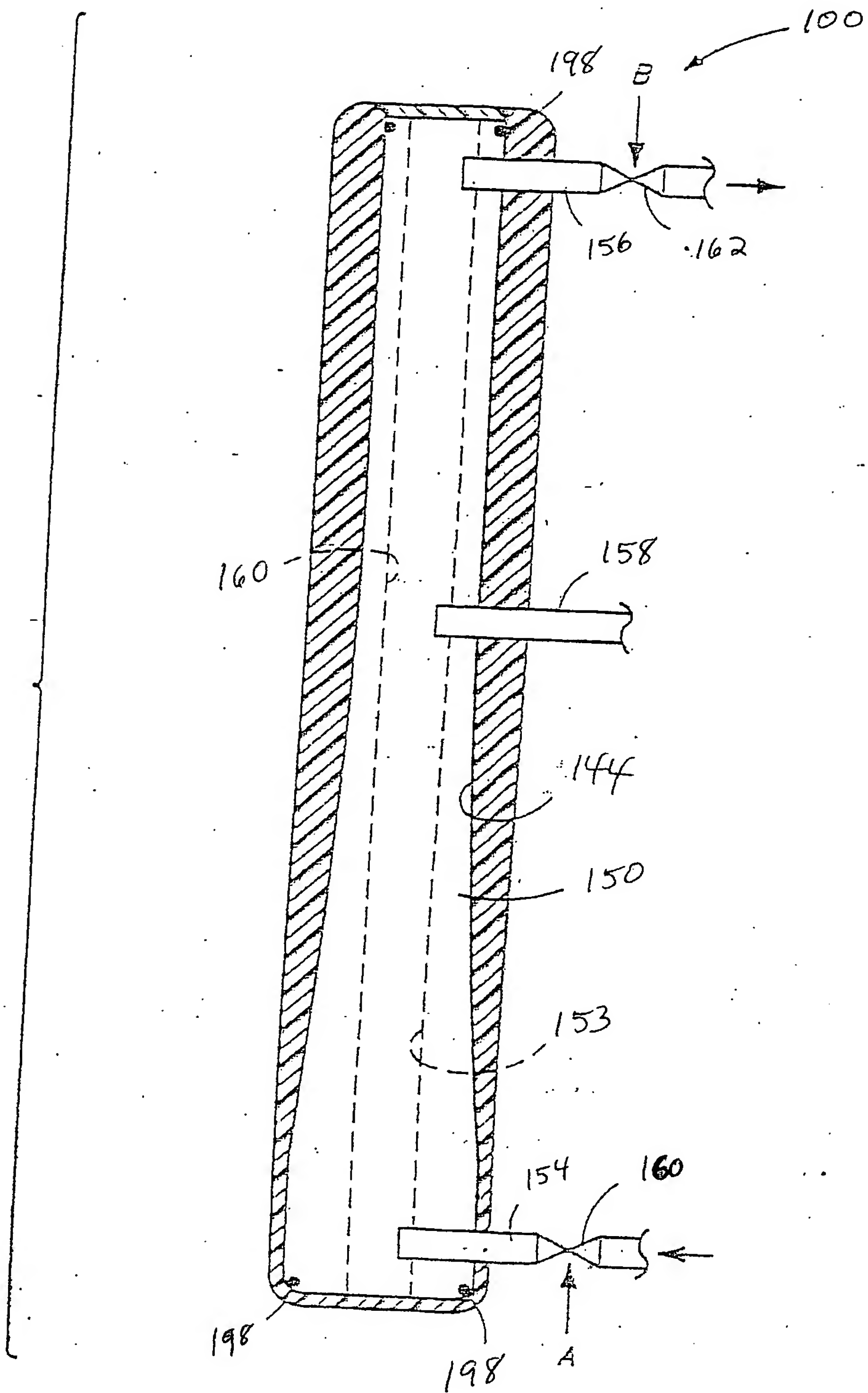
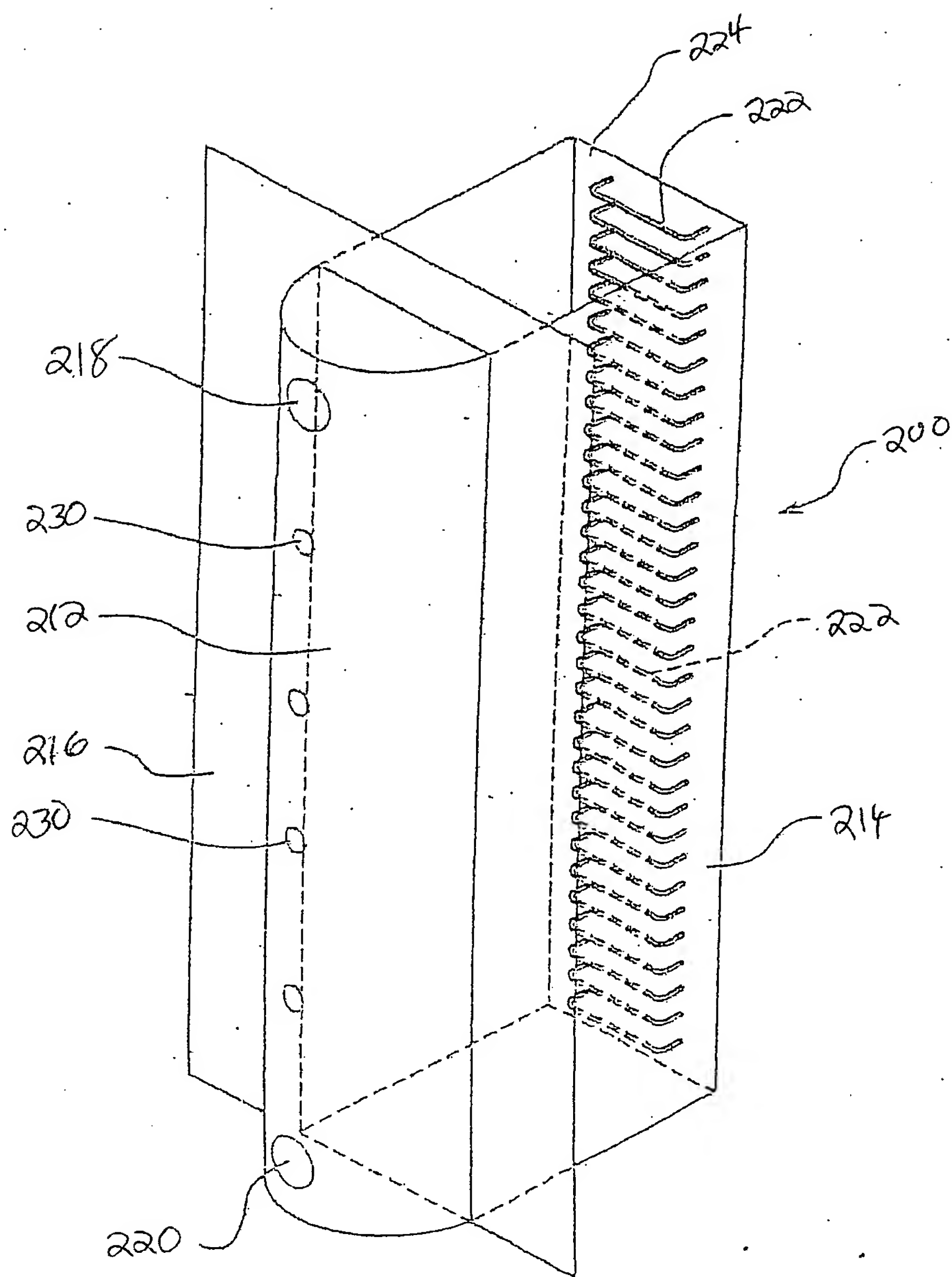


FIG. 5

10/537197

FIG. 6



10/537197

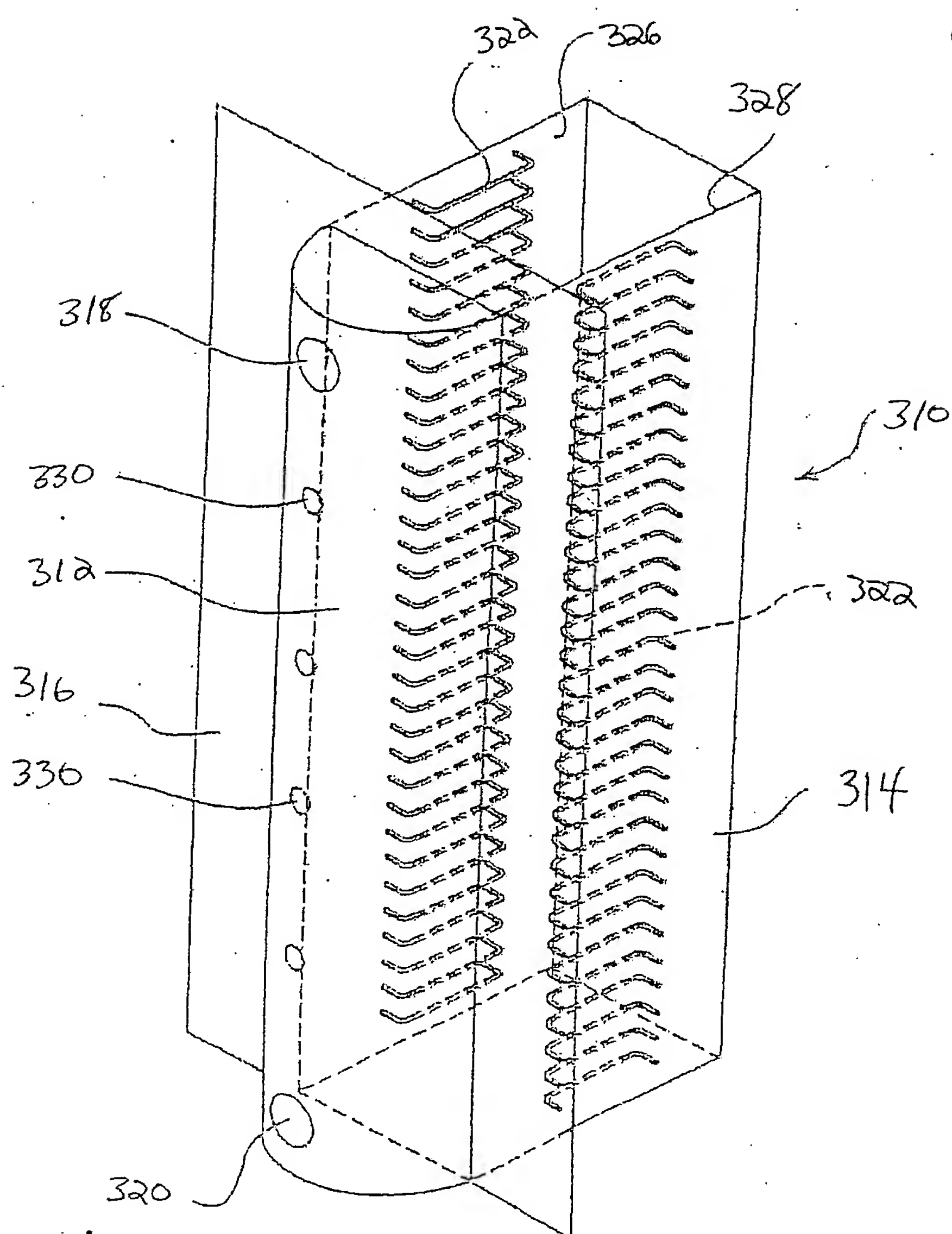
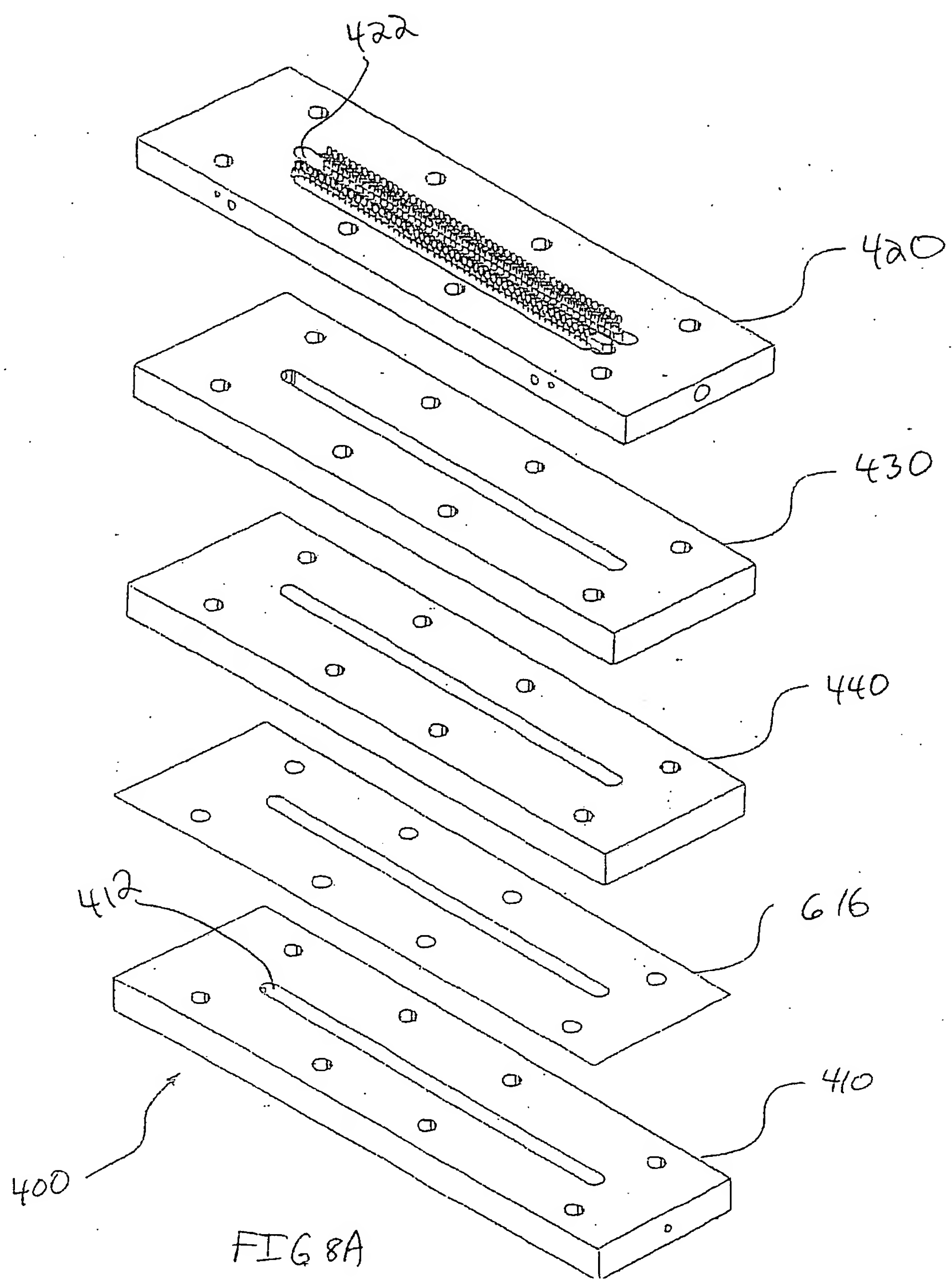


FIG. 7

10/537197



10/537197

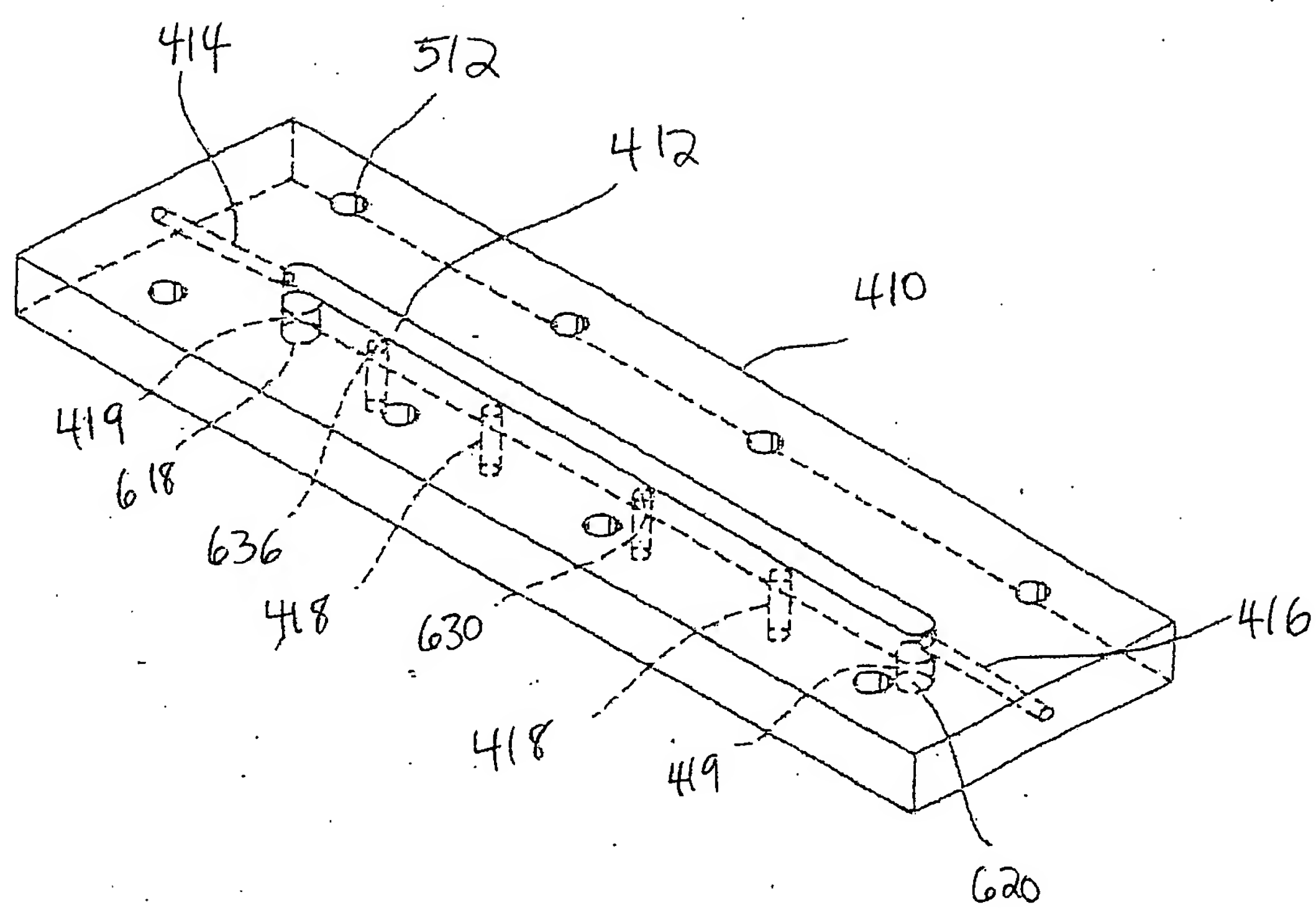


FIG. 8B

10/537197

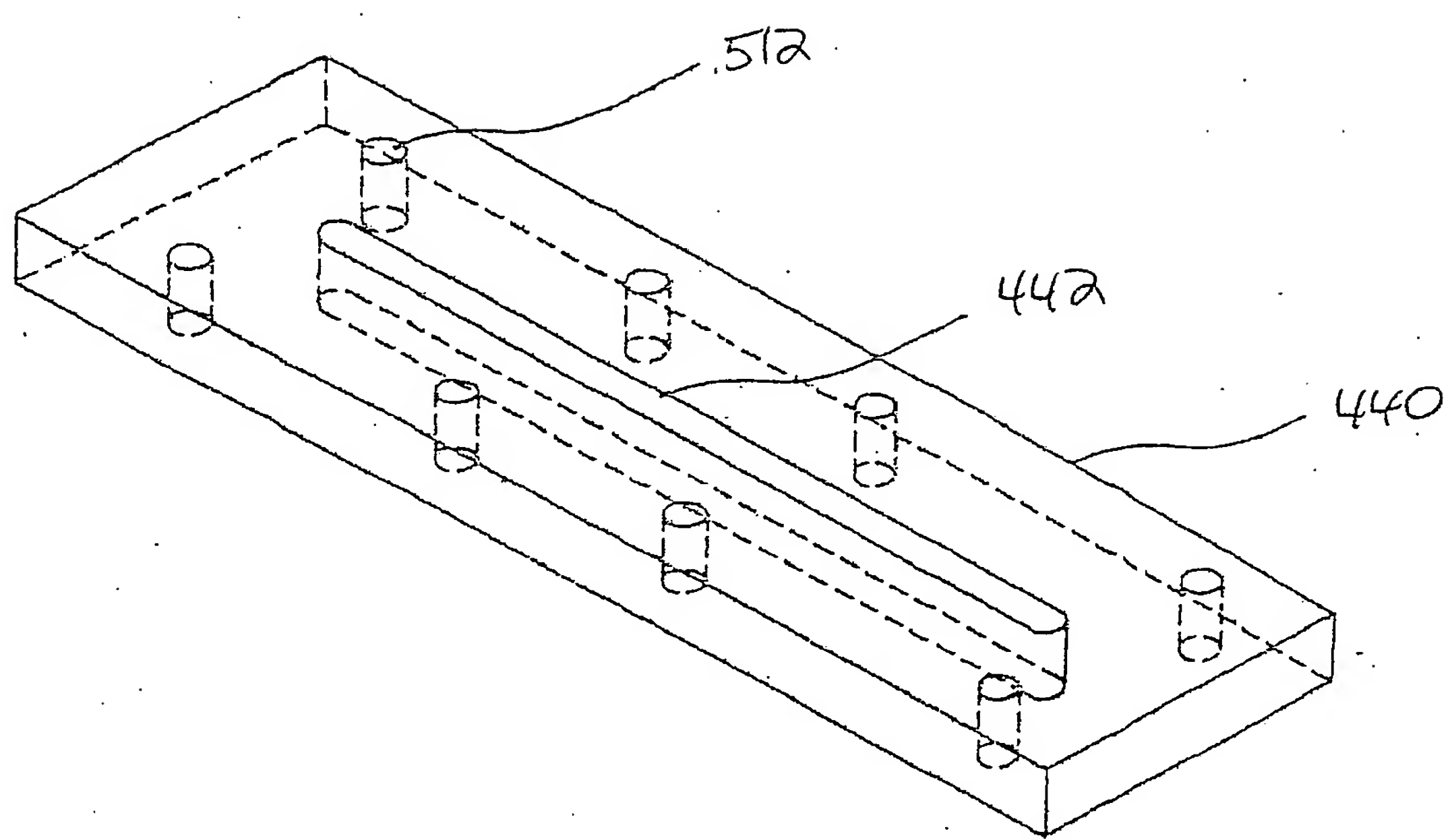


FIG. 8C

10/537197

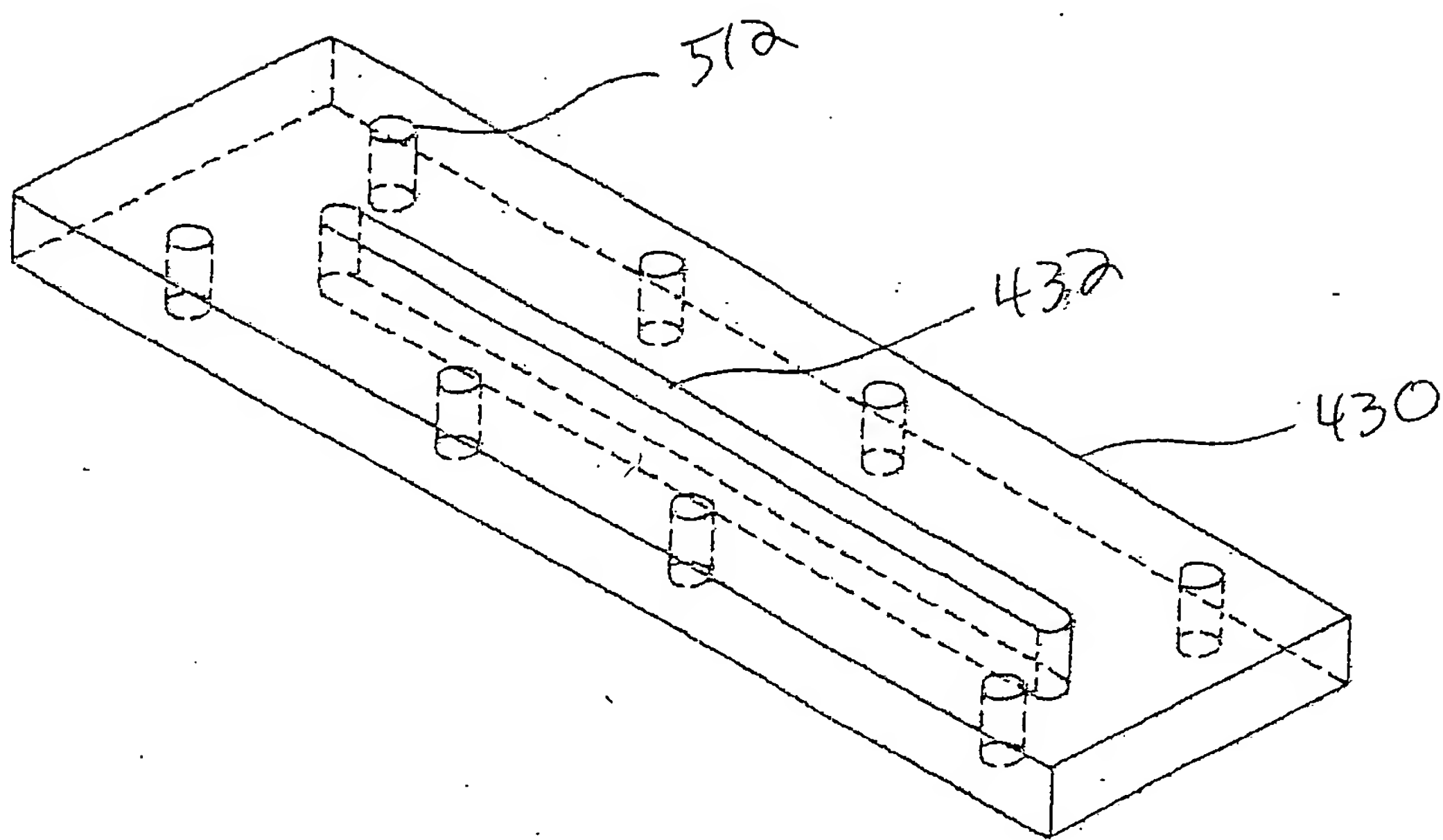


FIG. 8D

101537197

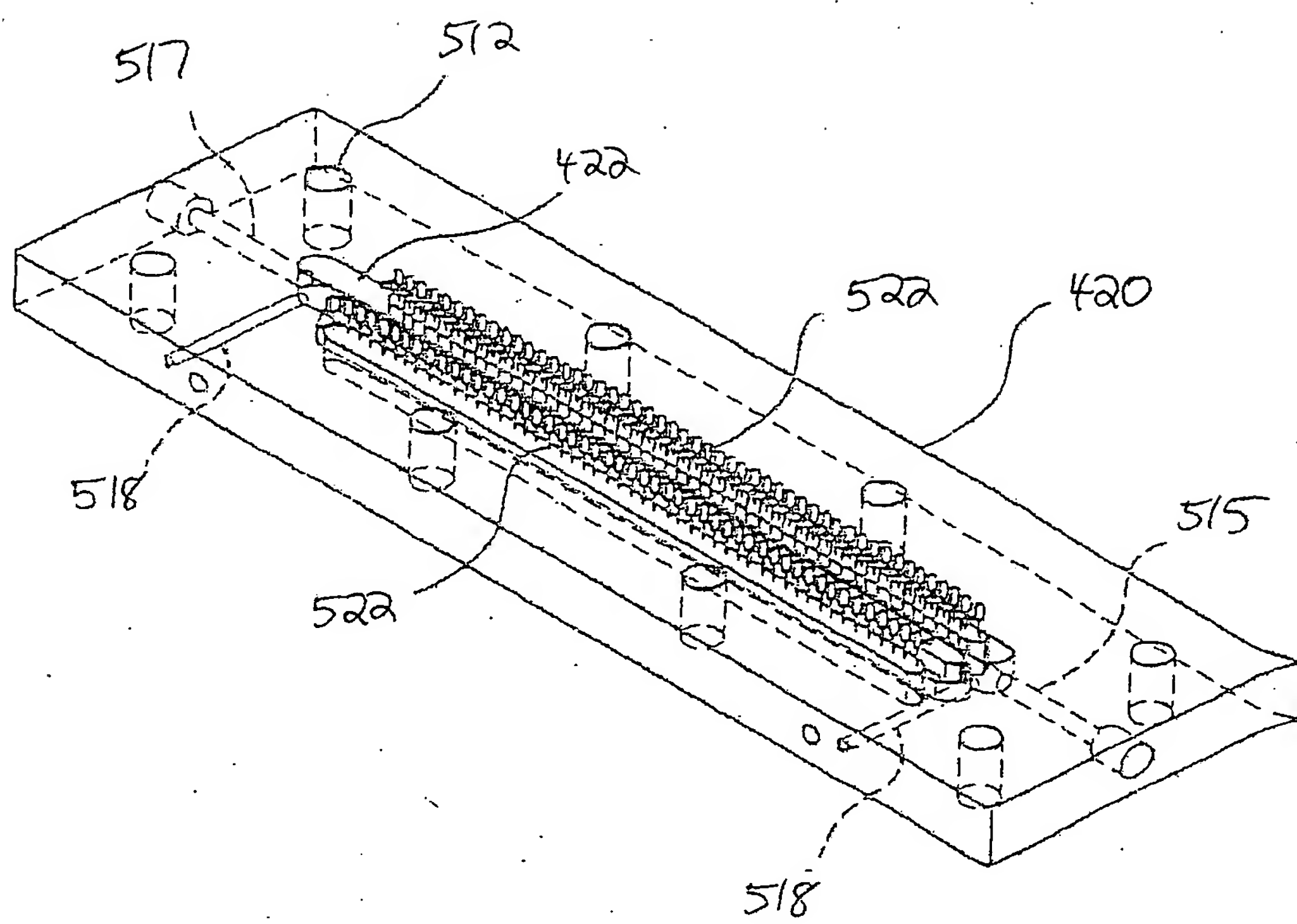


FIG. 8E

10/537197

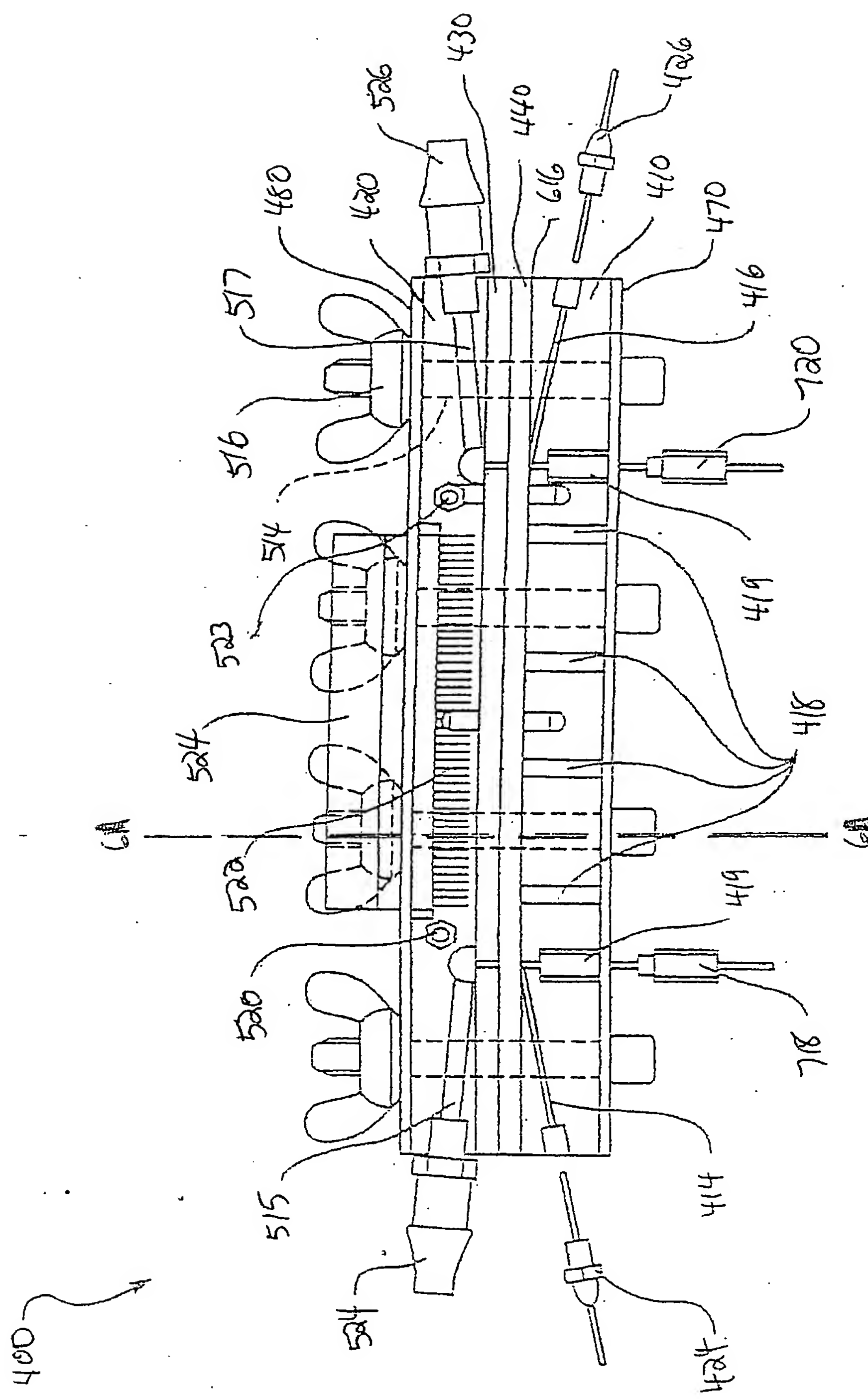


FIG. 9

10/537197

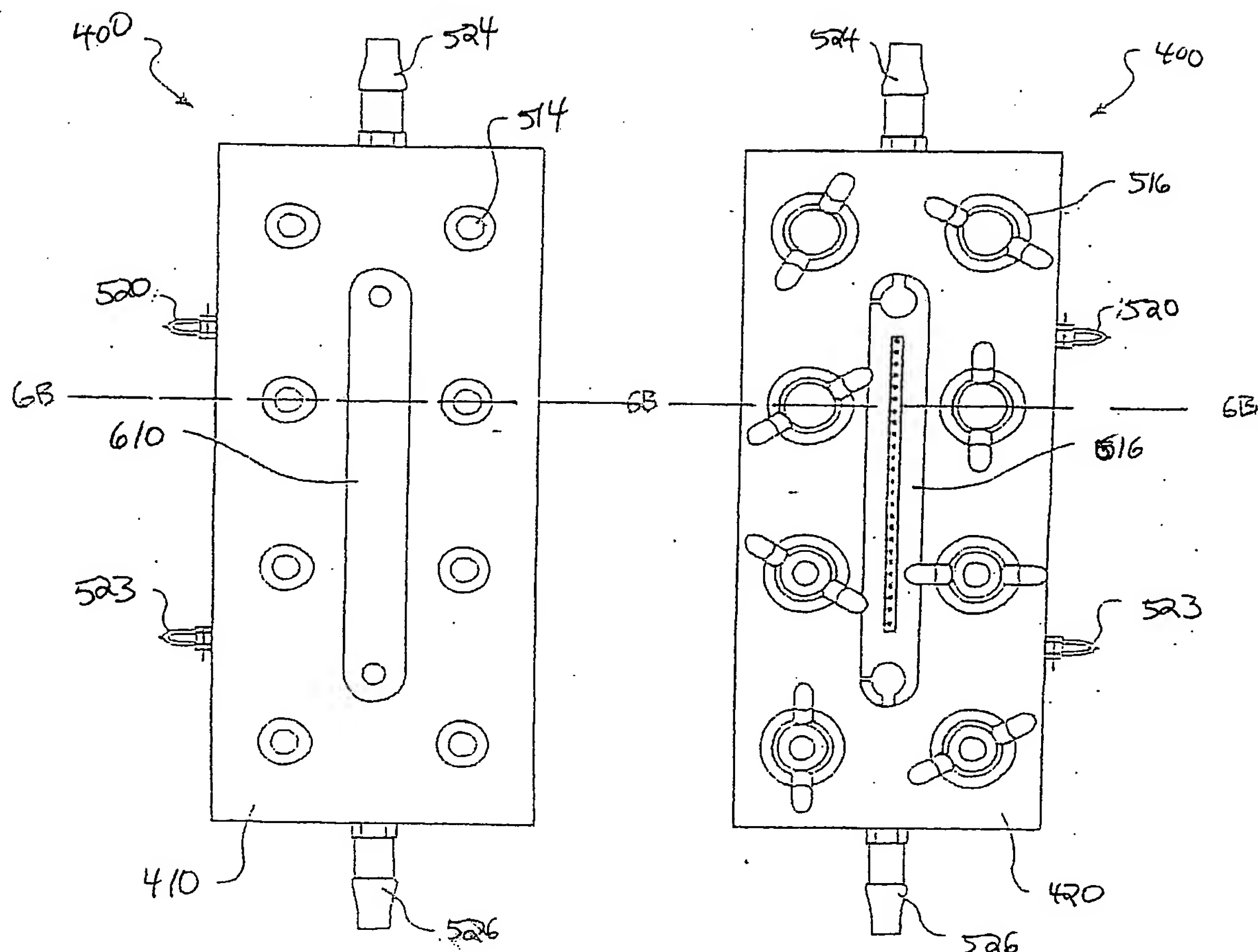


FIG. 10A

FIG. 10B

10/537197

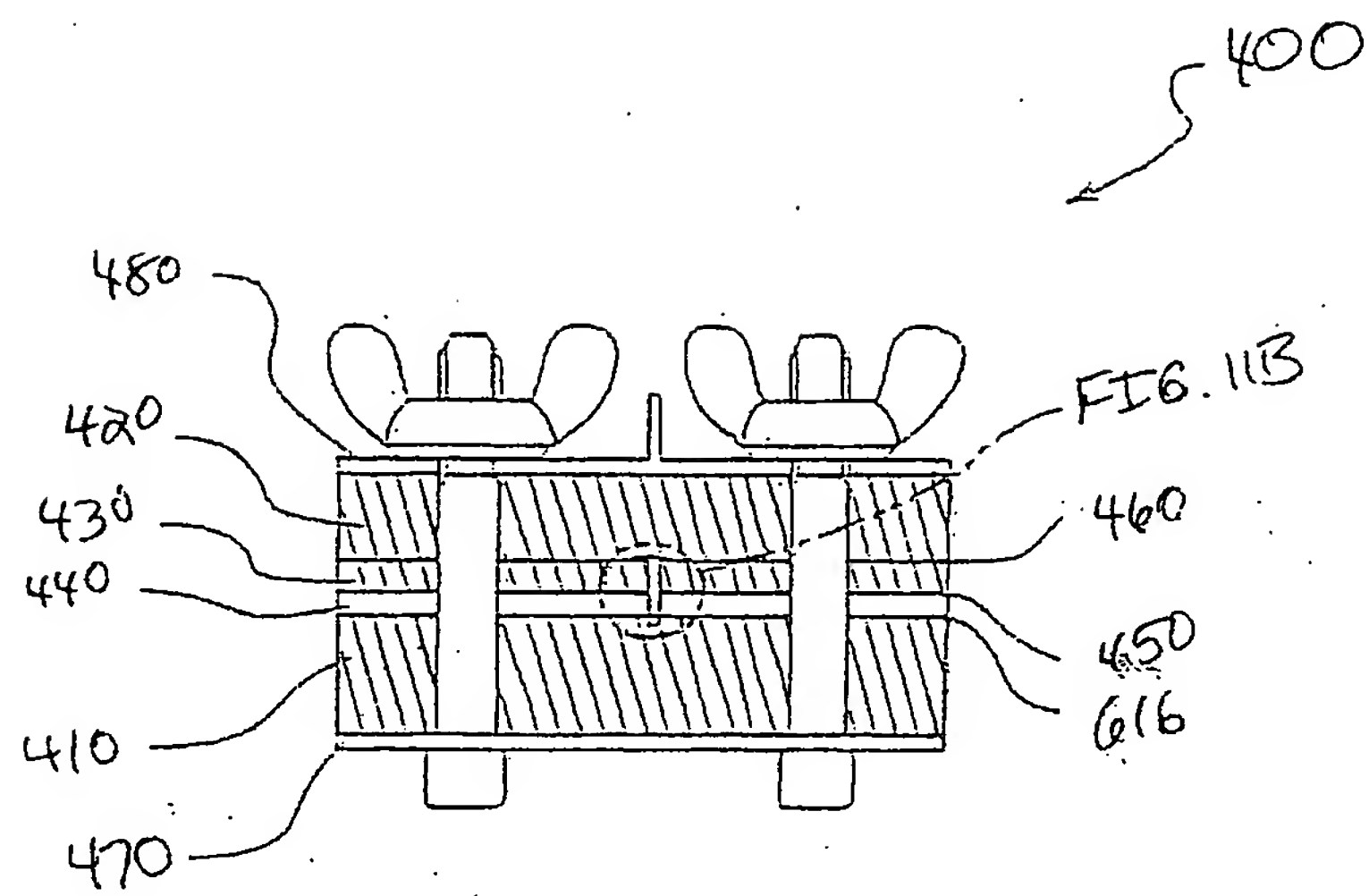
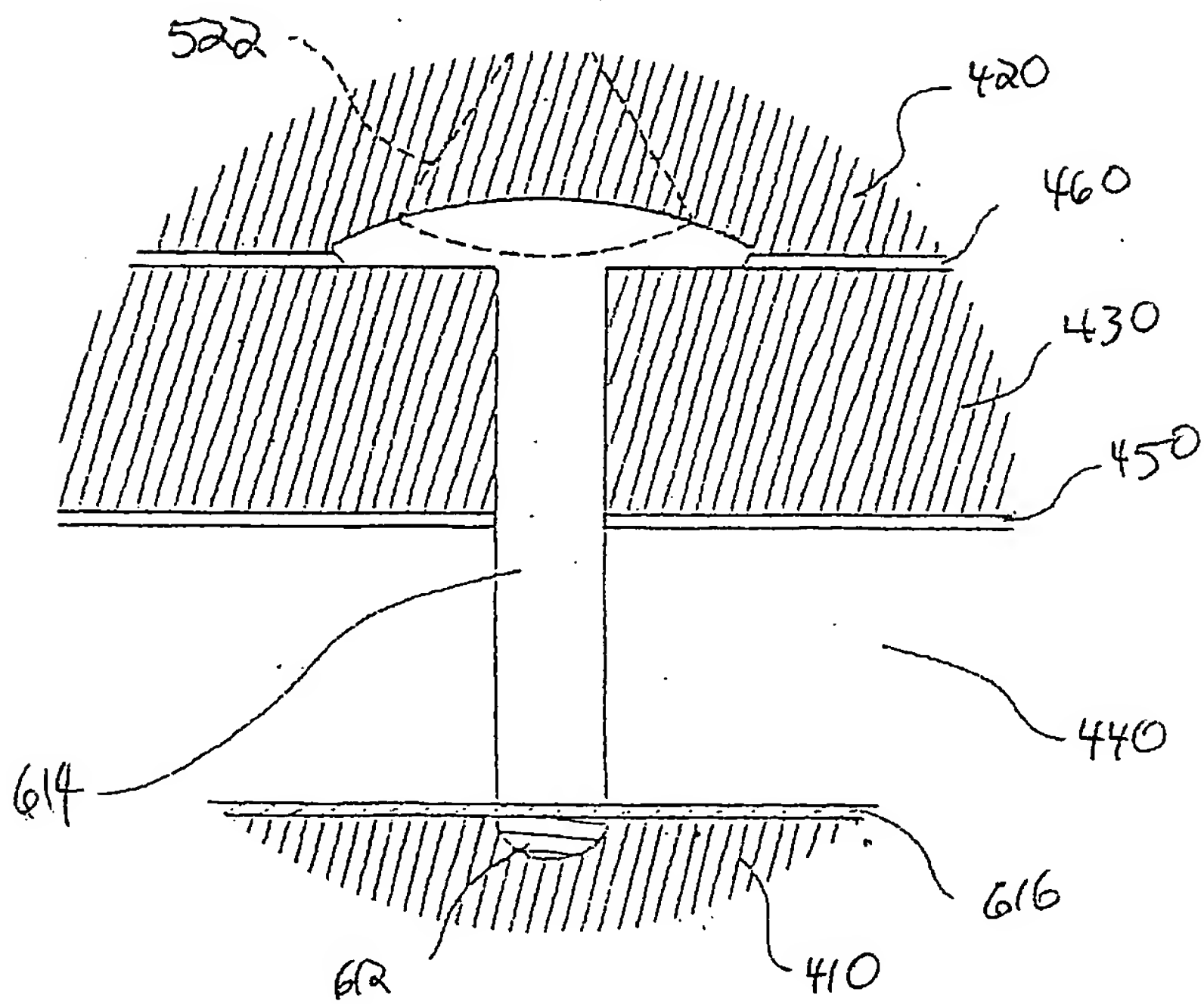


FIG. 11A



10/537197

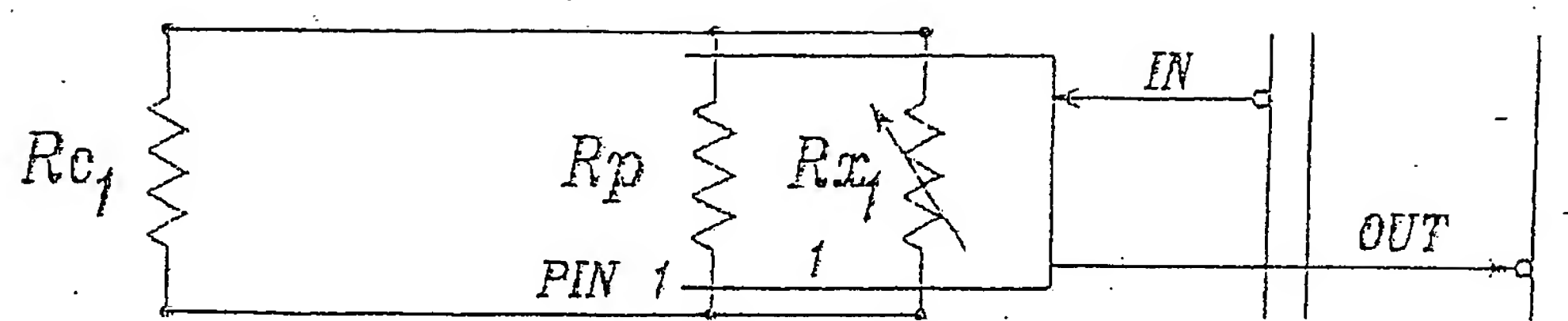


FIG. 12

10/537197

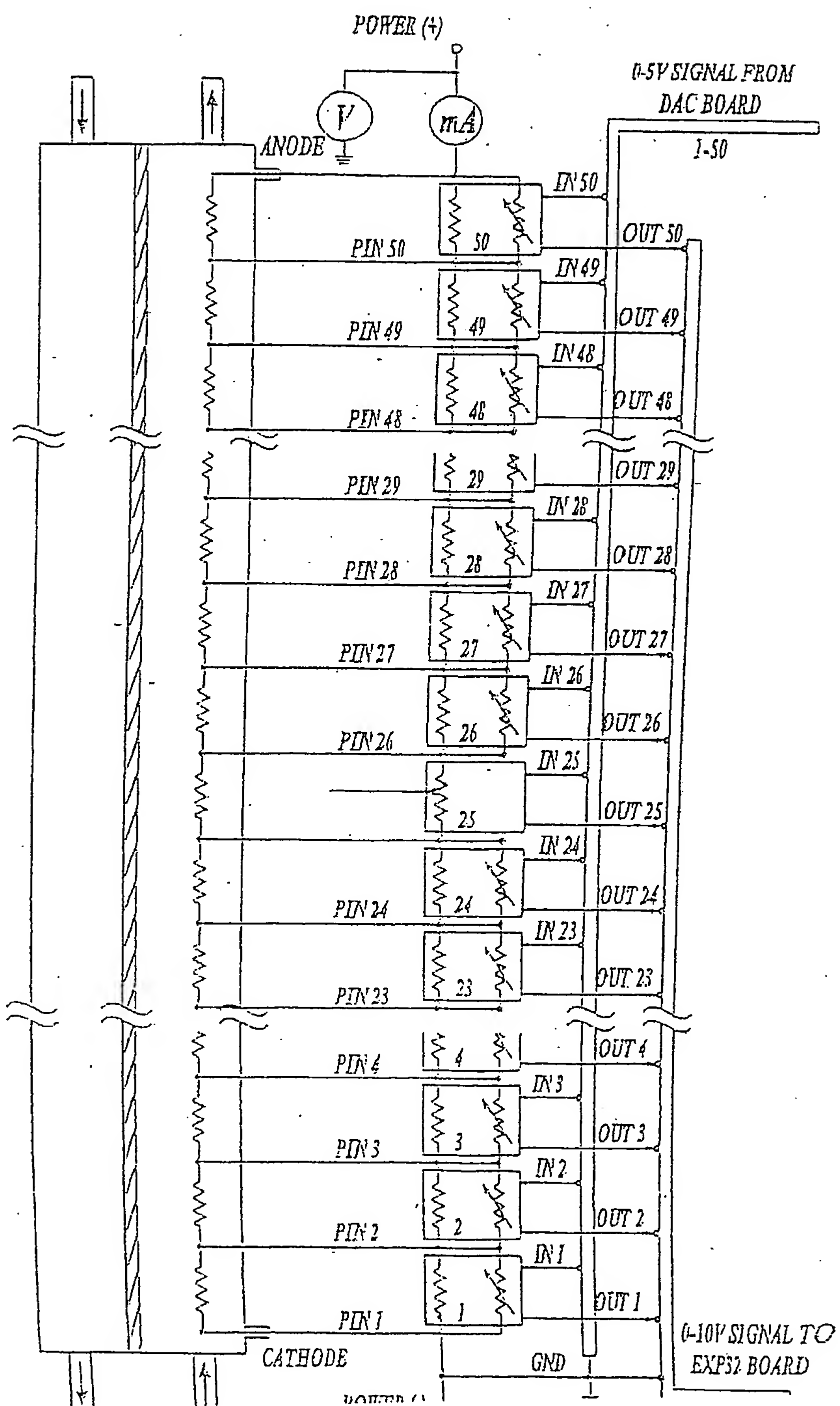
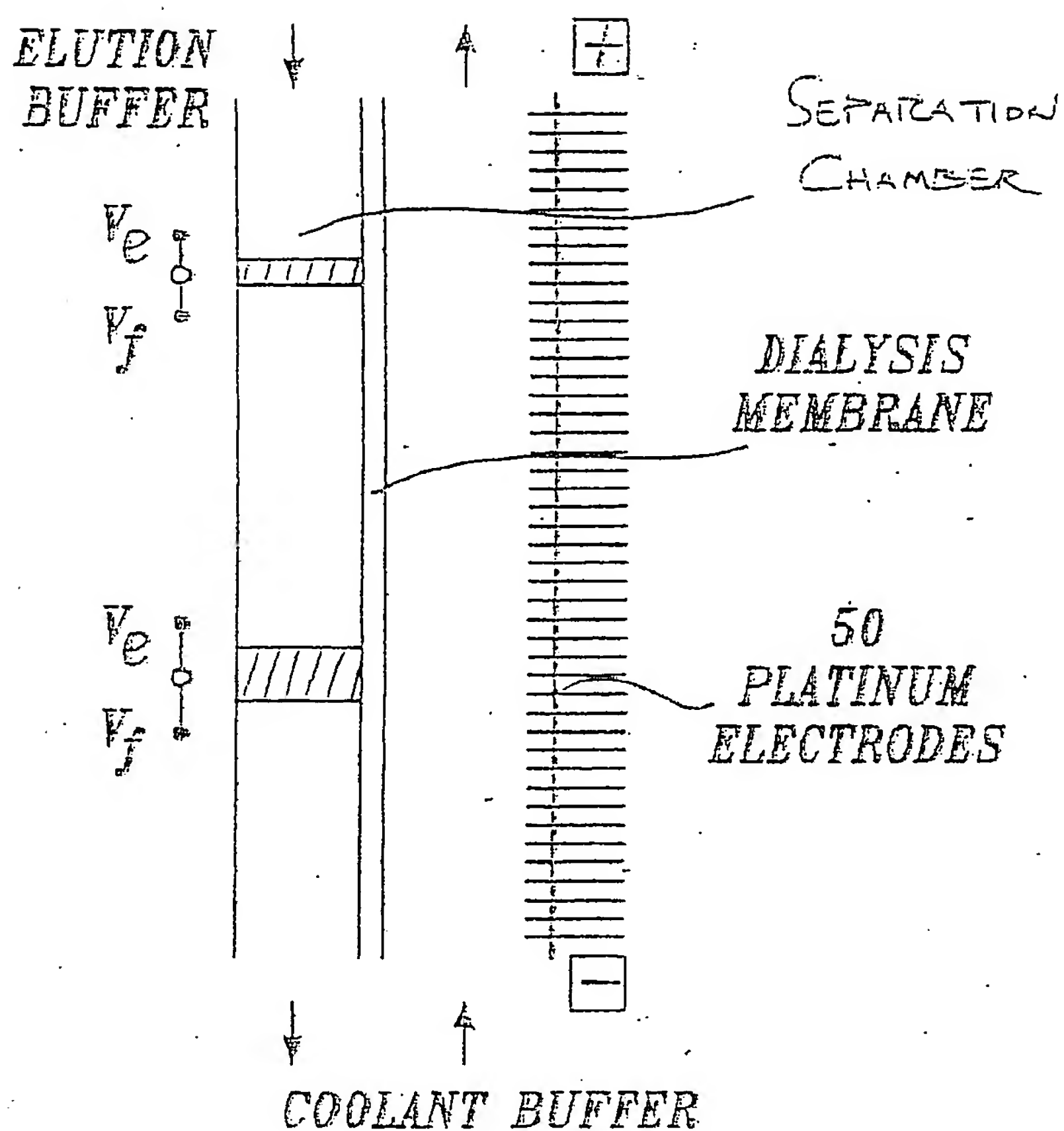


FIG. 13

10/537197



V_f MIGRATION RATE WITH ELUTION BUFFER
 V_e MIGRATION OF ELECTROPHORESIS
 $V_f = V_e$ AT EQUILIBRIUM ZONE

FIG. 14

10/537197

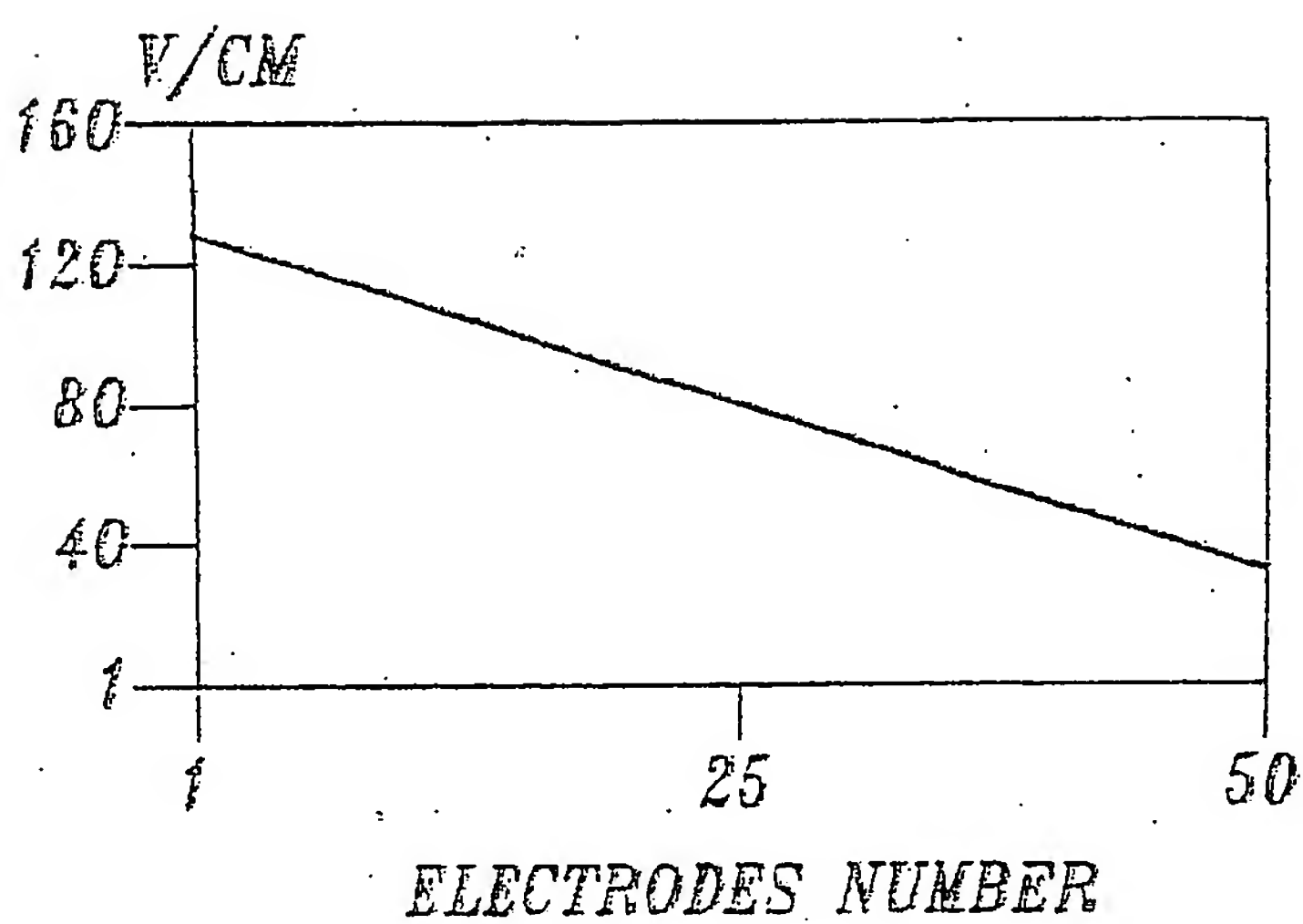


FIG. 15A

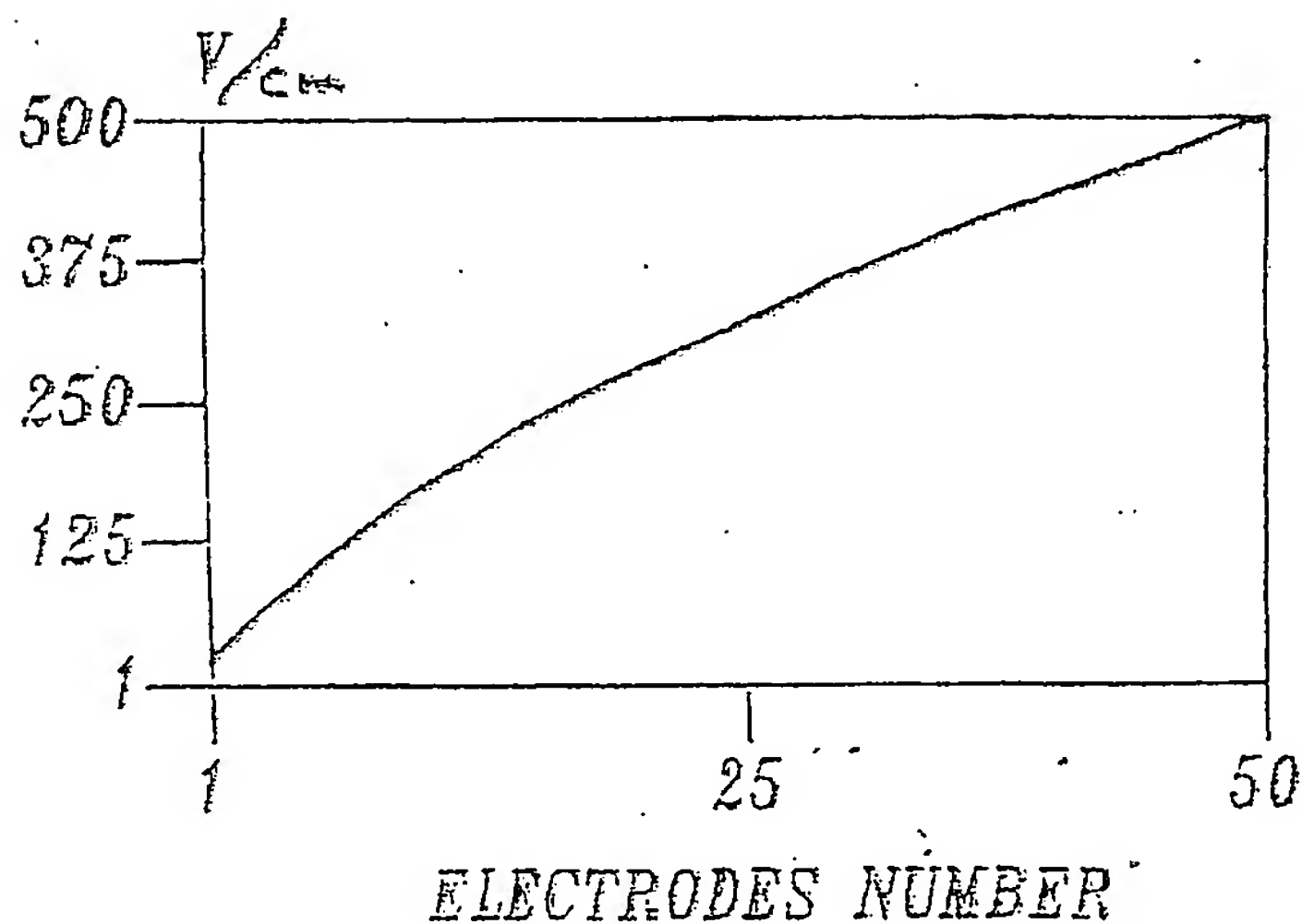


FIG. 15B

10/537197

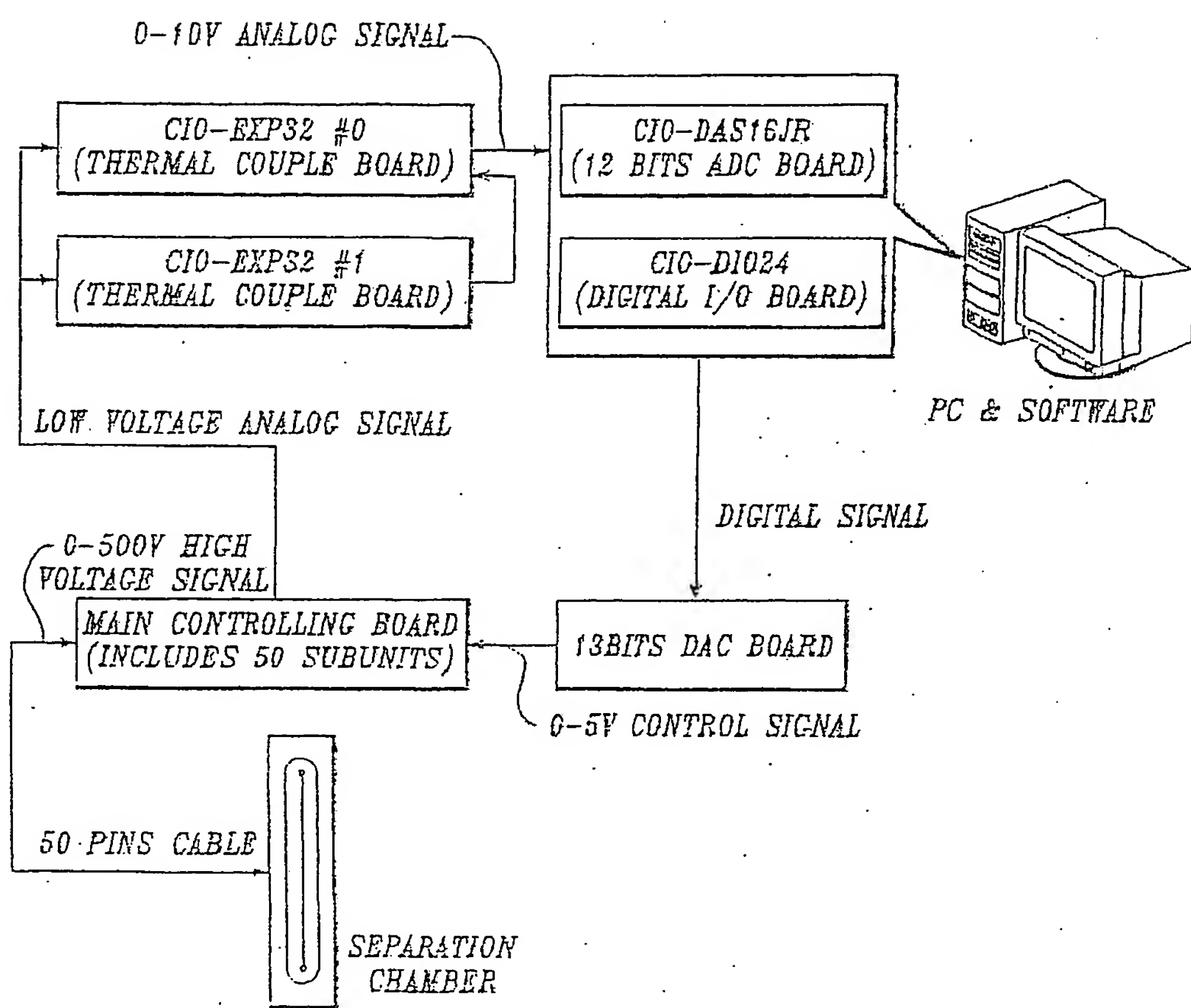


FIG.16

10/15/1997

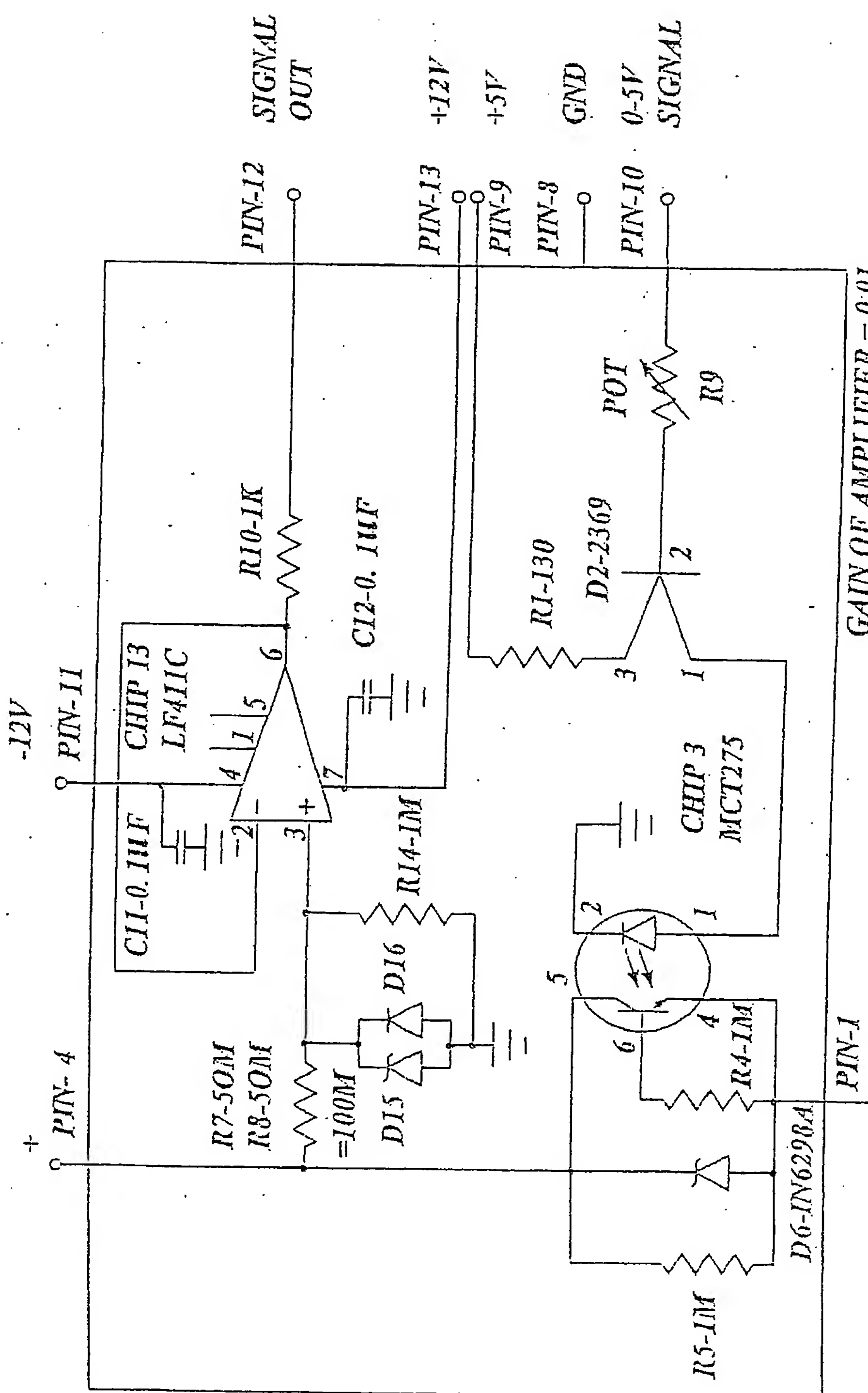
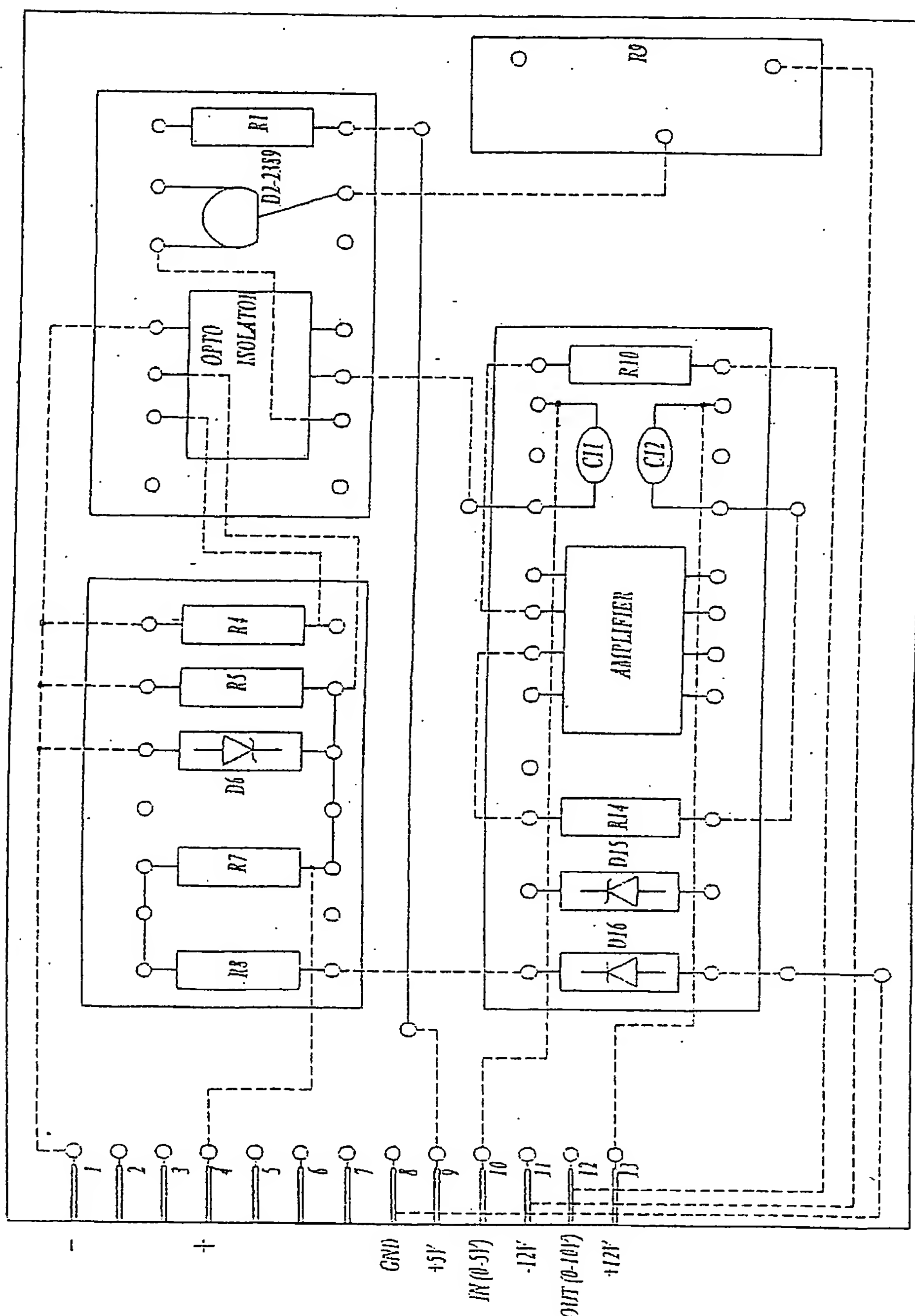
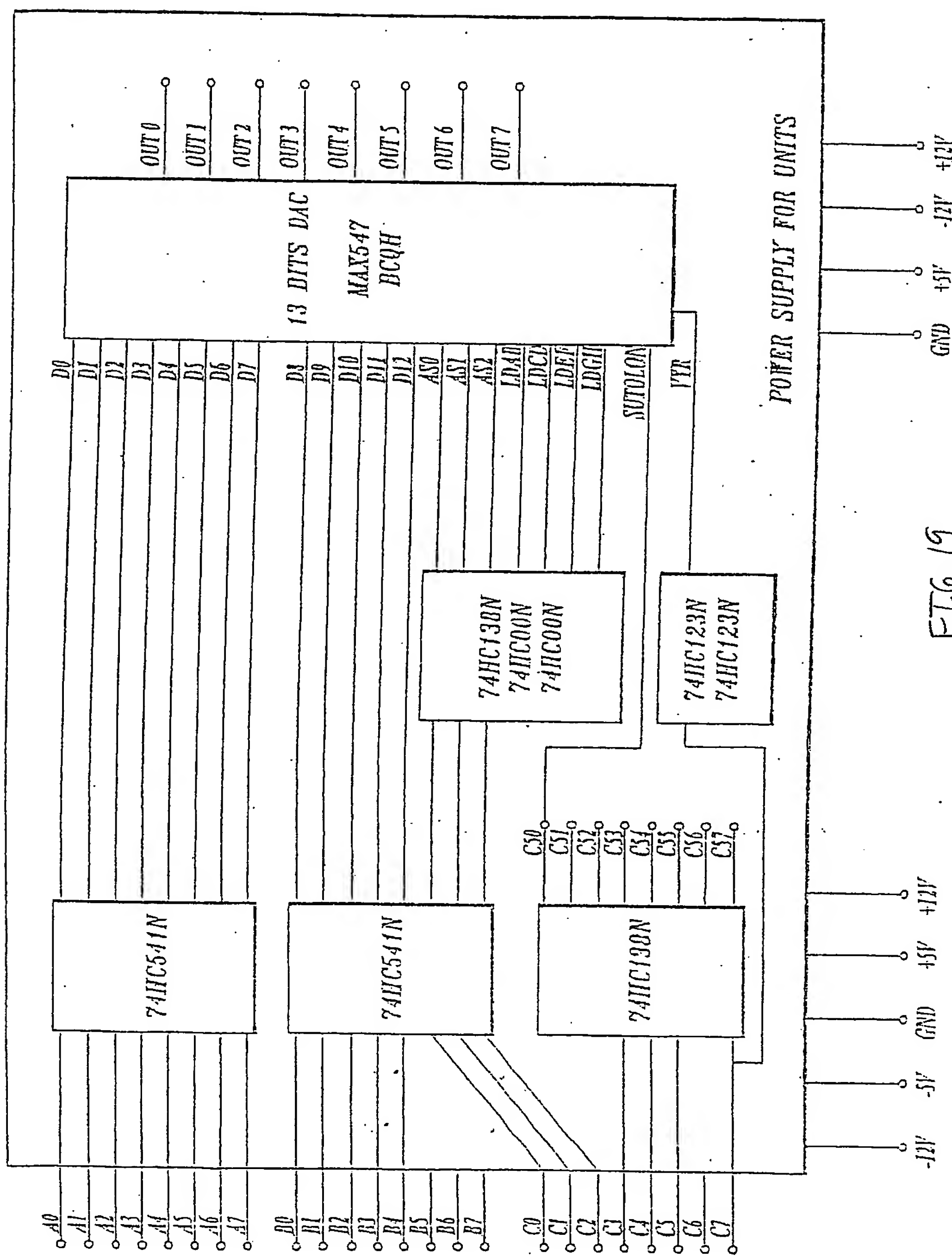


FIG. 17

103537197



10/15/87 1997



10/537197

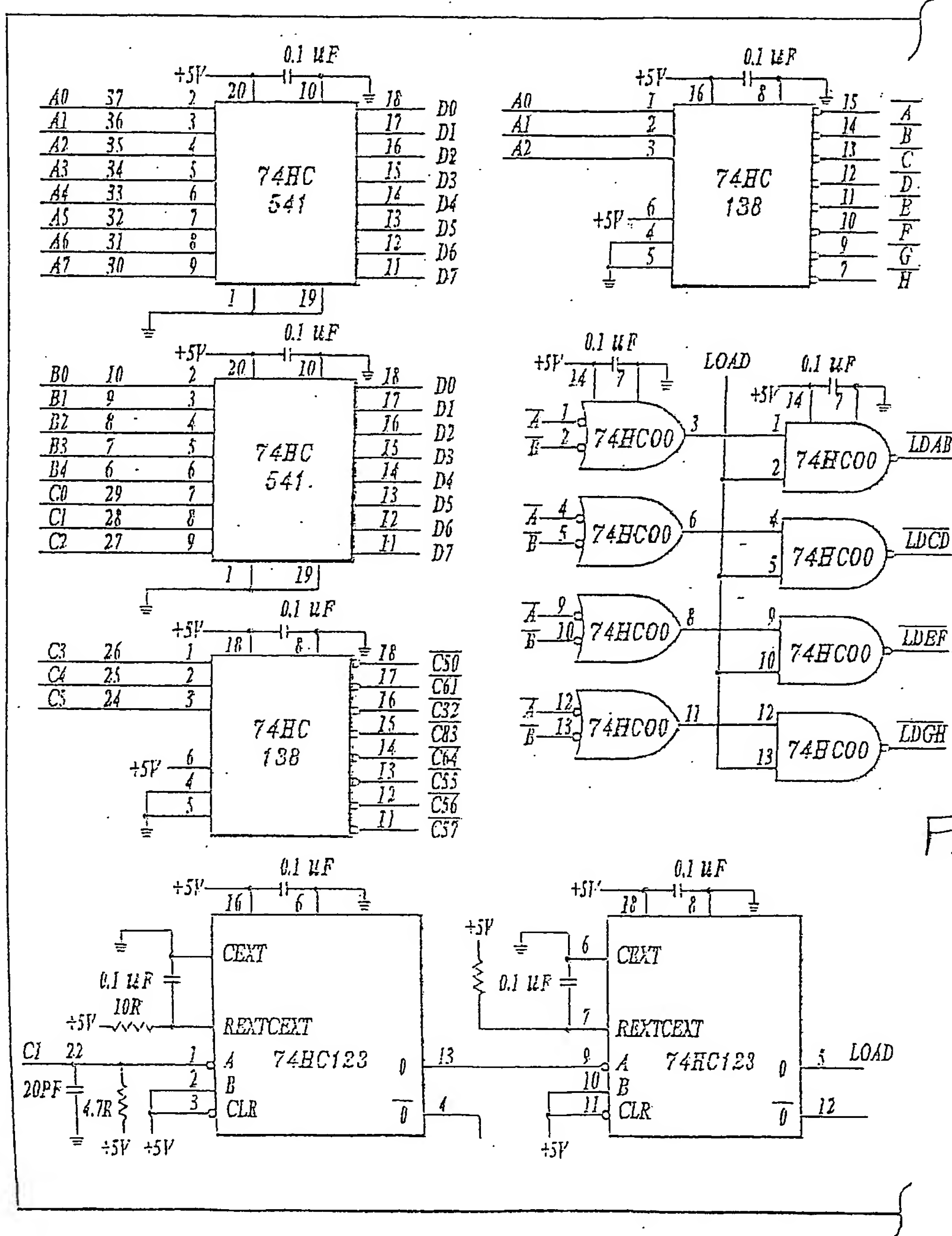
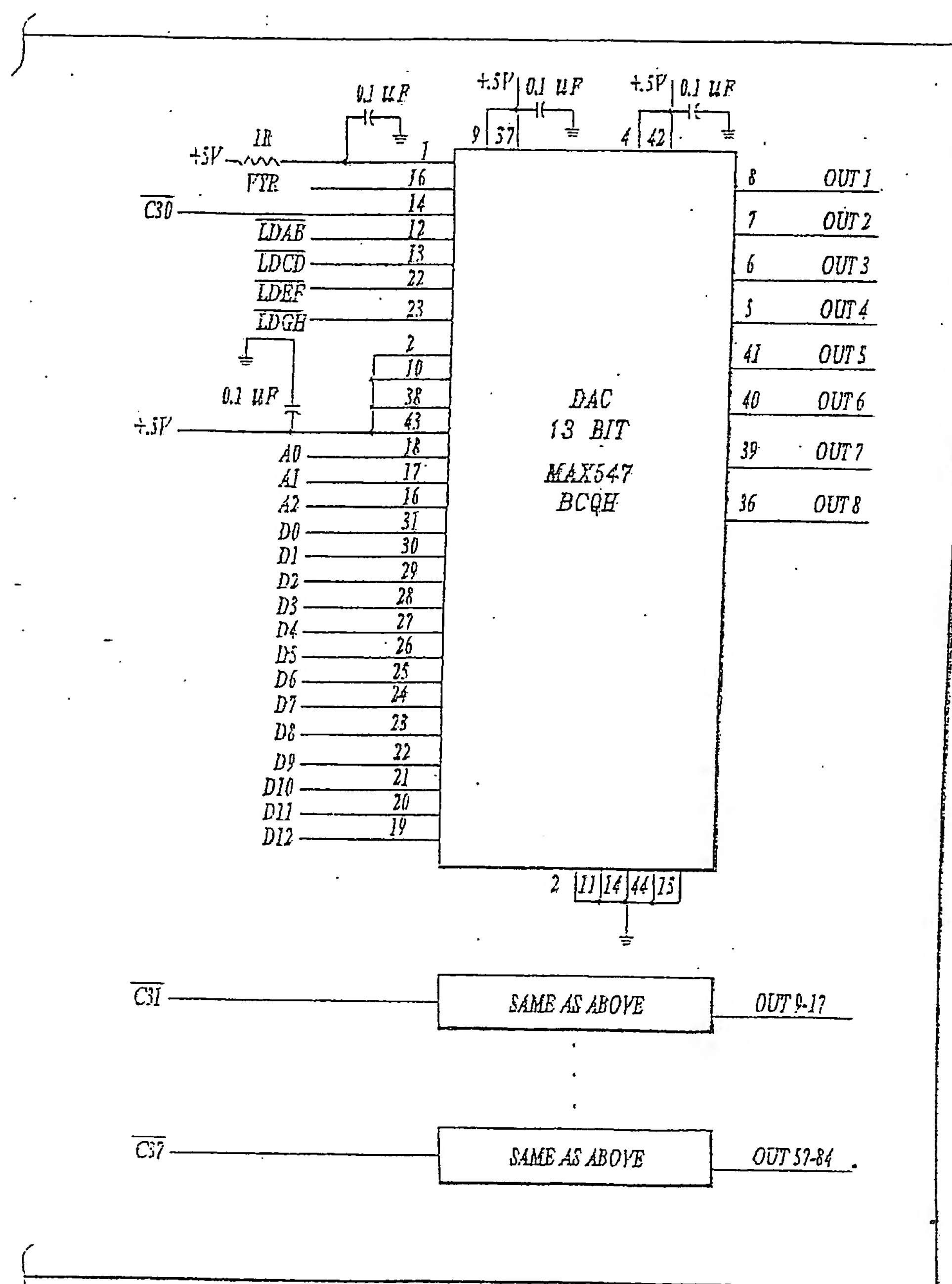


FIG. 20A

10/537197



10/537197

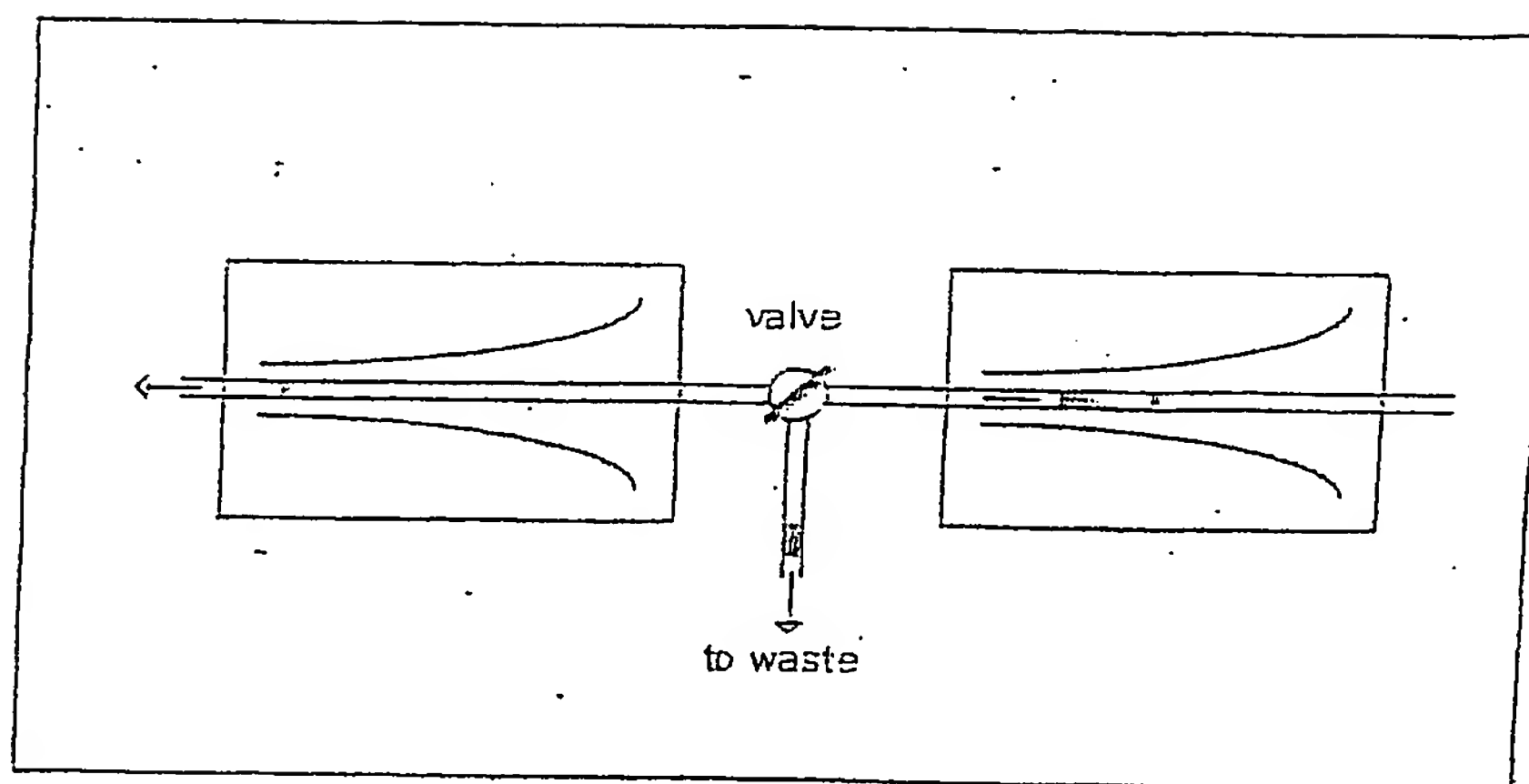


FIG. 21

10/537197

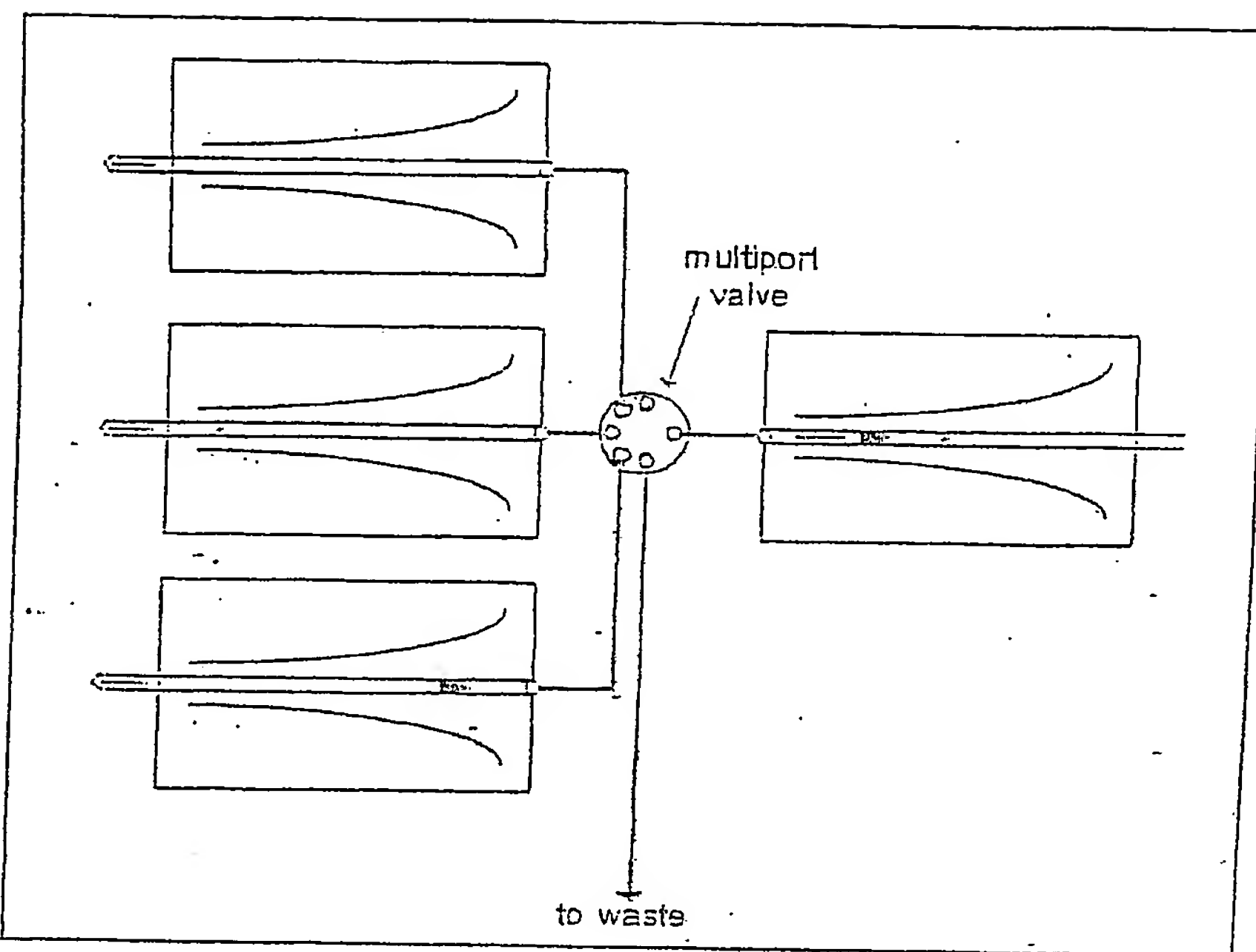


FIG. 2a

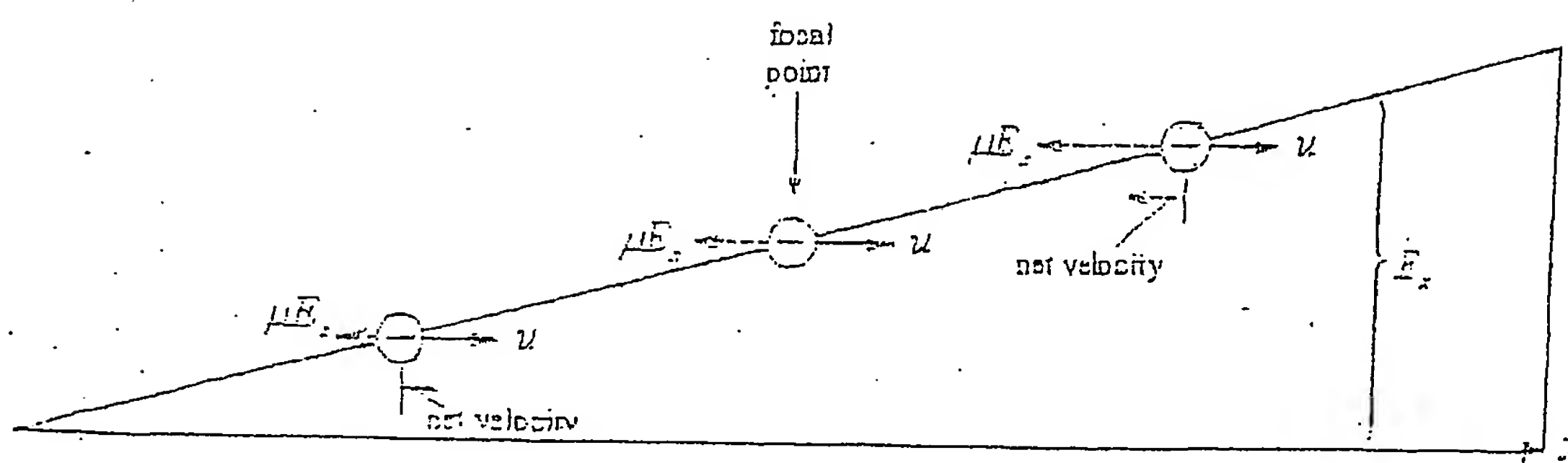


FIG. 23

10/537197

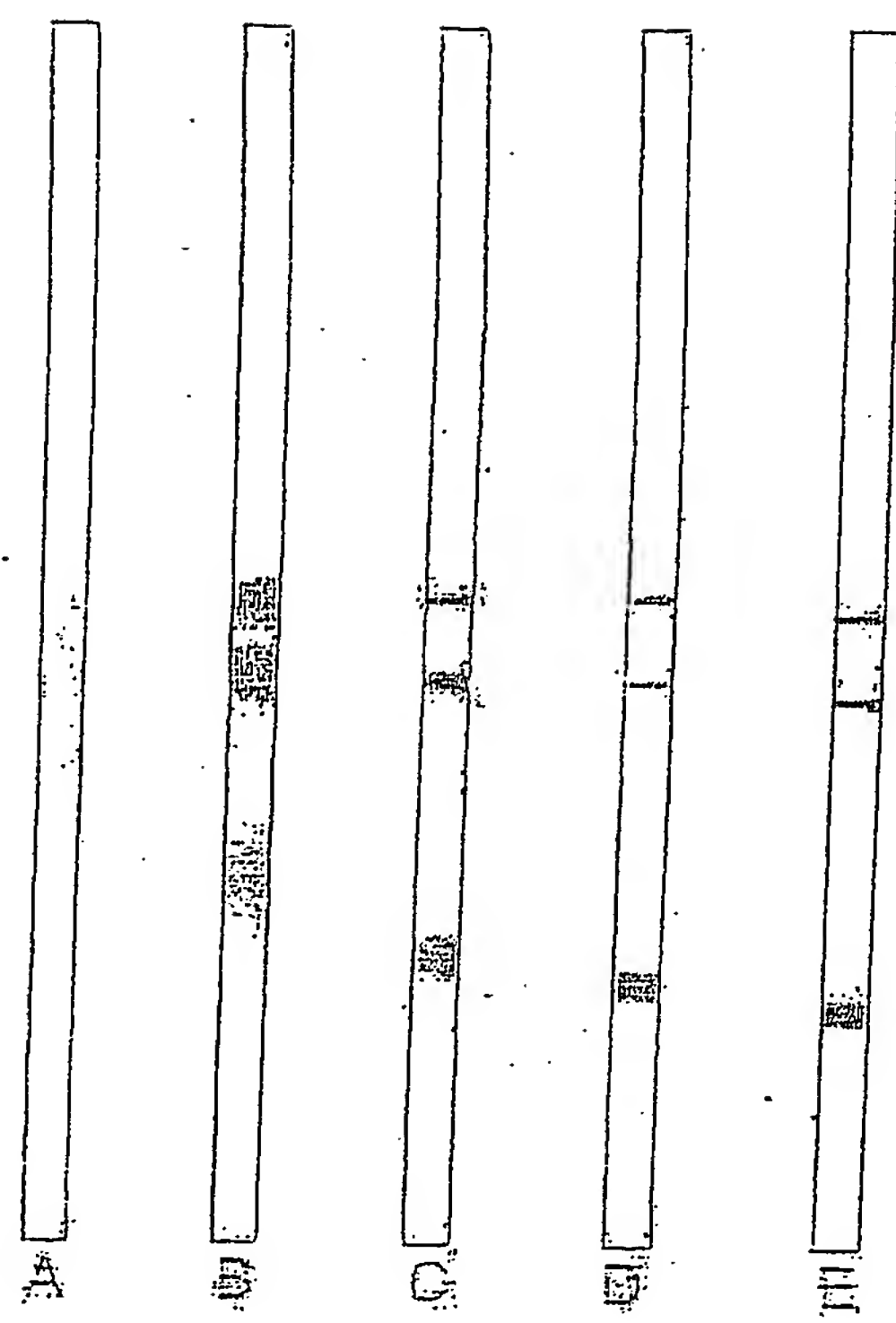


FIG. 24

10/537197

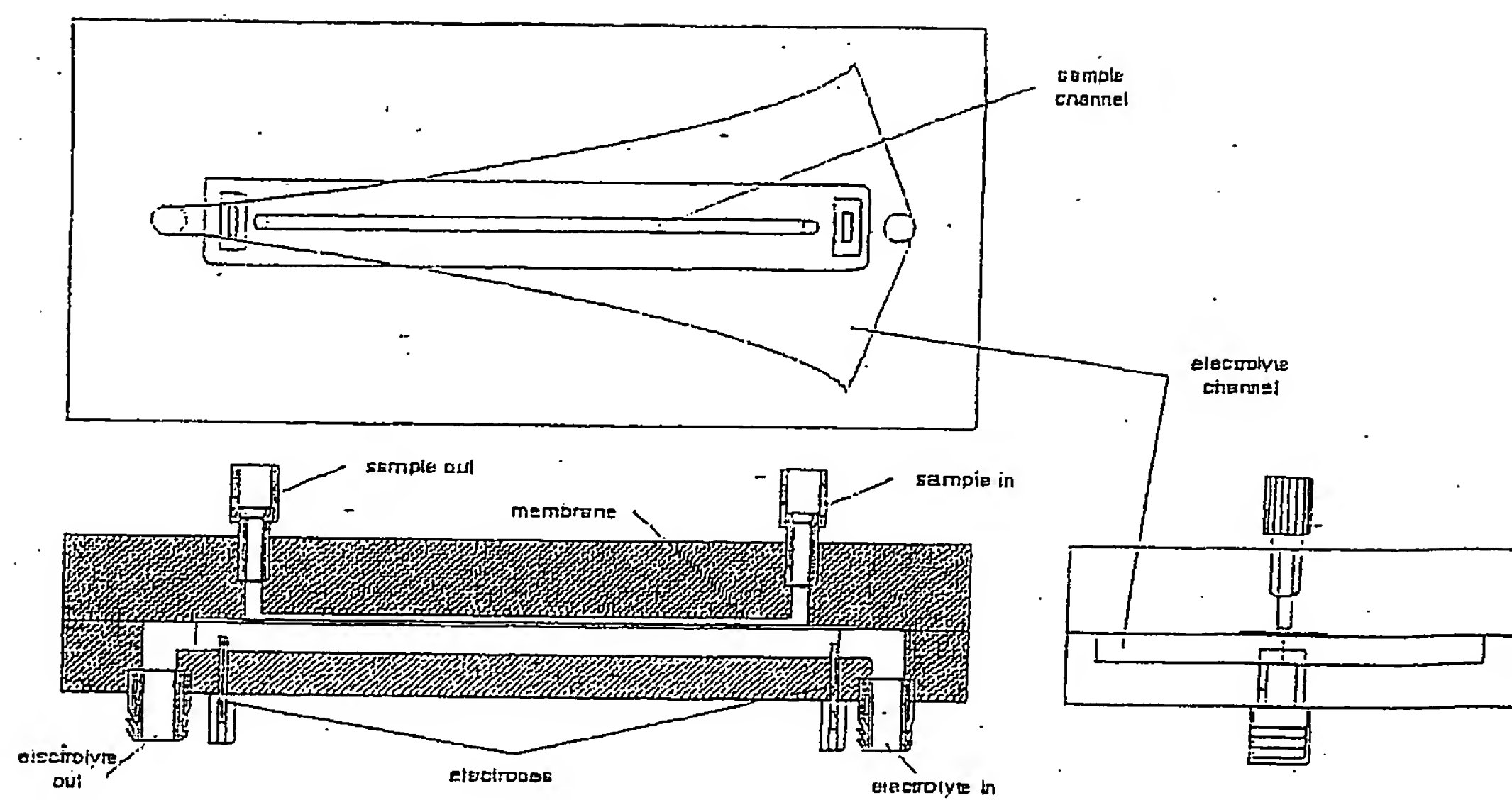


FIG. 25

10/537197

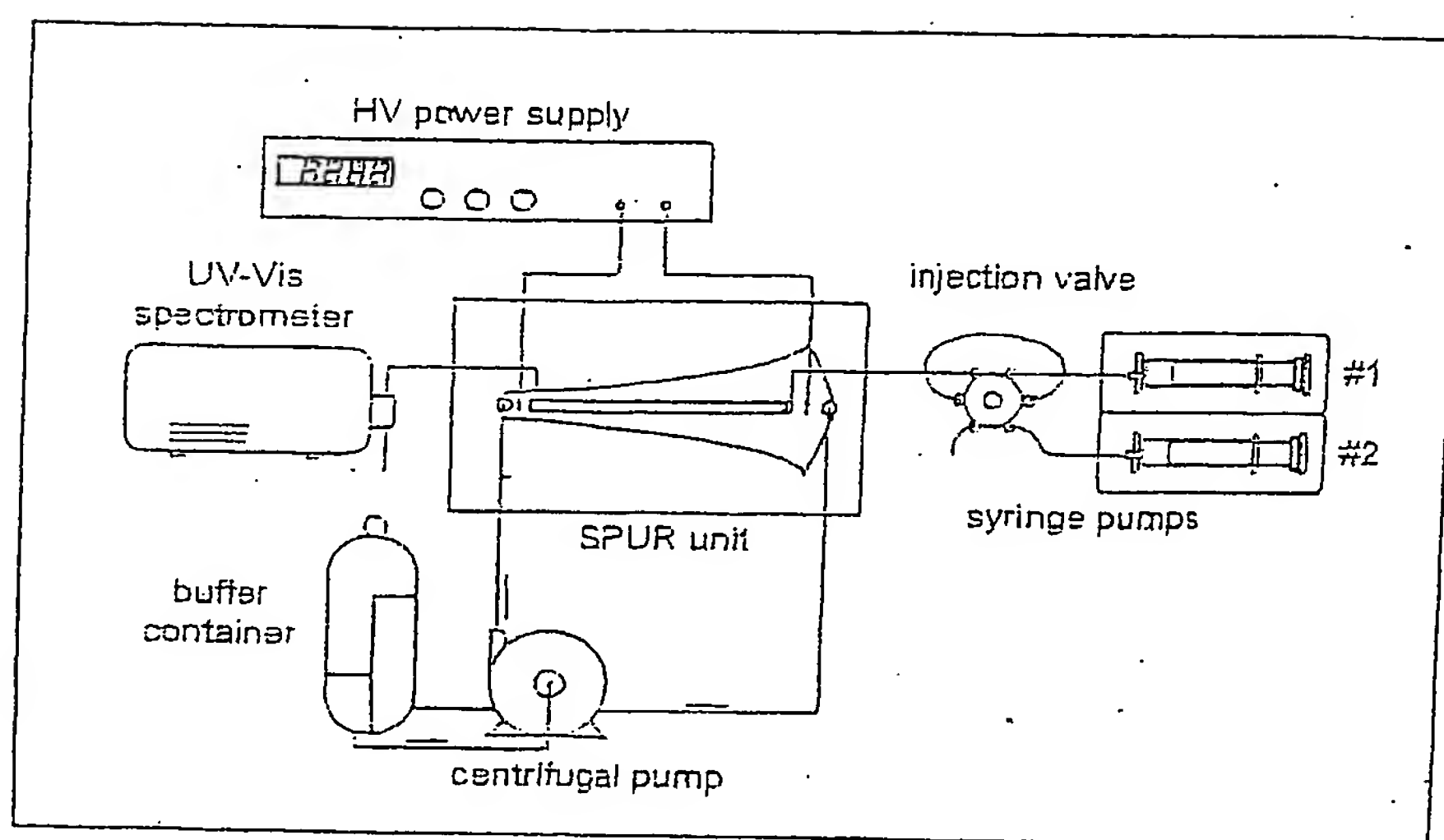
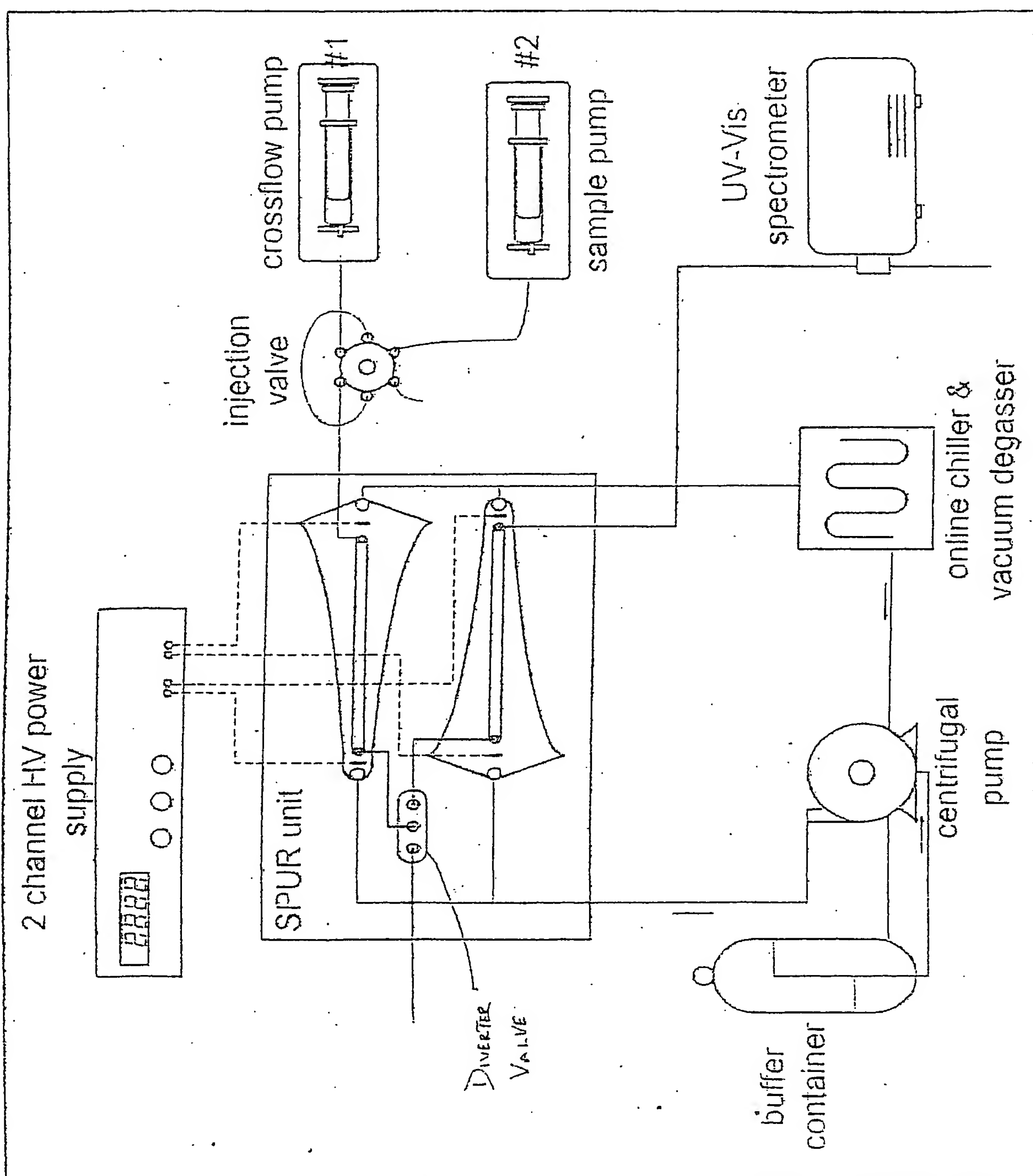


FIG: 26

3/537197

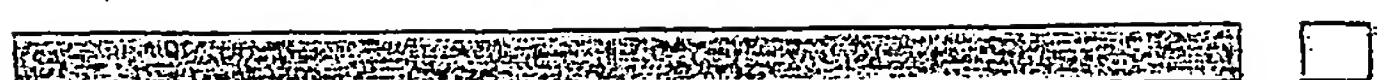


10/537197

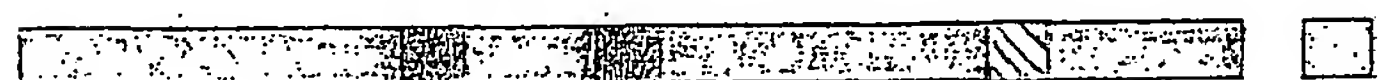
Minutes

Detector
Cell

T = 0



T = 15



T = 18



T →

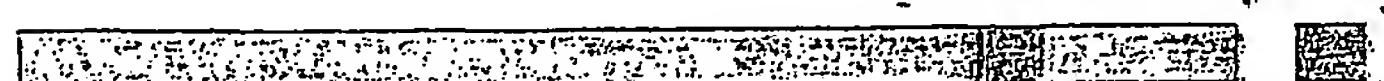


FIG. 28

10/537197

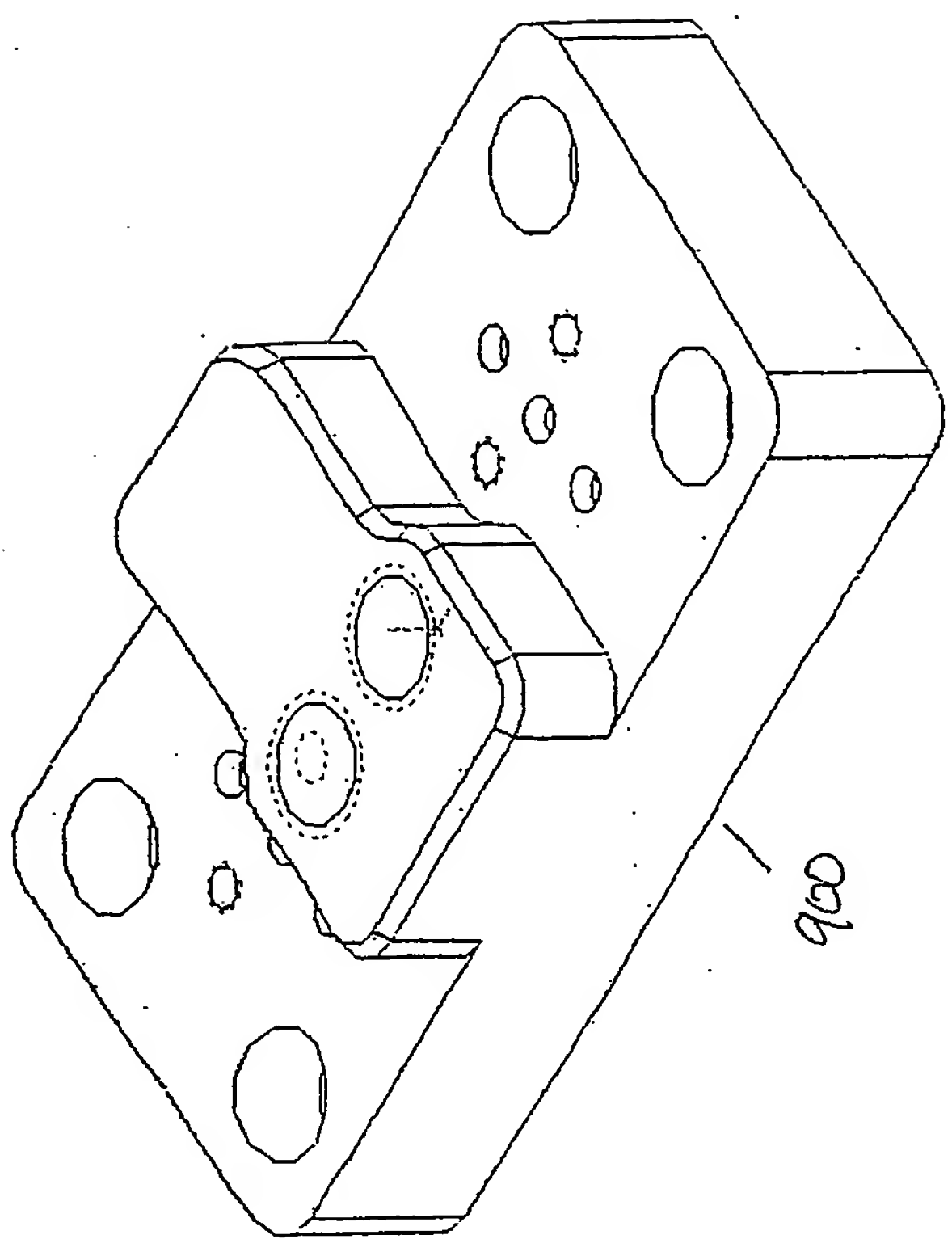


FIG. 29B

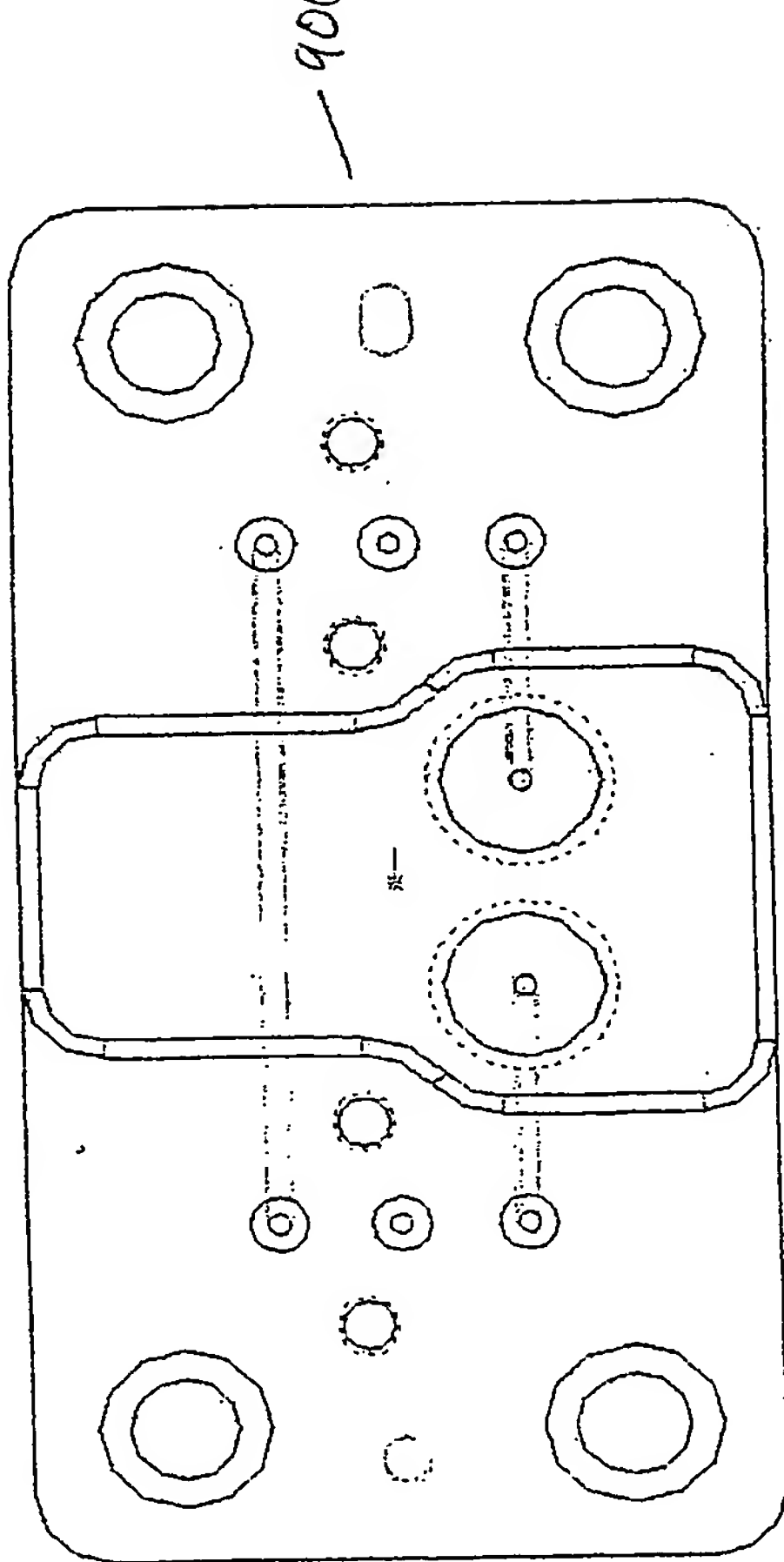
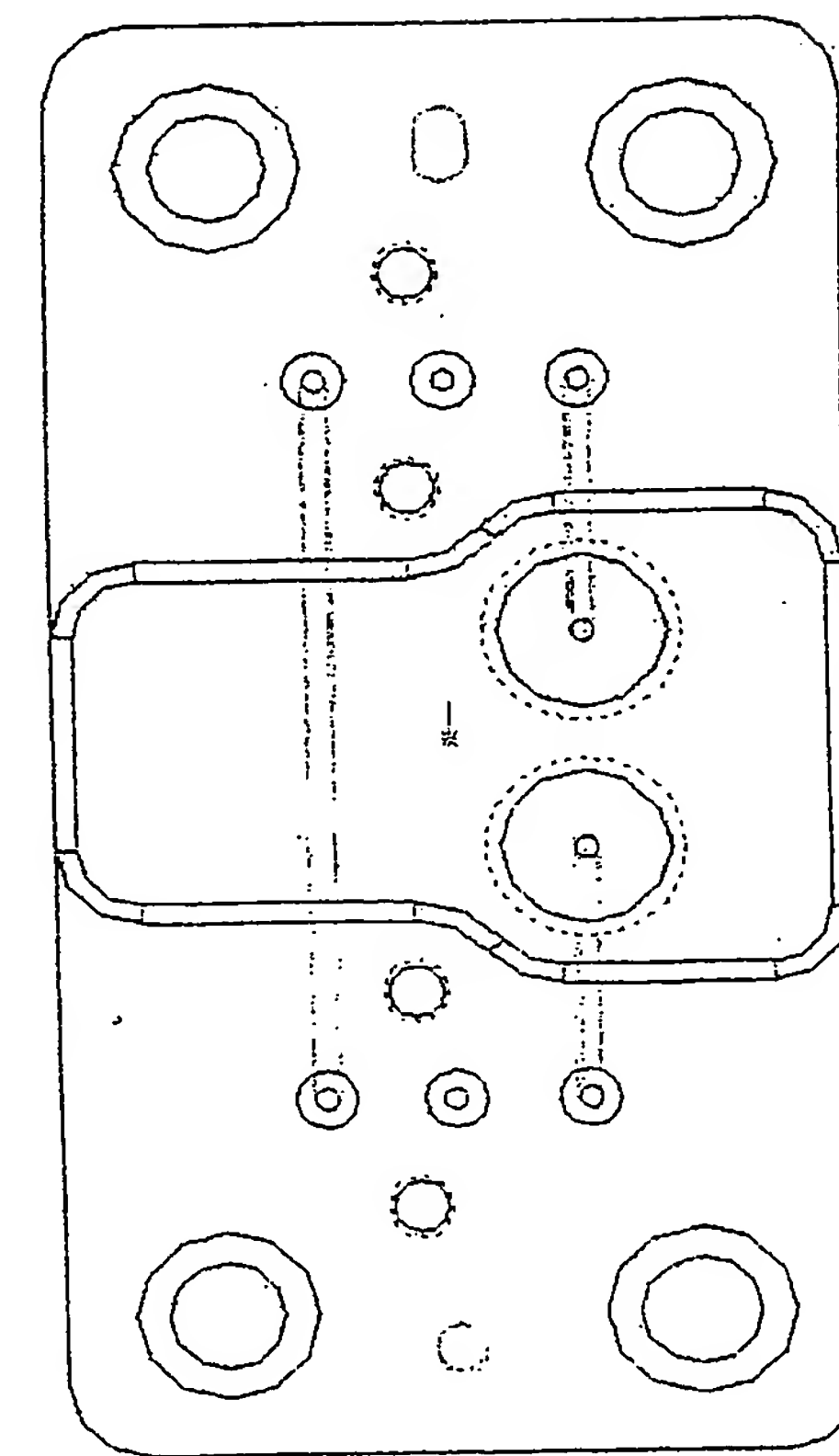
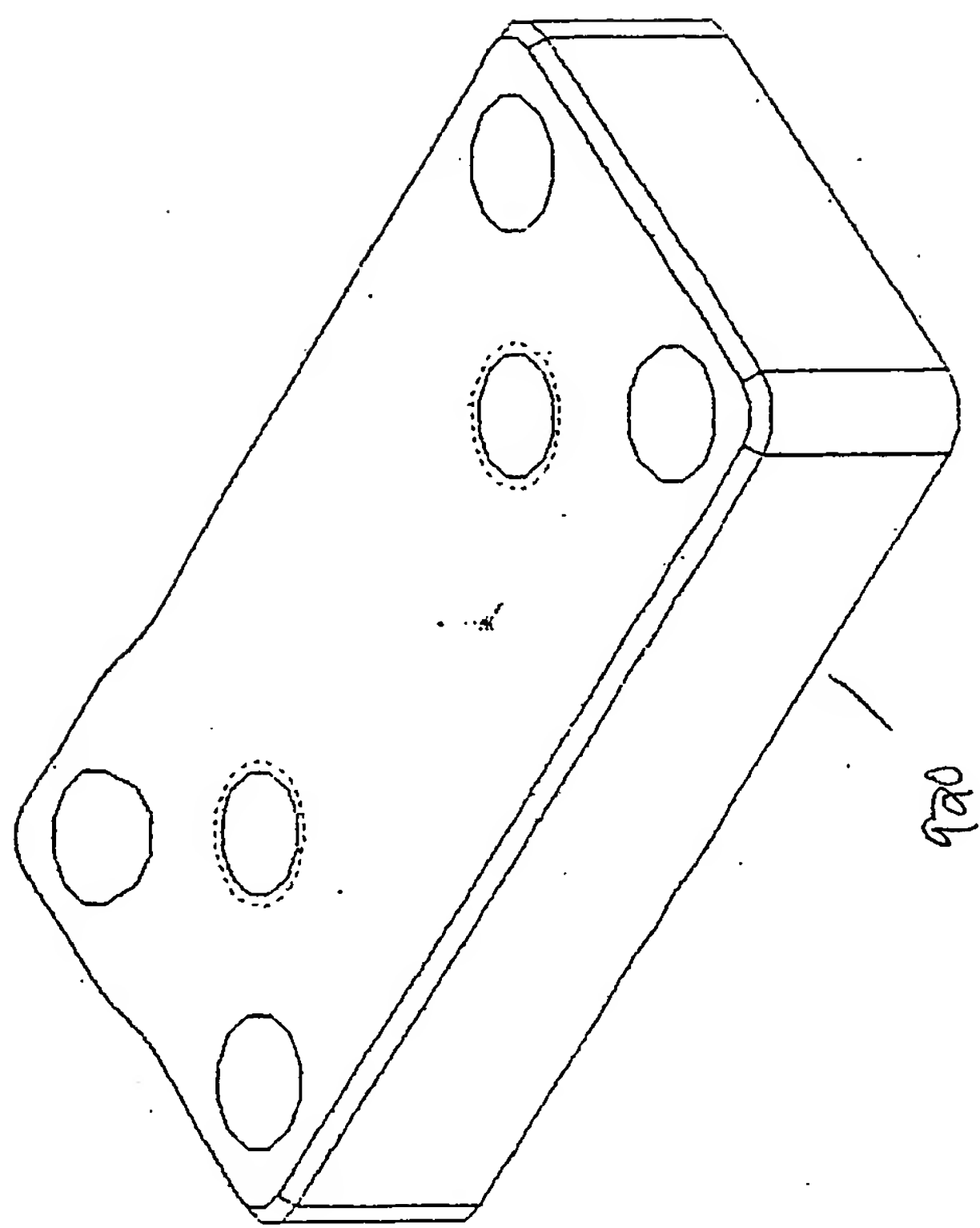


FIG. 29A

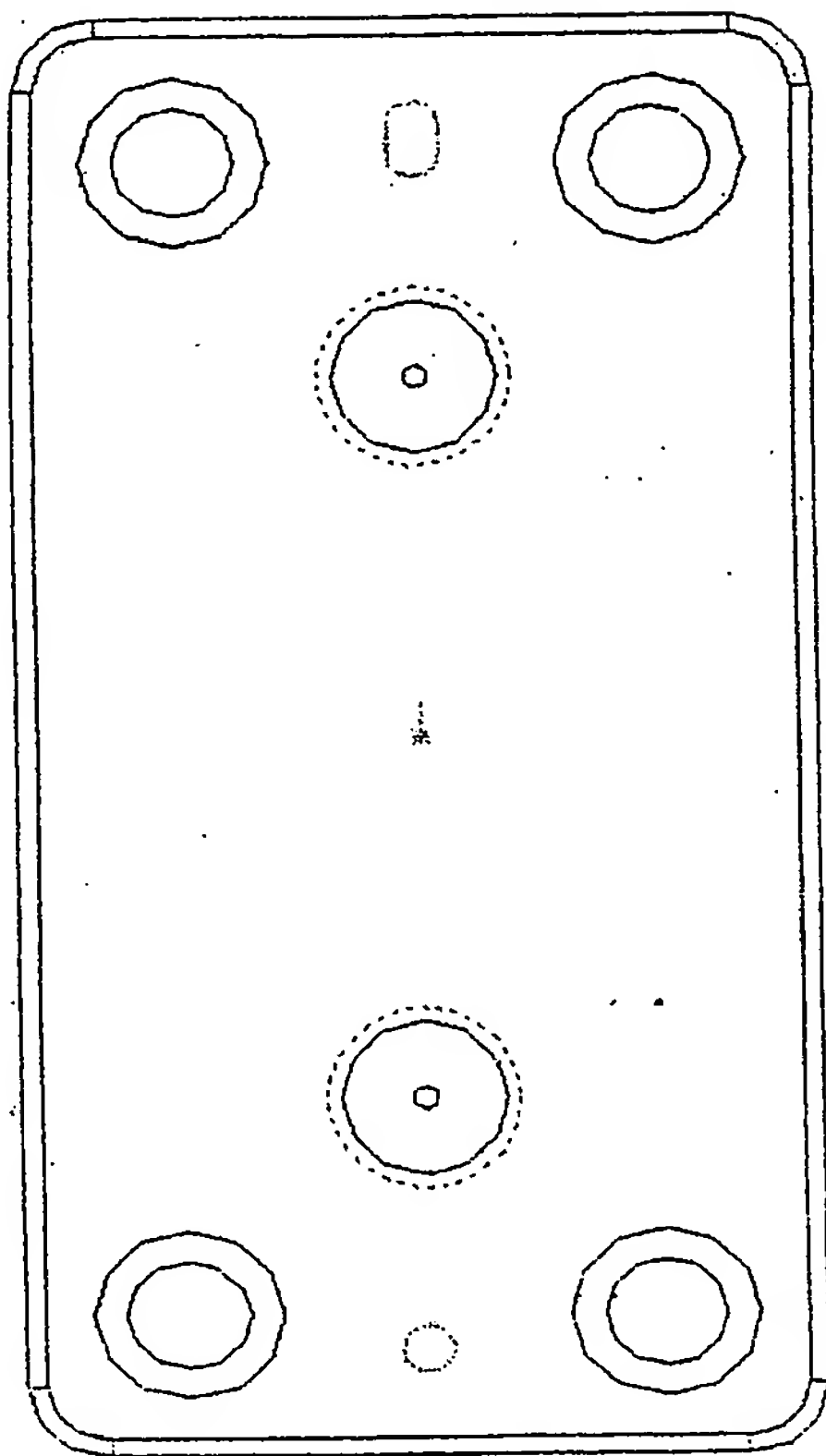


101537197



920

FIG. 30B



920

FIG. 30A

10/537197

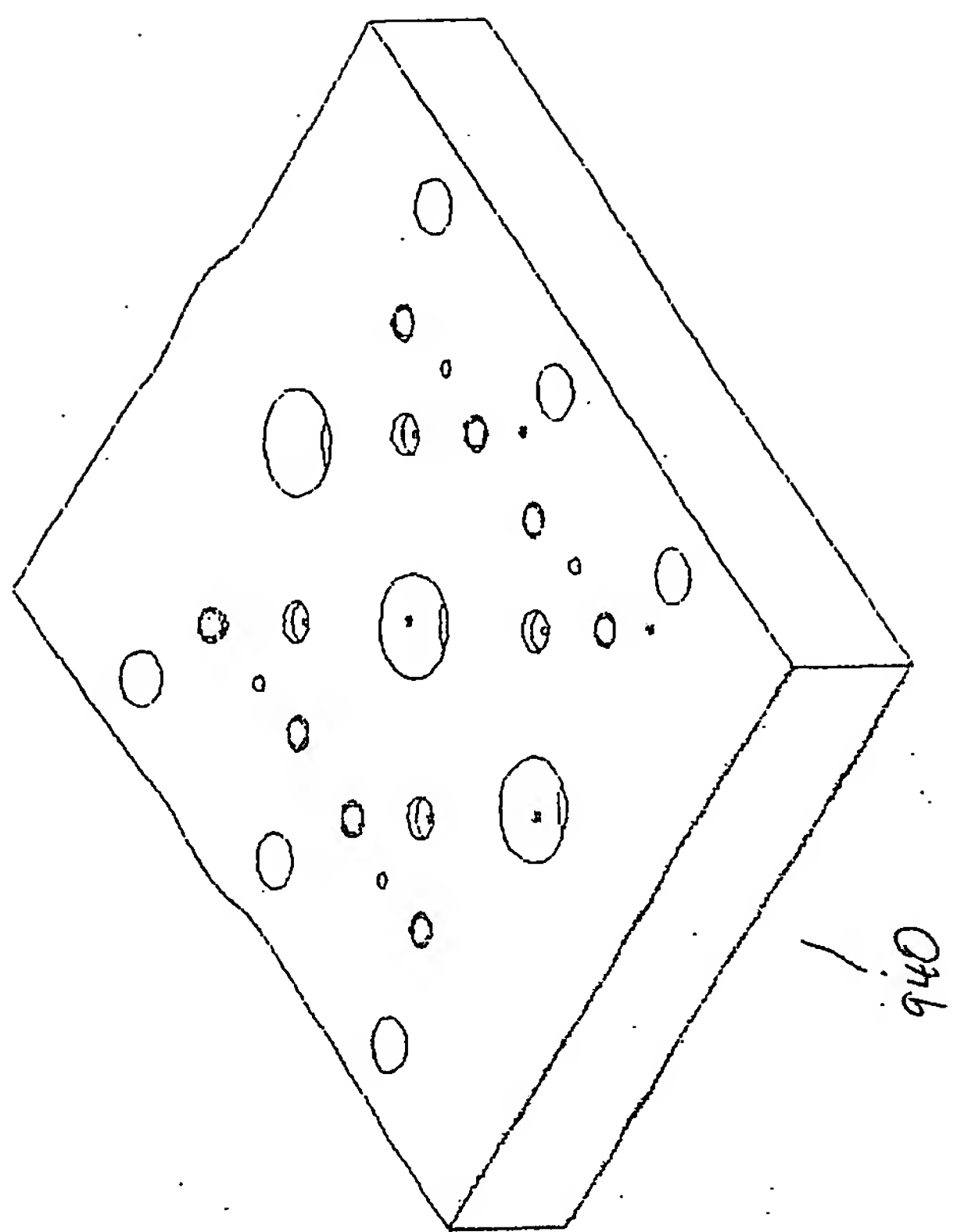
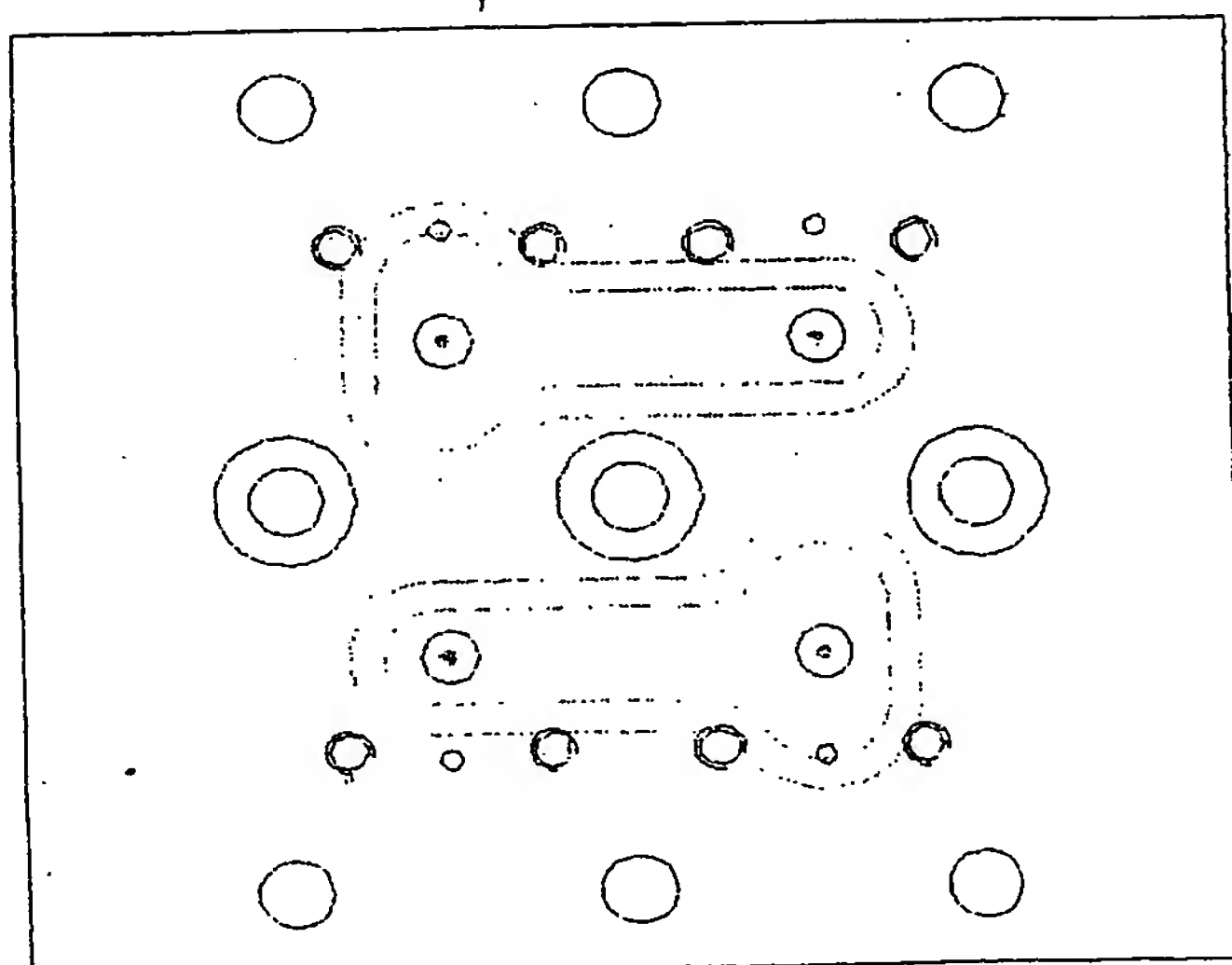
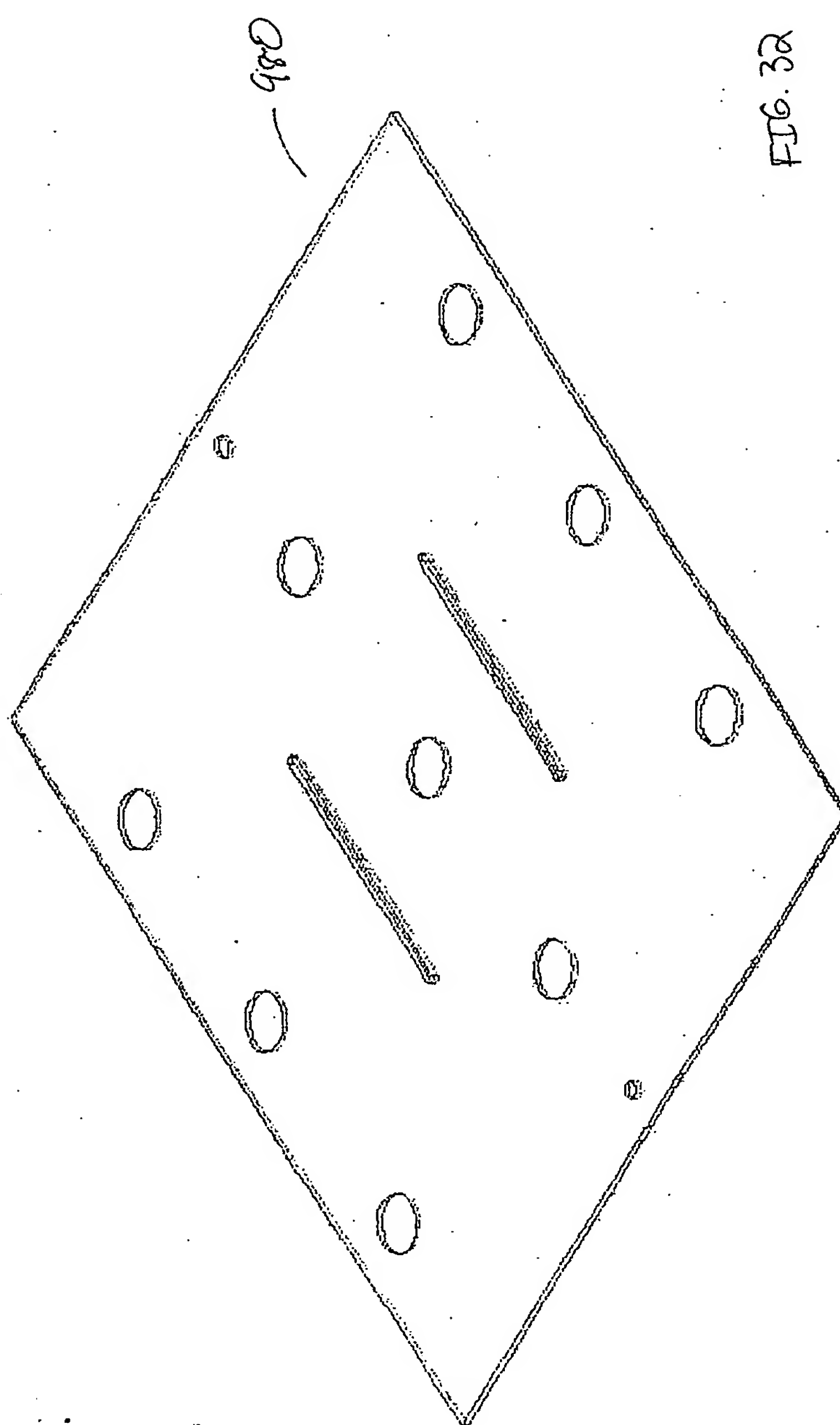


FIG. 31A

FIG. 31B



10/537197



10/537197

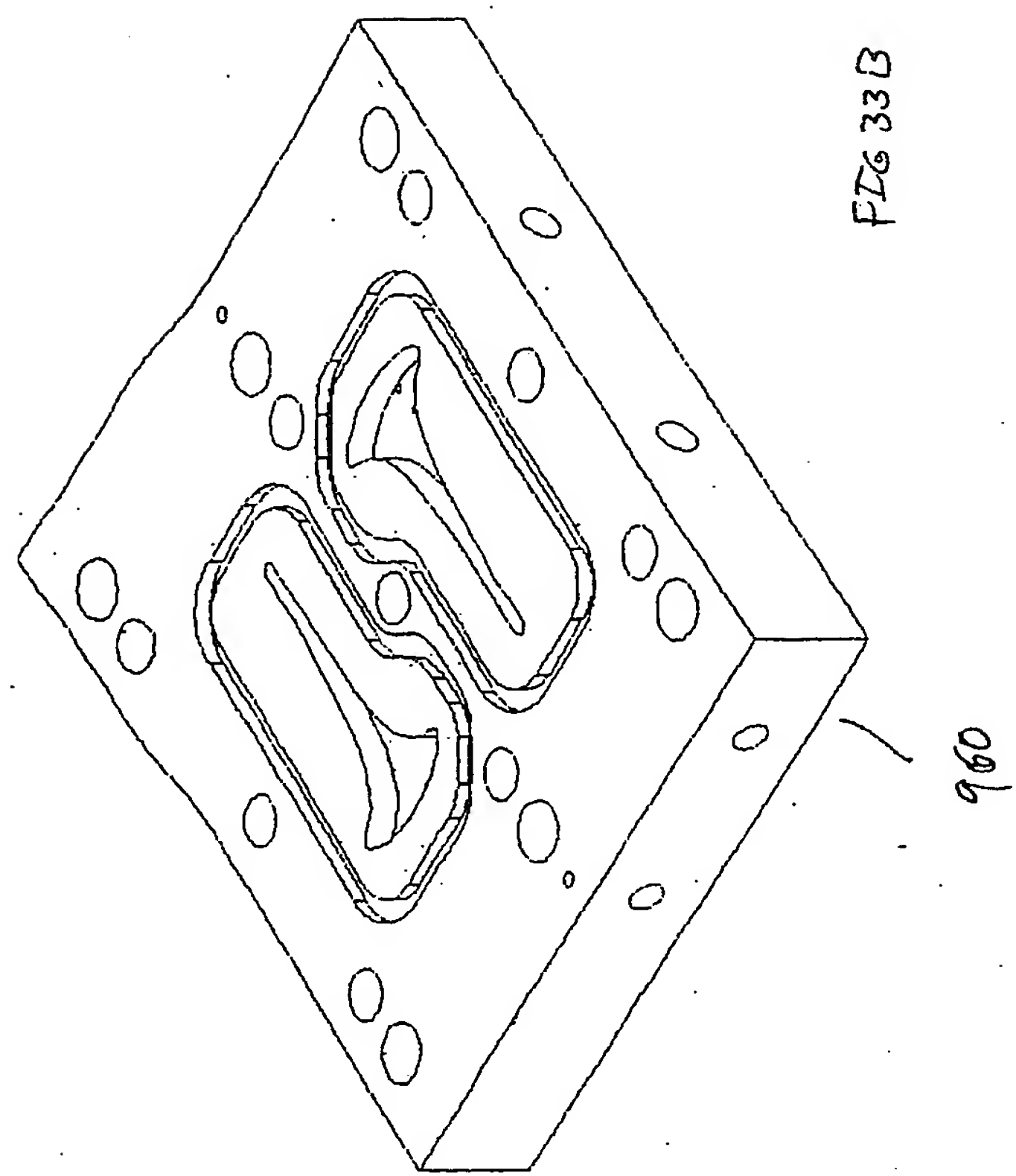
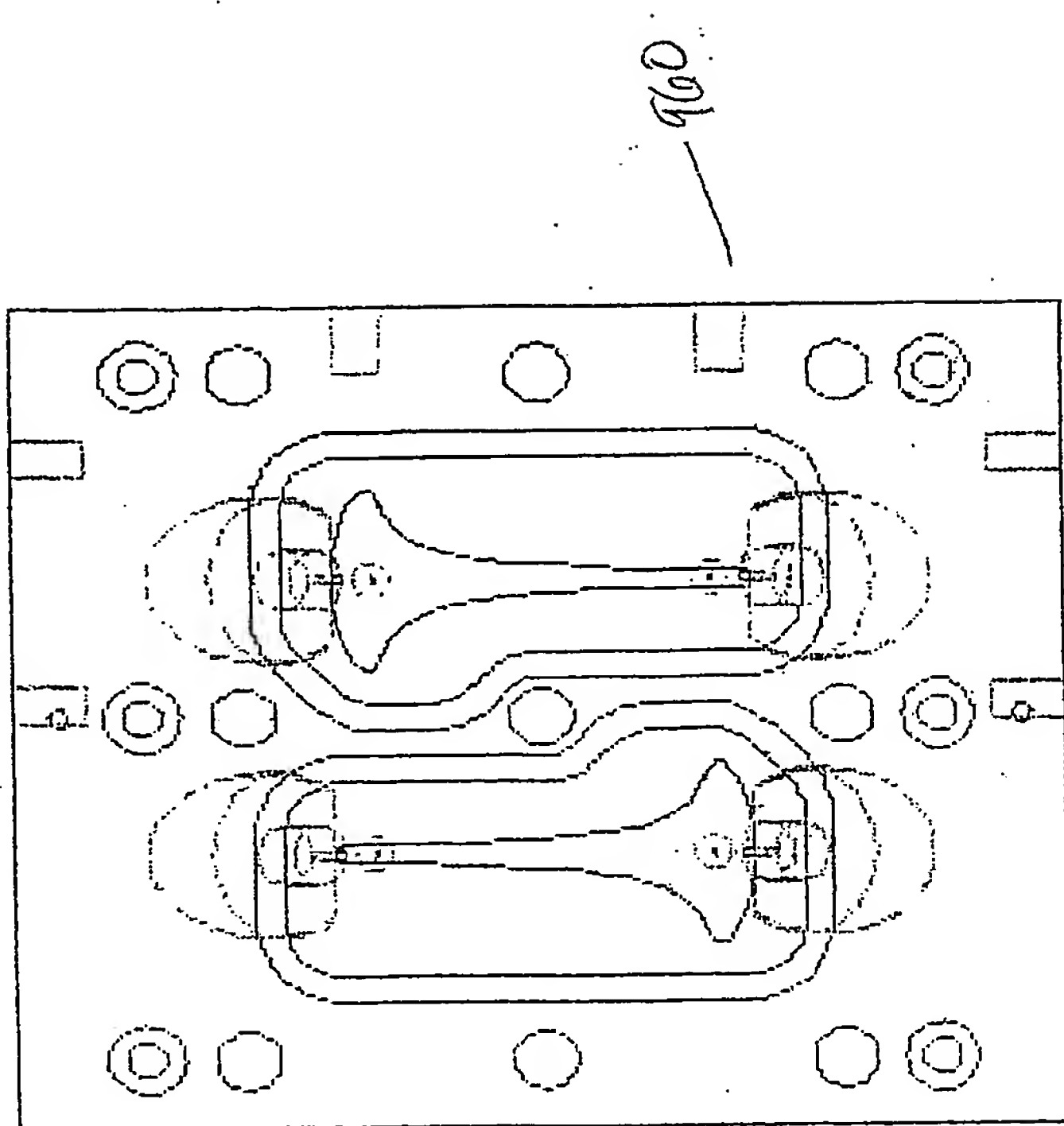


FIG 33A



10/537197

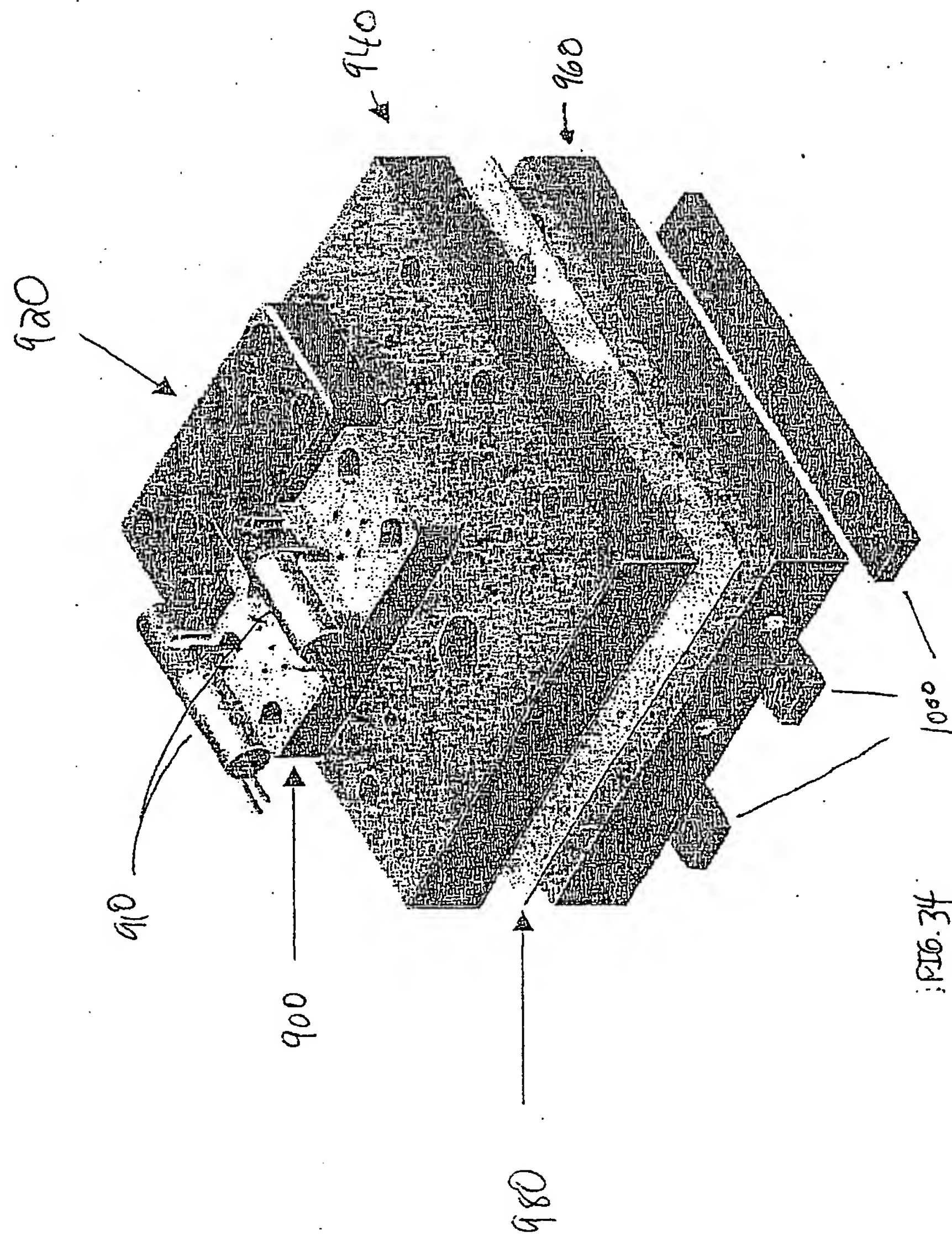


FIG. 34

10/537197

Follow-On
Processes

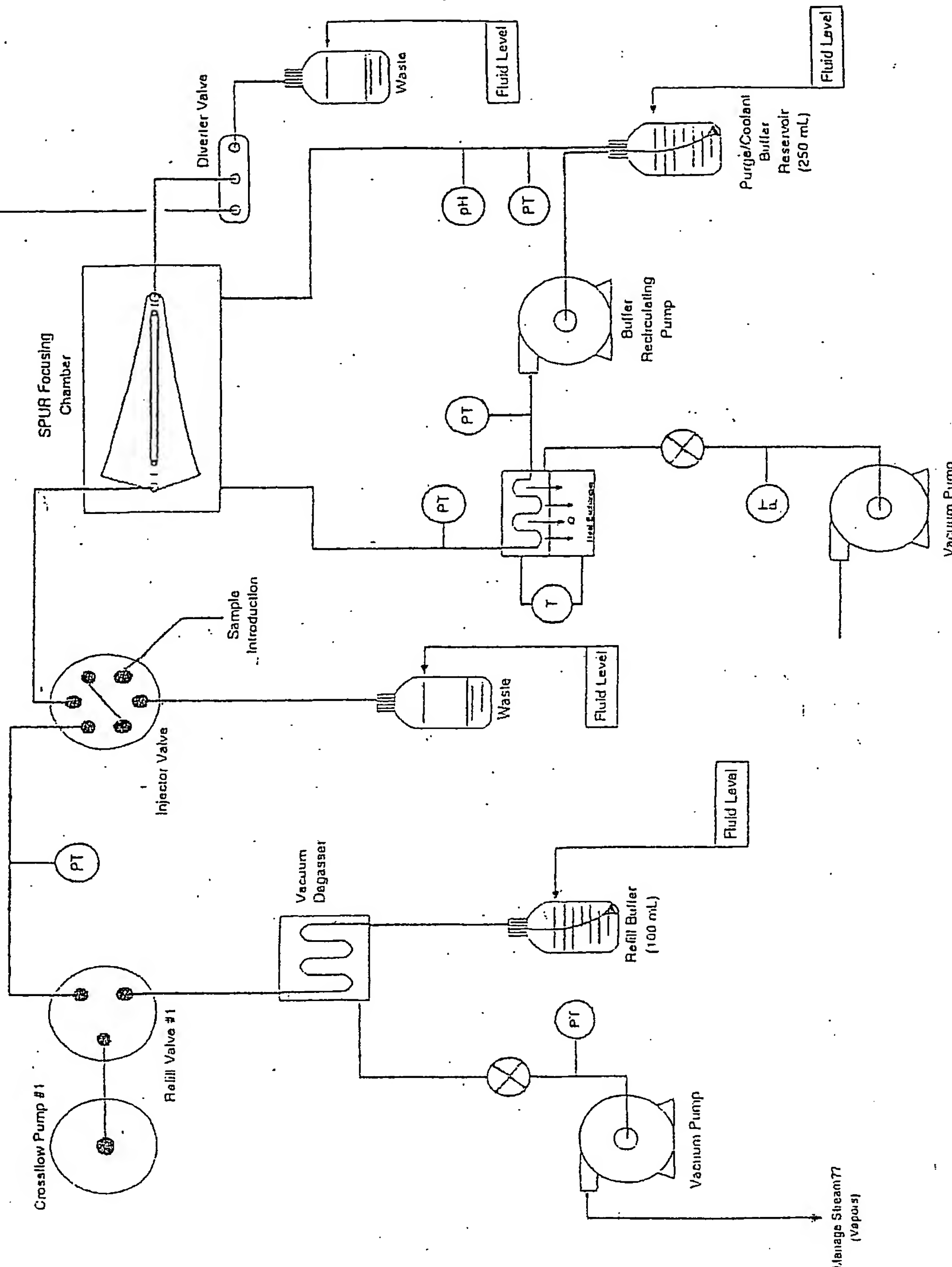


FIG. 35

101537197

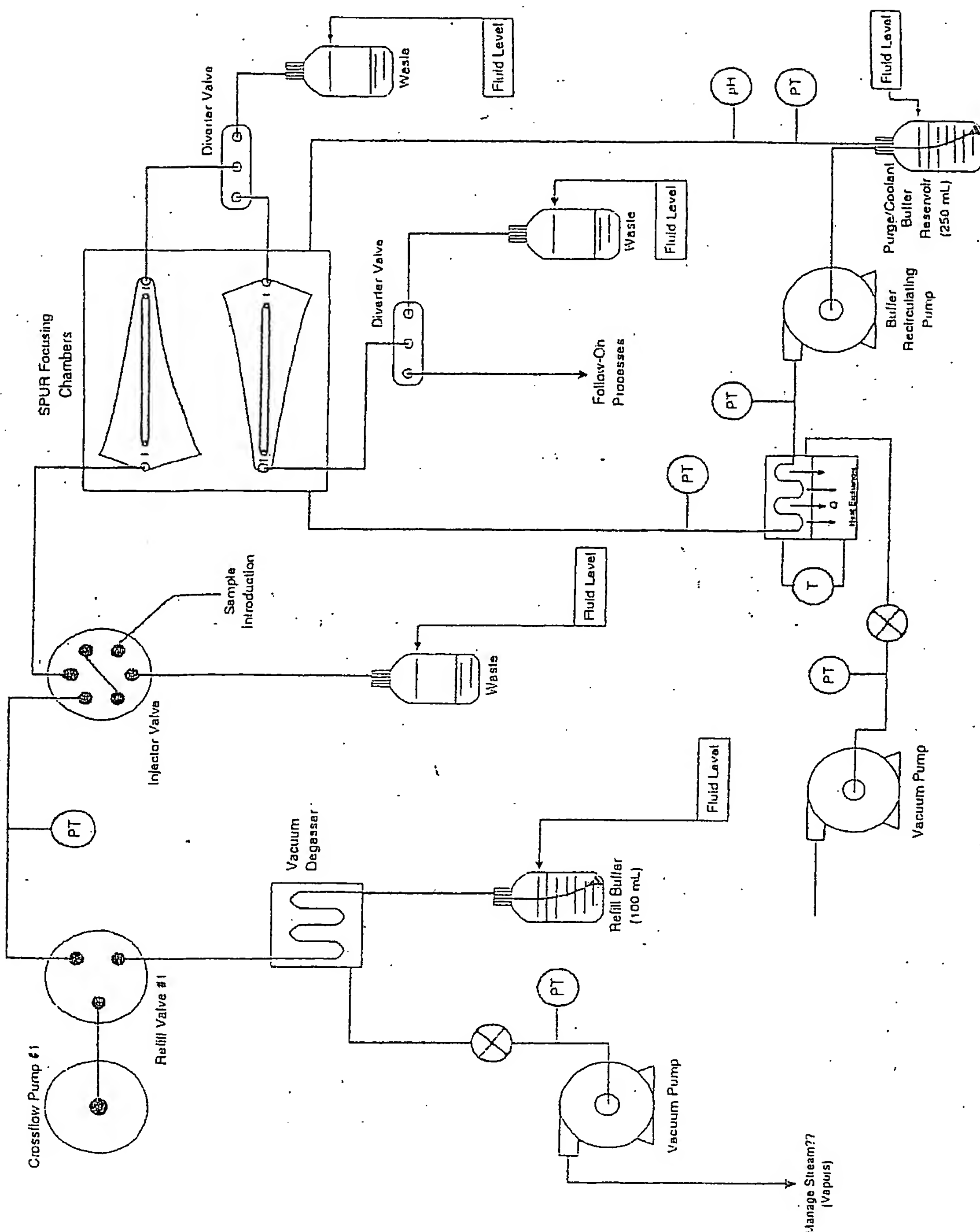
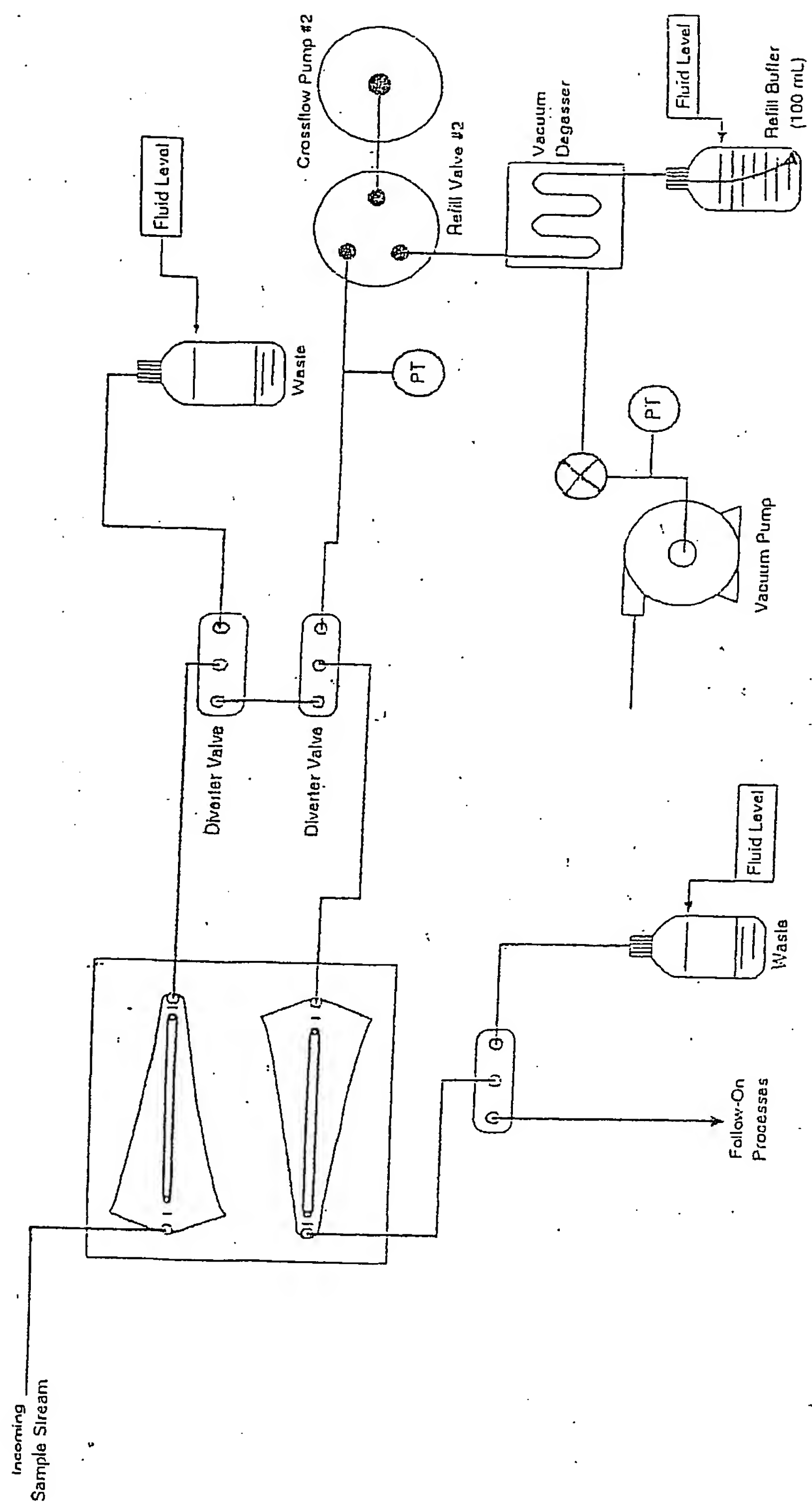


FIG. 36

10/537197



PT6.37 -

10/537197

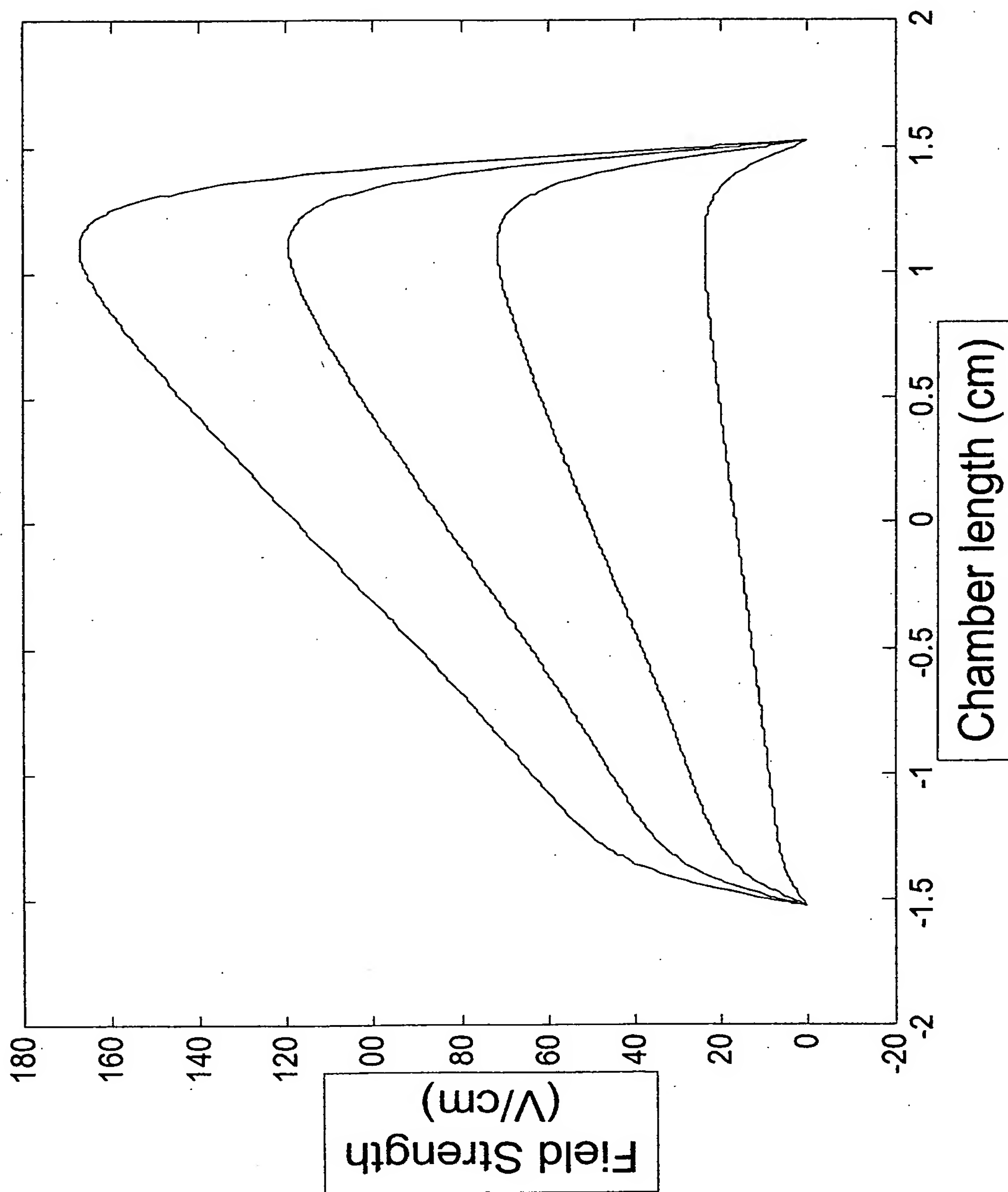


FIG. 38

10/537197

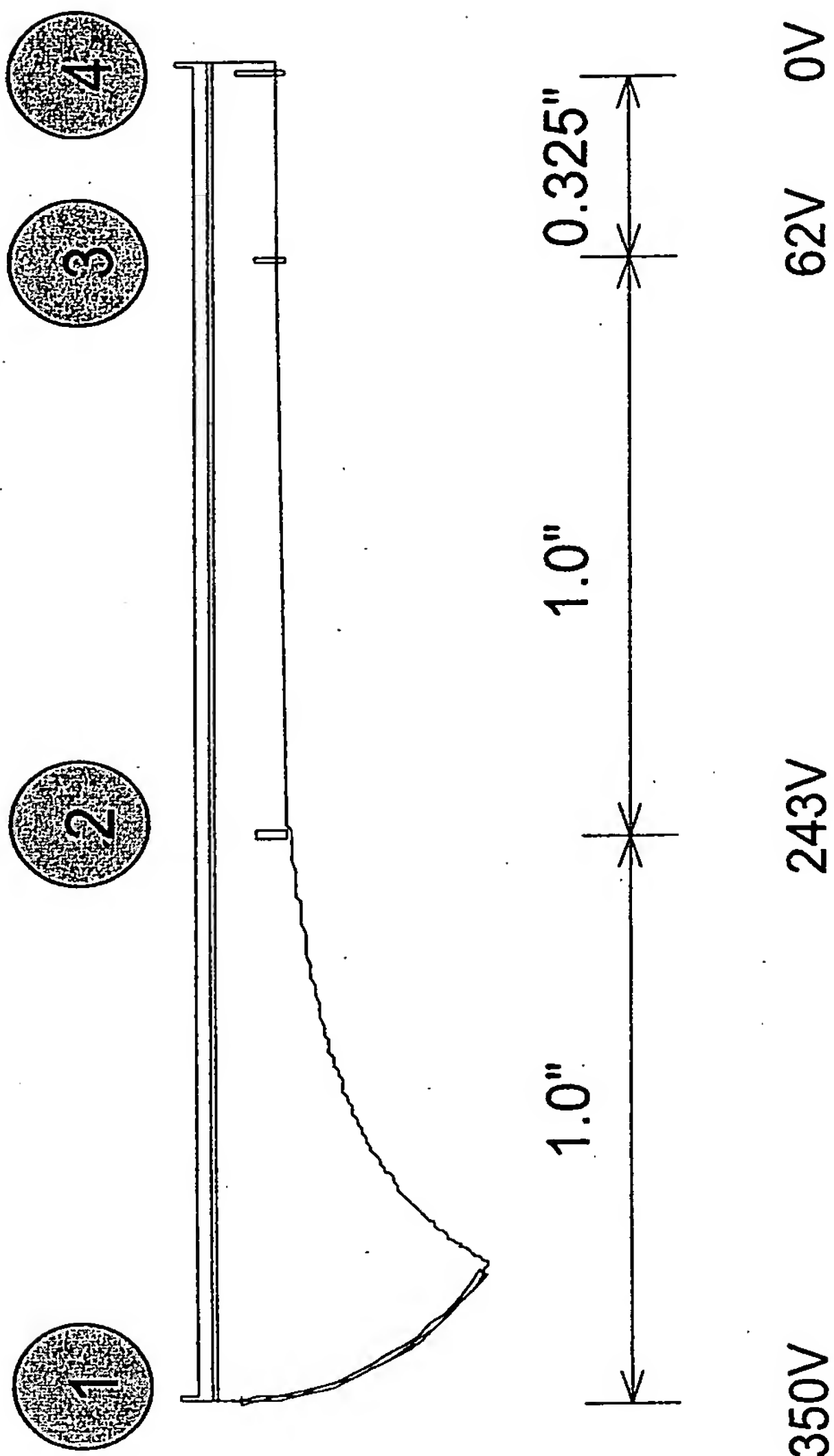
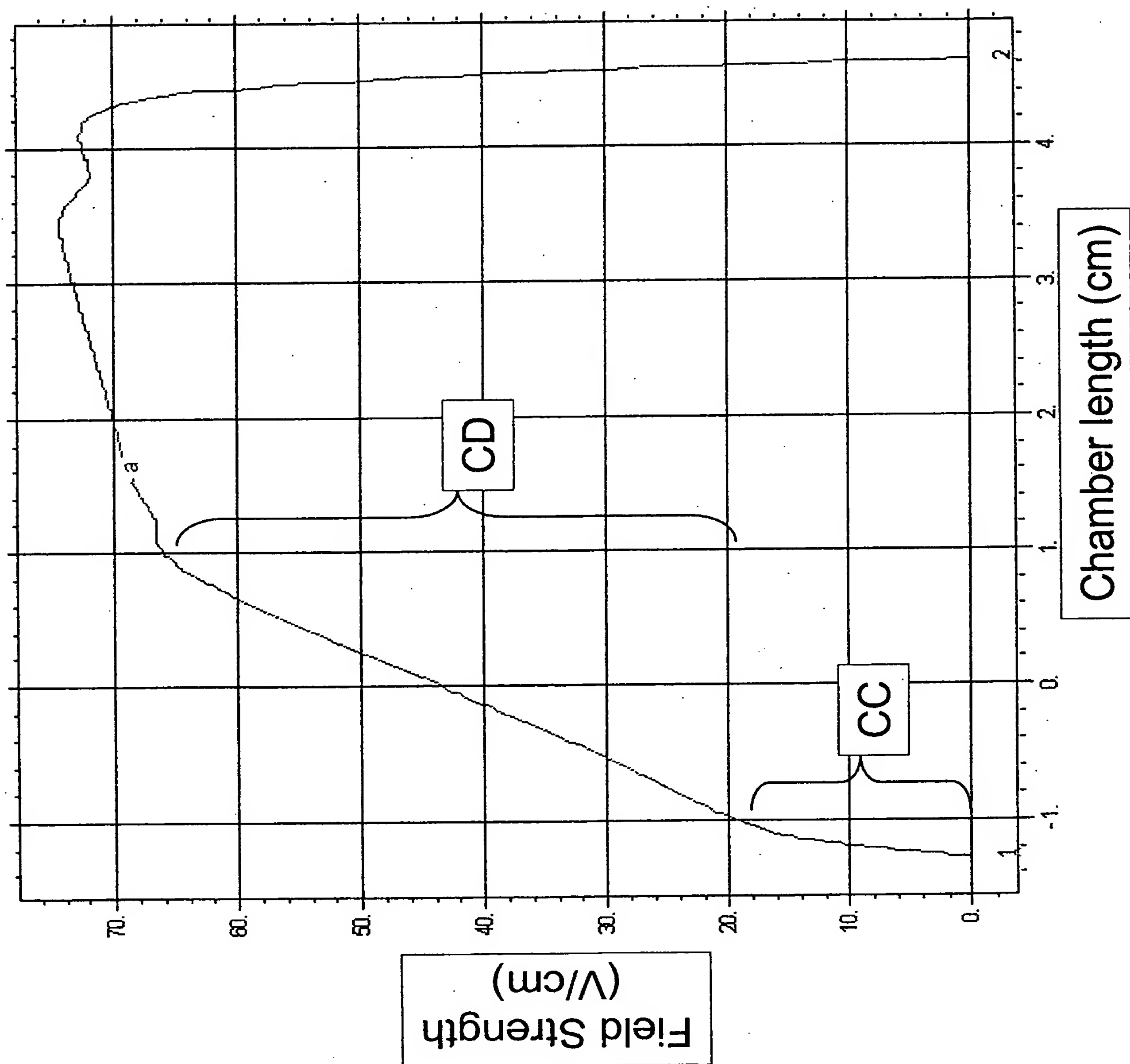


FIG. 39

10/537197

FIG. 40



10/537197

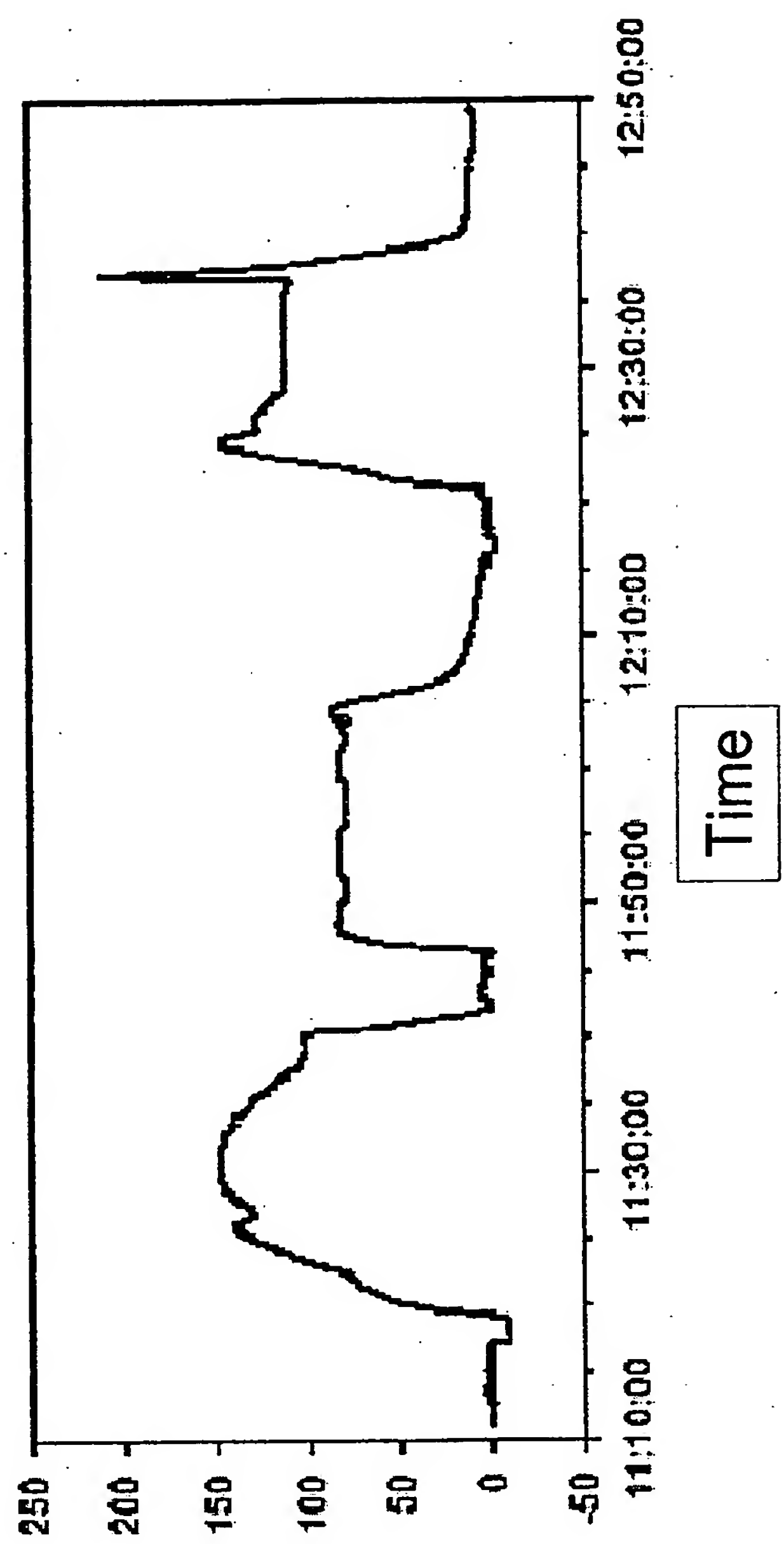


FIG. 41

10/537197

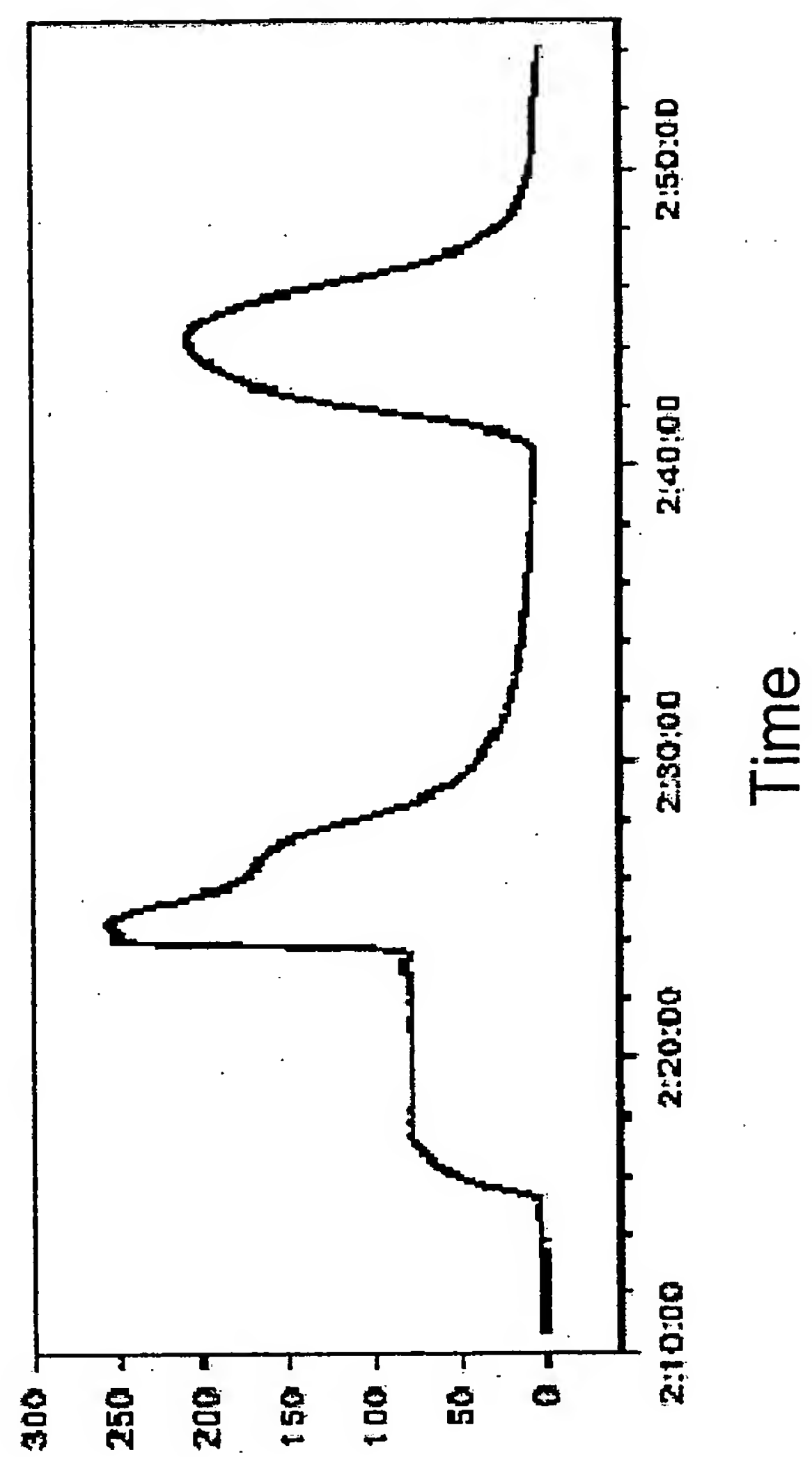


FIG. 42

10/537197

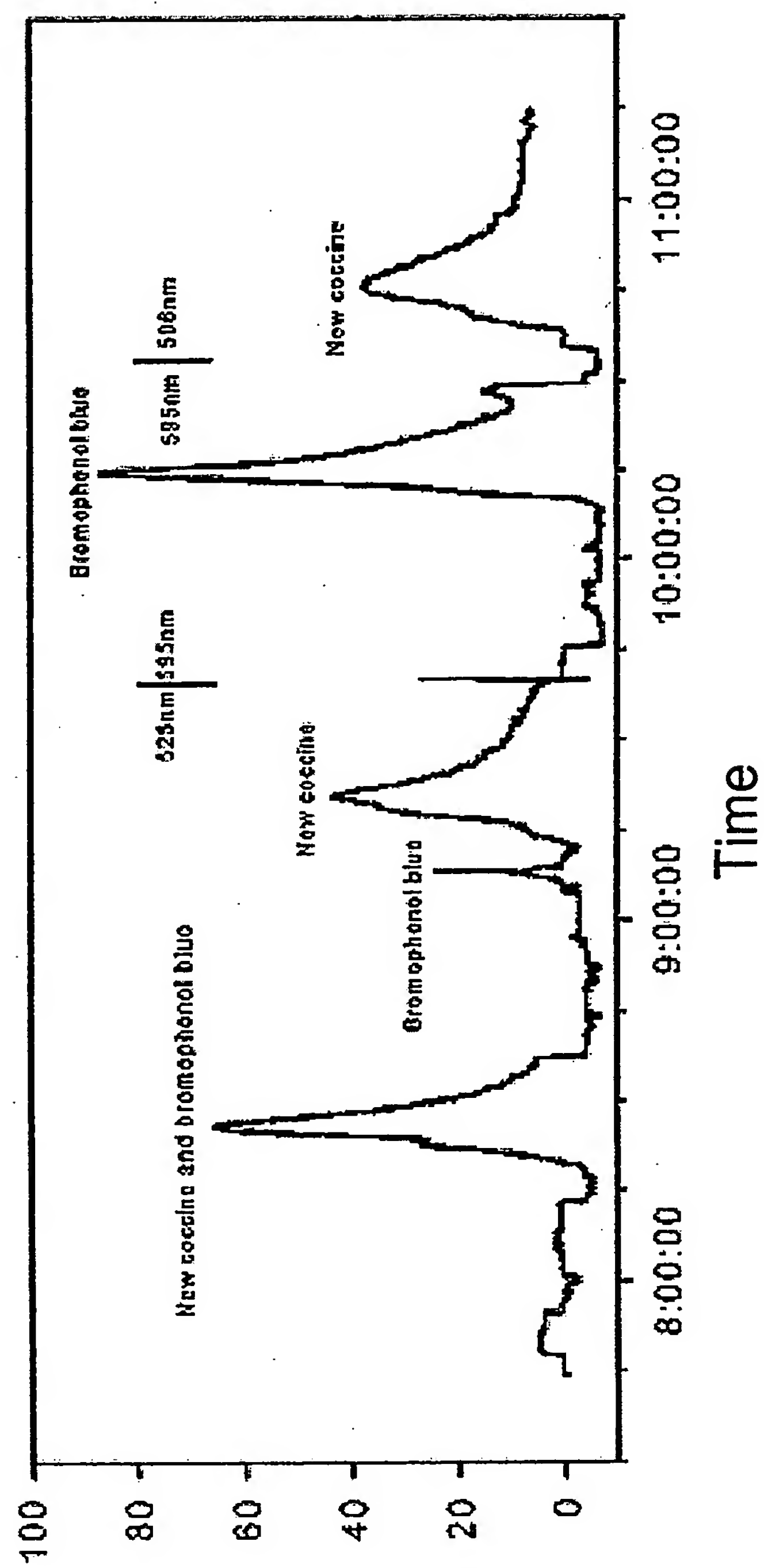
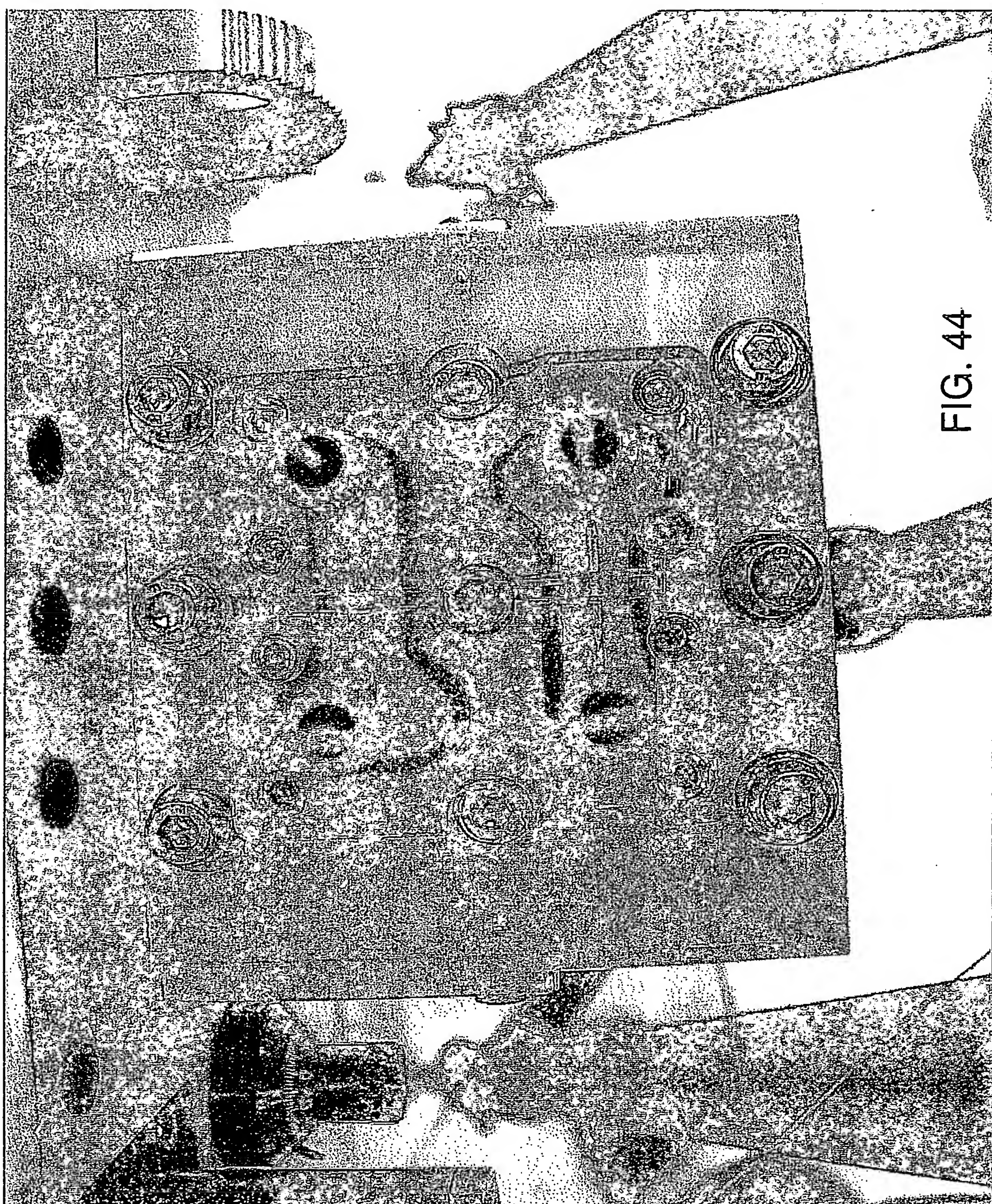


FIG. 43

10/537197



10/537197

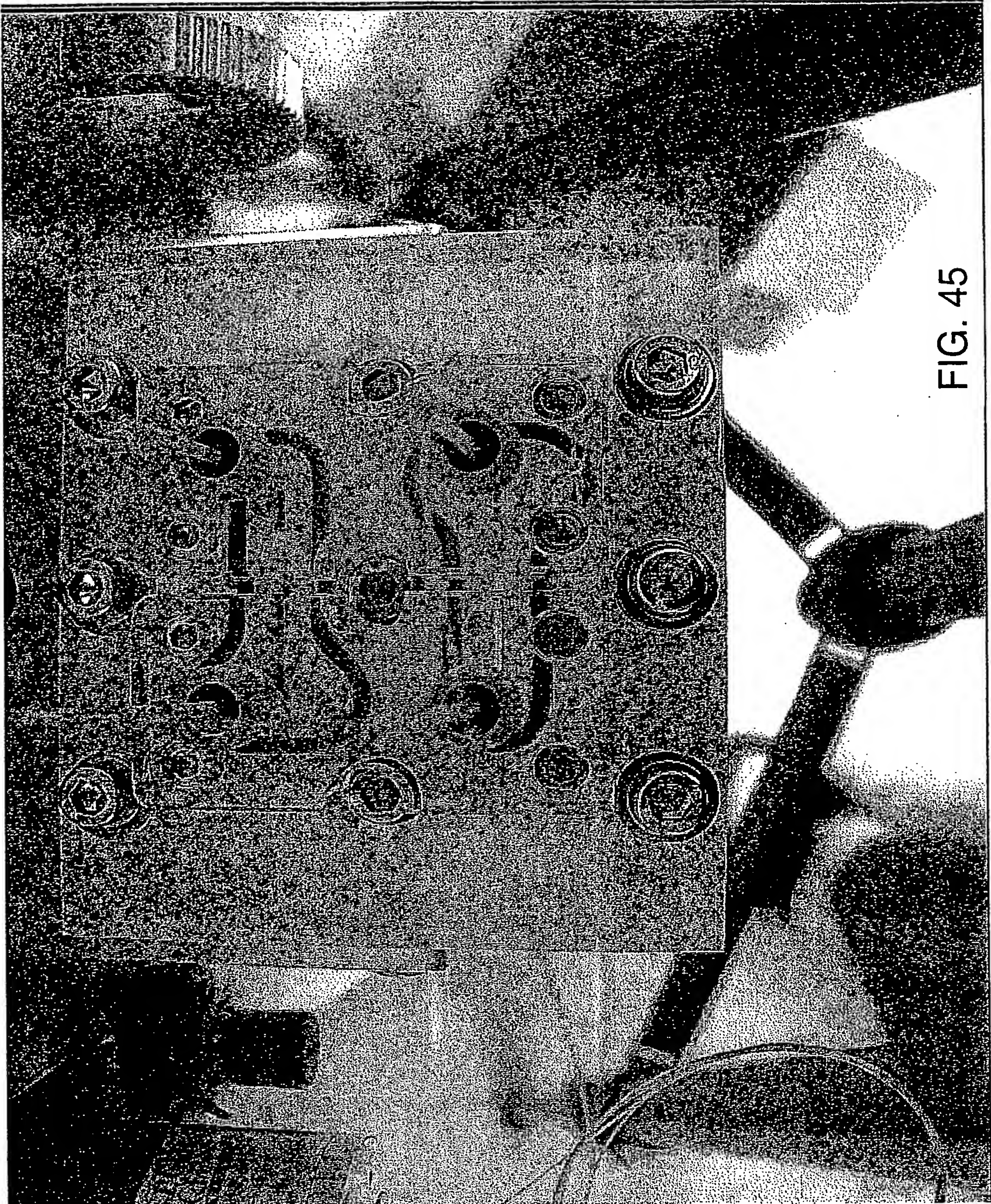
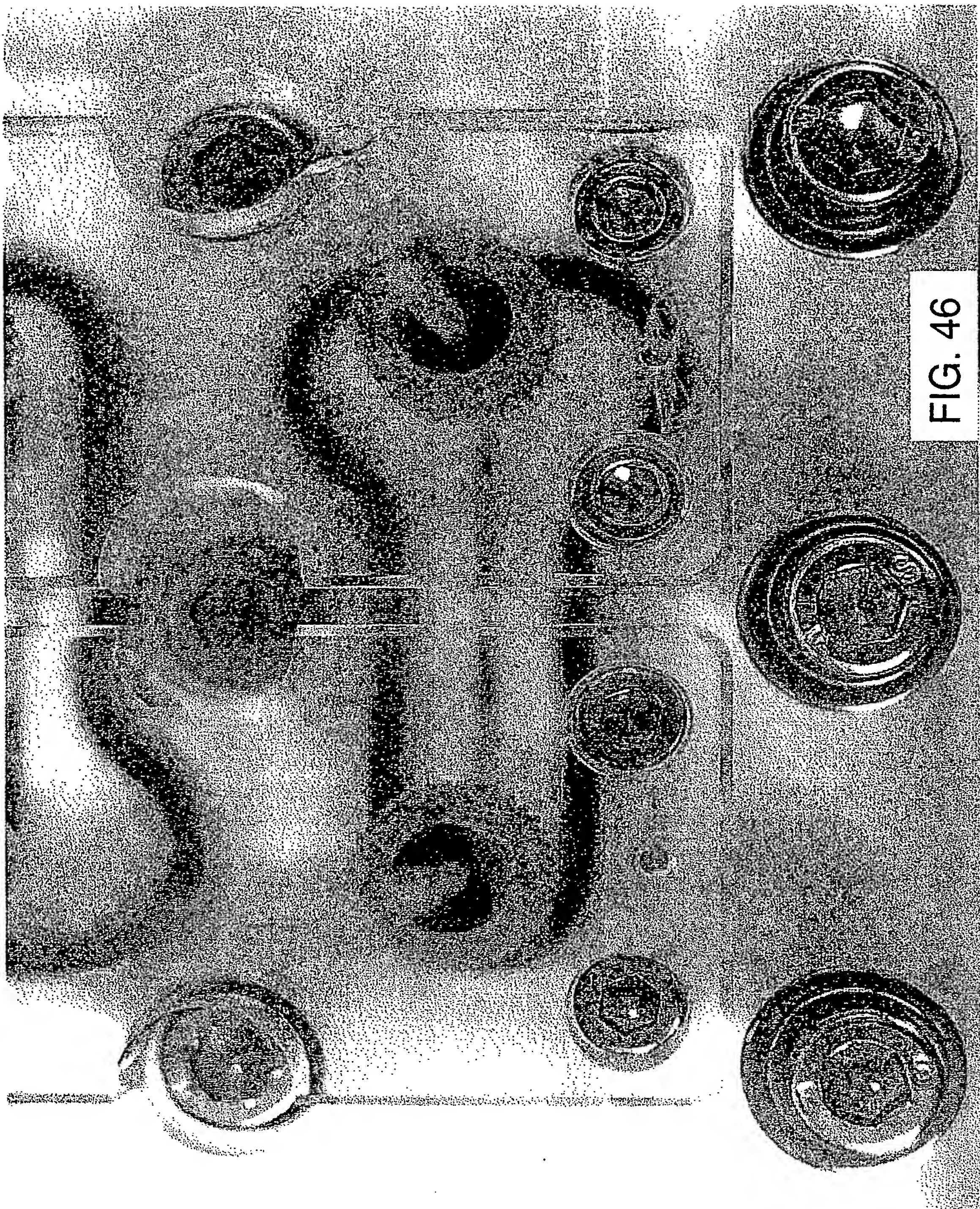


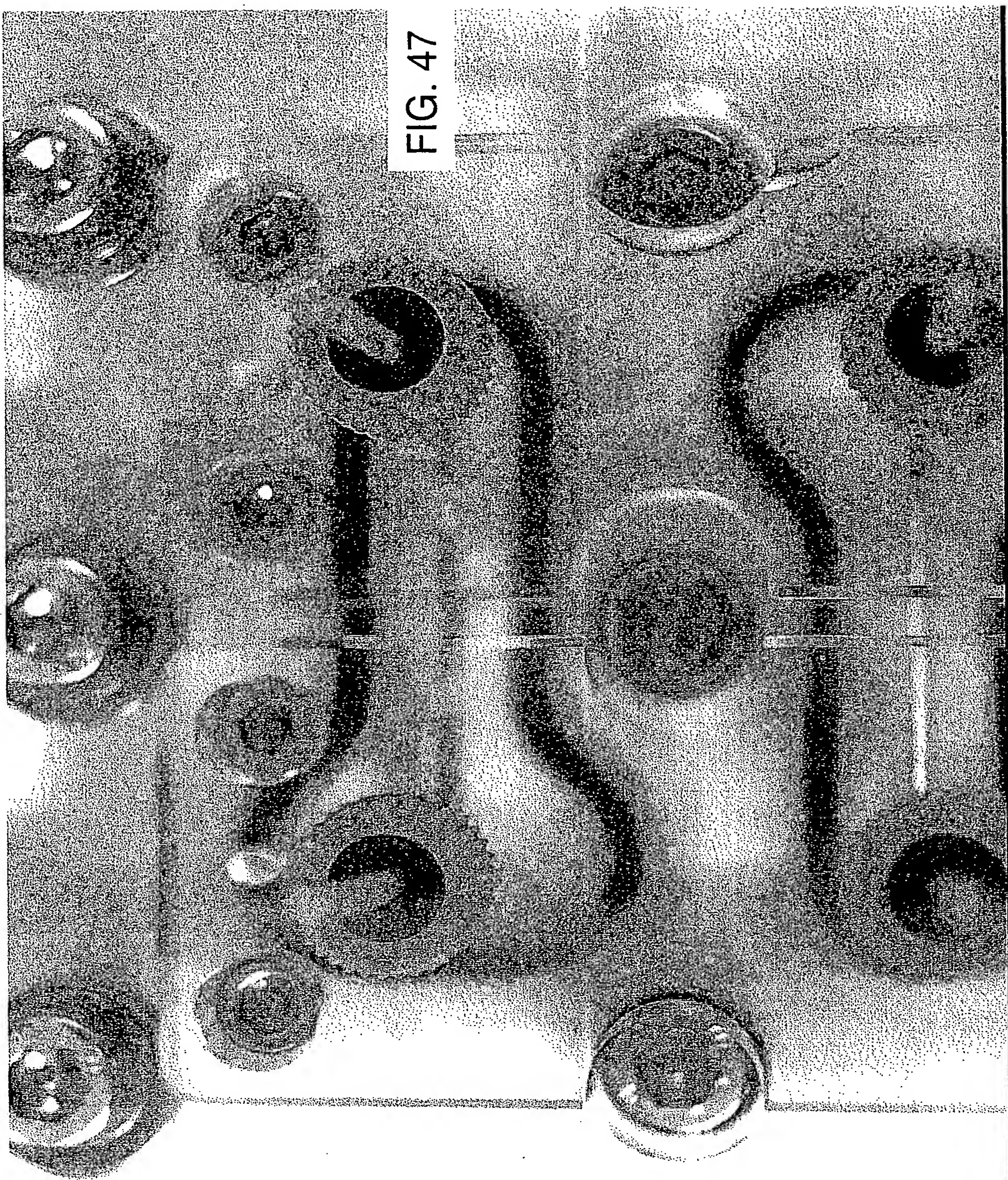
FIG. 45

10/537197



10/537197

FIG. 47



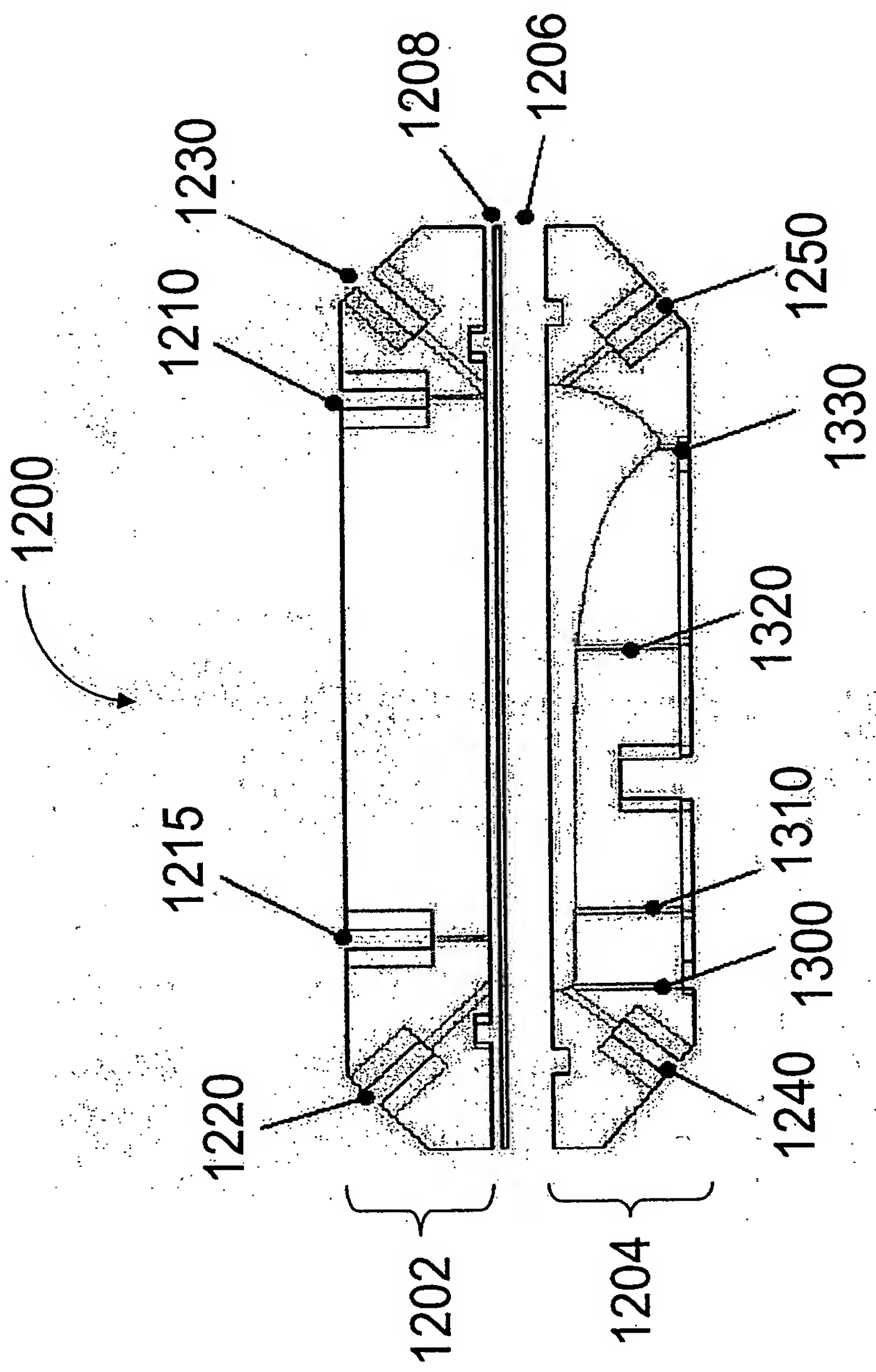


FIG. 48